



## مبانی بینایی کامپیوتری

درس ۶

# فیلتر کردن در حوزه فرکانس

Filtering in the Frequency Domain

کاظم فولادی قلعه

دانشکده مهندسی، پردیس فارابی

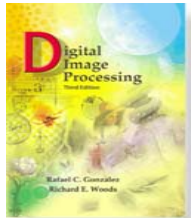
دانشگاه تهران

<http://courses.fouladi.ir/fcvision>

فیلتر کردن در حوزه‌ی فرکانس

۱

# پیش‌زمینه: حوزه‌ی فرکانس



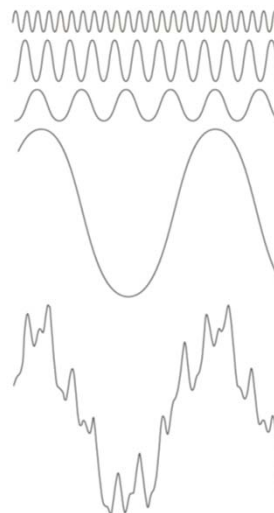
# Digital Image Processing, 3rd ed.

Gonzalez & Woods

[www.ImageProcessingPlace.com](http://www.ImageProcessingPlace.com)

## Chapter 4

### Filtering in the Frequency Domain



**FIGURE 4.1** The function at the bottom is the sum of the four functions above it. Fourier's idea in 1807 that periodic functions could be represented as a weighted sum of sines and cosines was met with skepticism.

## تحلیل فوریه

### FOURIER ANALYSIS

هر تابعی که خودش را به صورت **متناوب** تکرار کند، می‌تواند به صورت به صورت **مجموع** سینوس‌ها / کسینوس‌ها در فرکانس‌های مختلف نوشته شود که هر یک در یک ضریب متفاوت ضرب می‌شود.

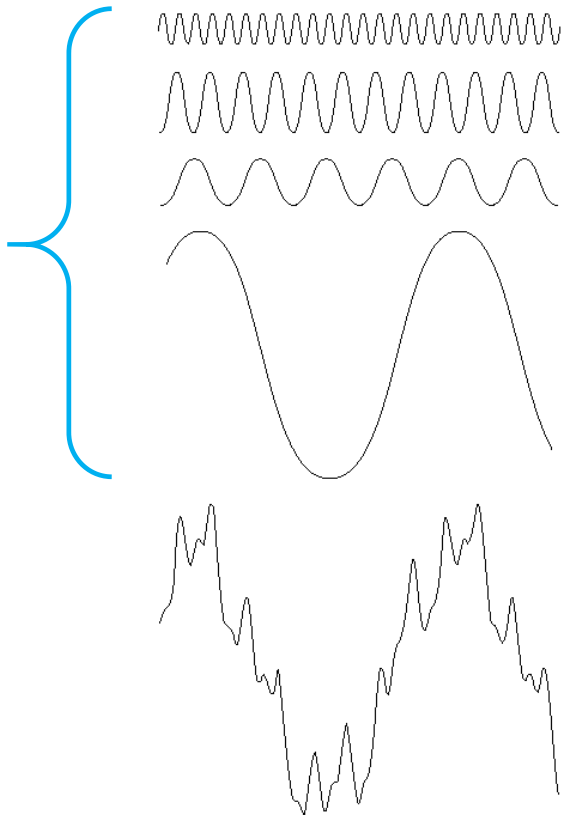
سری فوریه  
*Fourier Series*

هر تابعی که **متناوب نباشد**،  
(اما مساحت زیر منحنی آن متناهی باشد)، می‌تواند به صورت به صورت **انتگرال** سینوس‌ها / کسینوس‌ها در فرکانس‌های مختلف نوشته شود که هر یک تابع وزن ضرب می‌شود.

تبديل فوريه  
*Fourier Transform*

## حوزه‌ی فرکانس

پیش‌زمینه



### حوزه‌ی فرکانس

*Frequency Domain*

حوزه‌ی فرکانس  
به صفحه‌ی دو بعدی تبدیل فوریه‌ی گستته‌ی  
یک تصویر اشاره می‌کند.

هدف از تبدیل فوریه،  
بازنمایی یک سیگنال به صورت ترکیبی خطی از  
سیگنال‌های سینوسی  
در فرکانس‌های مختلف است.

فیلتر کردن در حوزه‌ی فرکانس

۳

## مفاهیم ابتدائی

## اعداد مختلط

COMPLEX NUMBERS

$$C = R + jI$$

عدد مختلط  
Complex Number

$$C^* = R - jI$$

مزدوج  
Conjugate

$$j = \sqrt{-1}$$

$$e^{j\theta} = \cos \theta + j \sin \theta$$

$$\begin{aligned} C &= |C|(\cos \theta + j \sin \theta) \\ &= |C|e^{j\theta} \end{aligned}$$

$$|C| = \sqrt{R^2 + I^2} \quad \theta = \arctan_2(I, R)$$

## سری فوريه

### FOURIER SERIES

تابع  $f(t)$  از متغير پيوسته  $t$  با دورهٔ تناوب  $T$  می‌تواند به صورت ترکيبي خطى از سينوسى‌ها و کسینوسى‌ها (يا نمایی مختلط) با فرکانس‌های مختلف نوشته شود.

$$f(t) = \sum_{n=-\infty}^{\infty} c_n e^{j \frac{2\pi n}{T} t}$$

$$c_n = \frac{1}{T} \int_{-T/2}^{T/2} f(t) e^{-j \frac{2\pi n}{T} t} dt \quad \text{for } n = 0, \pm 1, \pm 2, \dots$$

## ضربه‌ی واحد

UNIT IMPULSE

نمونه‌ی واحد (گستته)  
Unit Sample

$$\delta(x) = \begin{cases} 1 & x = 0 \\ 0 & x \neq 0 \end{cases}$$

$$\sum_{x=-\infty}^{\infty} \delta(x) = 1$$

$$\sum_{x=-\infty}^{\infty} f(x) \delta(x) = f(0)$$

$$\sum_{x=-\infty}^{\infty} f(x) \delta(x - x_0) = f(x_0)$$

ضربه‌ی واحد (پیوسته)  
Unit Impulse

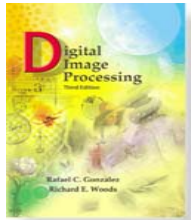
$$\delta(t) = \begin{cases} \infty & \text{if } t = 0 \\ 0 & \text{if } t \neq 0 \end{cases}$$

$$\int_{-\infty}^{\infty} \delta(t) dt = 1$$

$$\int_{-\infty}^{\infty} f(t) \delta(t) dt = f(0)$$

$$\int_{-\infty}^{\infty} f(t) \delta(t - t_0) dt = f(t_0)$$

خاصیت غربالی  
Sifting Property



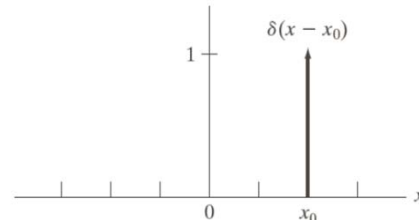
# Digital Image Processing, 3rd ed.

Gonzalez & Woods

[www.ImageProcessingPlace.com](http://www.ImageProcessingPlace.com)

## Chapter 4

### Filtering in the Frequency Domain



**FIGURE 4.2**

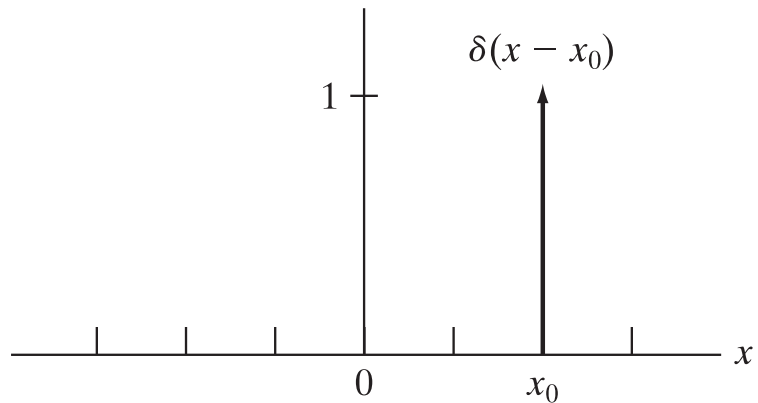
A unit discrete impulse located at  $x = x_0$ . Variable  $x$  is discrete, and  $\delta$  is 0 everywhere except at  $x = x_0$ .

## ضربهی واحد گستته

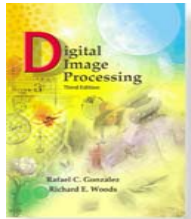
تابع نمونه‌ی واحد

UNIT DISCRETE IMPULSE

ضربهی واحد گستته در نقطه‌ی  $x = x_0$  متفاوت از صفر است و تابع  $\delta$  همه‌جا صفر است غیر از  $x = x_0$  که در آنجا یک است.



$$\delta(x) = \begin{cases} 1 & x = 0 \\ 0 & x \neq 0 \end{cases}$$



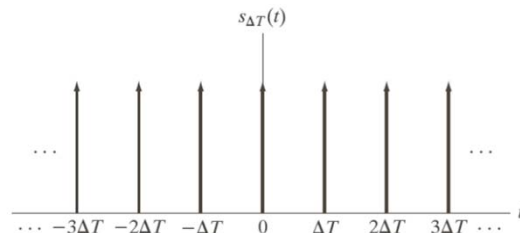
# Digital Image Processing, 3rd ed.

Gonzalez & Woods

[www.ImageProcessingPlace.com](http://www.ImageProcessingPlace.com)

## Chapter 4

### Filtering in the Frequency Domain



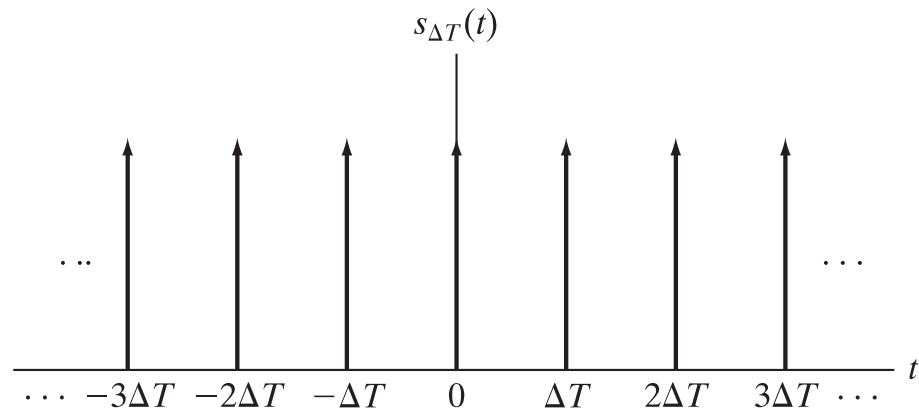
**FIGURE 4.3** An impulse train.

## قطار ضربه

IMPULSE TRAIN

قطار ضربه، تکرار متناوب تابع ضربه‌ی واحد با دوره‌ی متناوب اصلی  $\Delta t$  است.

$$s_{\Delta T}(t) = \sum_{n=-\infty}^{\infty} \delta(t - n\Delta T)$$



فیلتر کردن در حوزه‌ی فرکانس

۳۰

نمونه برداری  
و تبدیل  
فوریه‌ی  
توازع  
نمونه برداری  
شده

## تبدیل فوریه

تبدیل فوریه پیوسته

## THE FOURIER TRANSFORM

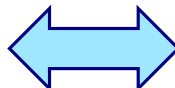
حالت پیوسته

Continuous Case

تبدیل معکوس فوریه‌ی یک-بعدی

One-dimensional Inverse Fourier Transform

$$f(x) = \int_{-\infty}^{\infty} F(u) e^{j2\pi ux} du$$



$$j = \sqrt{-1}$$

$$e^{j\theta} = \cos \theta + j \sin \theta$$

تبدیل فوریه‌ی یک-بعدی

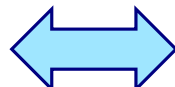
One-dimensional Fourier Transform

$$F(u) = \int_{-\infty}^{\infty} f(x) e^{-j2\pi ux} dx$$

تبدیل معکوس فوریه‌ی دو-بعدی

Two-dimensional Inverse Fourier Transform

$$f(x, y) = \int_{-\infty}^{\infty} \int_{-\infty}^{\infty} F(u, v) e^{j2\pi(ux+vy)} du dv$$



تبدیل فوریه‌ی دو-بعدی

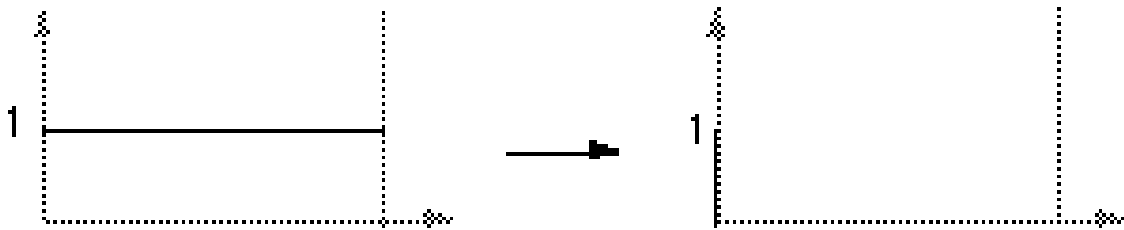
Two-dimensional Fourier Transform

$$F(u, v) = \int_{-\infty}^{\infty} \int_{-\infty}^{\infty} f(x, y) e^{-j2\pi(ux+vy)} dx dy$$

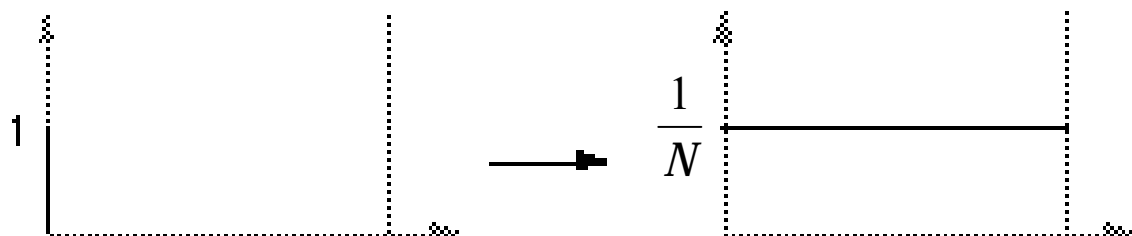
## تبدیل فوریه‌ی یک بعدی

مثال

تبدیل فوریه‌ی یک تابع ثابت، فقط مؤلفه‌ی DC را دارد (فرکانس صفر)؛ ضربه



تبدیل فوریه‌ی تابع ضربه، یک مقدار ثابت است.

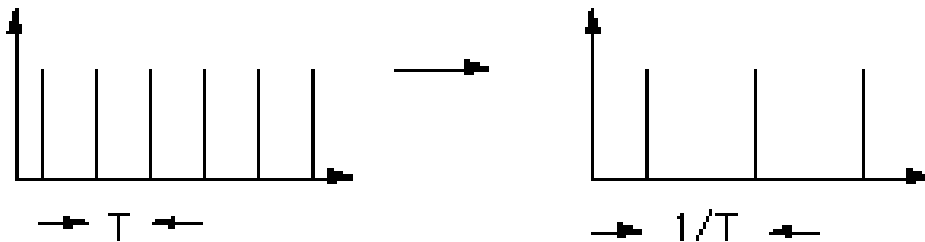


$$\frac{1}{N}$$

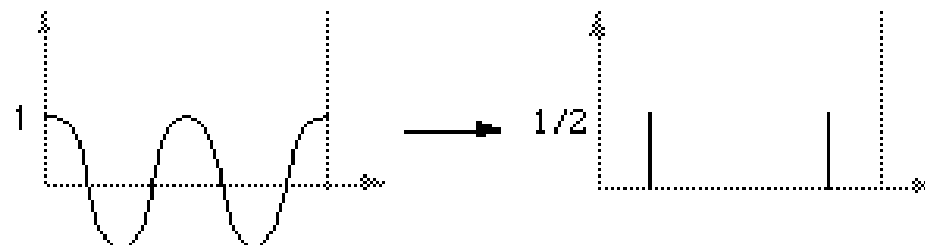
## تبديل فوريه‌ي يك بعدی

مثال

تبديل فوريه‌ي يك قطار ضربه با دوره‌ي تناوب  $T$  يك قطار ضربه با دوره‌ي تناوب  $1/T$  است.



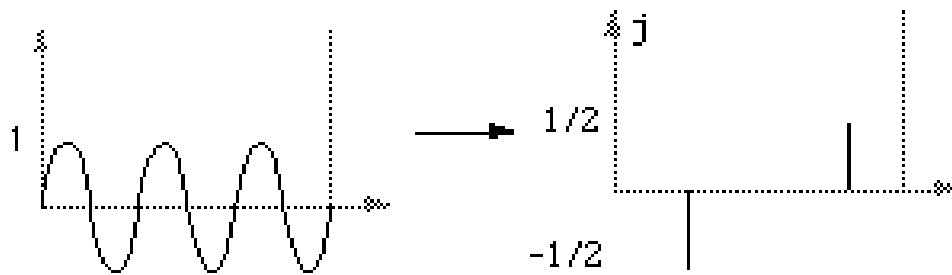
تبديل فوريه‌ي يك تابع کسینوسی،  
يك تابع ضربه‌ي مثبت متقارن در فرکانس مناسب (مثبت و منفی) است.



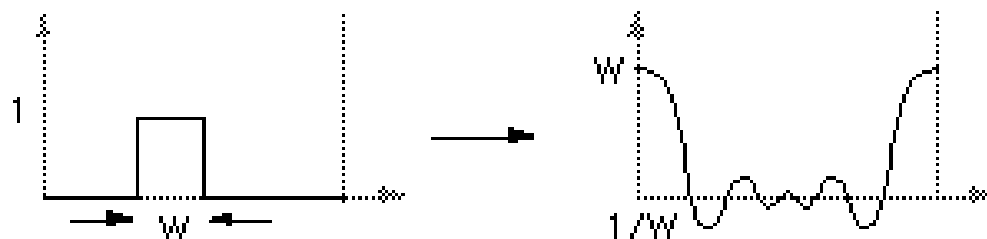
## تبدیل فوریه‌ی یک بعدی

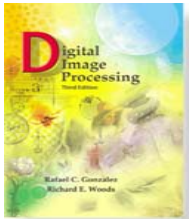
مثال

تبدیل فوریه‌ی یک تابع سینوسی،  
یک تابع ضربه‌ی مثبت در یک فرکانس مثبت و یک تابع ضربه‌ی منفی در یک فرکانس منفی است.



تبدیل فوریه‌ی یک پالس مربعی،  
یک تابع سینک است.





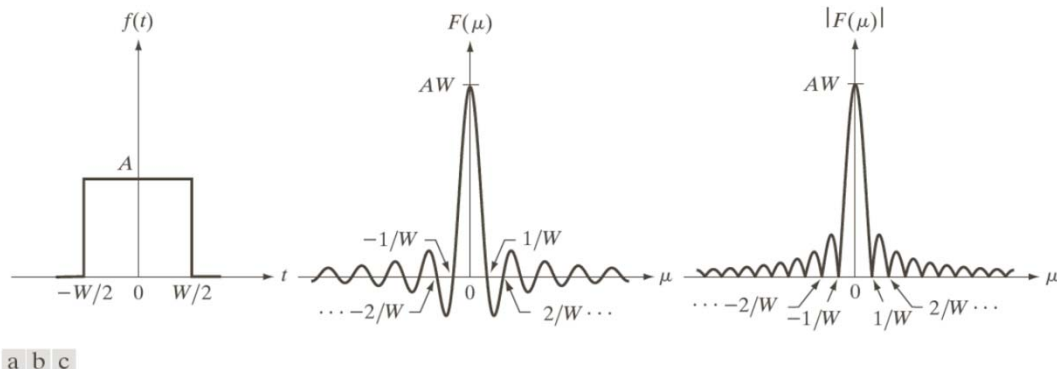
# Digital Image Processing, 3rd ed.

Gonzalez & Woods

[www.ImageProcessingPlace.com](http://www.ImageProcessingPlace.com)

## Chapter 4

### Filtering in the Frequency Domain



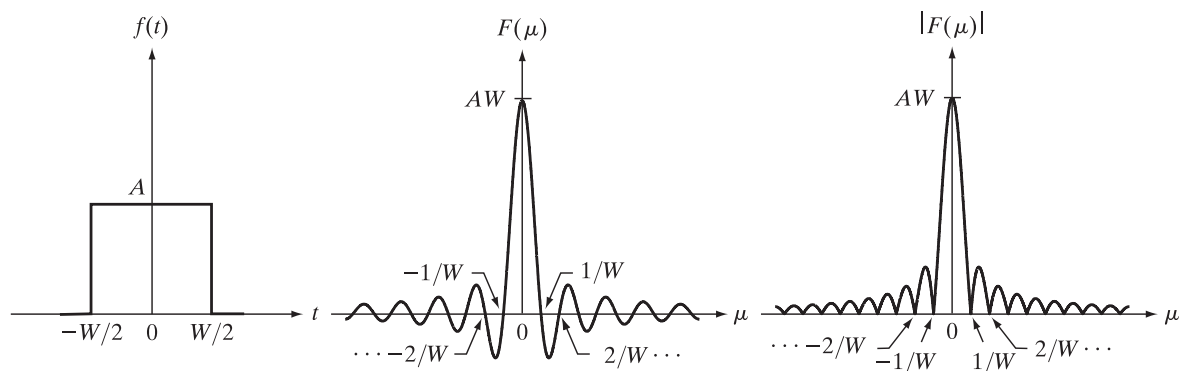
**FIGURE 4.4** (a) A simple function; (b) its Fourier transform; and (c) the spectrum. All functions extend to infinity in both directions.

## تبدیل فوریه‌ی یک-بعدی

مثال: تبدیل فوریه‌ی پالس مربعی - تابع سینک

$$\begin{aligned}
 F(\mu) &= \int_{-\infty}^{\infty} f(t) e^{-j2\pi\mu t} dt = \int_{-W/2}^{W/2} A e^{-j2\pi\mu t} dt \\
 &= \frac{-A}{j2\pi\mu} [e^{-j2\pi\mu t}]_{-W/2}^{W/2} = \frac{-A}{j2\pi\mu} [e^{-j\pi\mu W} - e^{j\pi\mu W}] \\
 &= \frac{A}{j2\pi\mu} [e^{j\pi\mu W} - e^{-j\pi\mu W}] \\
 &= AW \frac{\sin(\pi\mu W)}{(\pi\mu W)}
 \end{aligned}$$

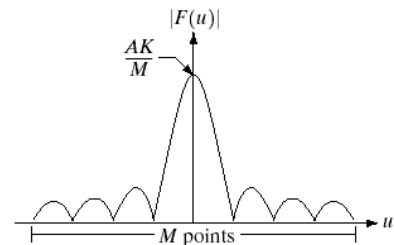
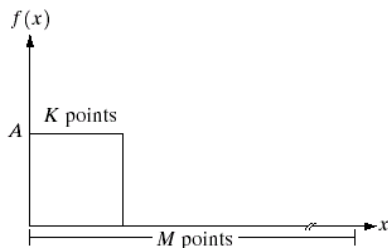
با استفاده از تعریف تبدیل فوریه پیوسته یک-بعدی:



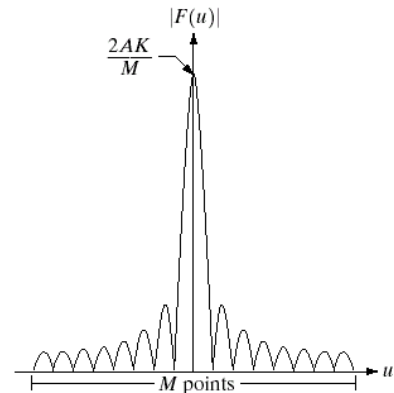
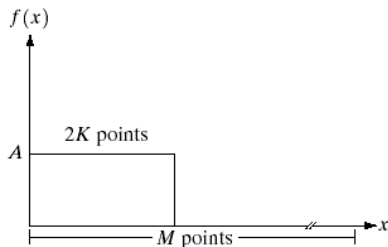
## تبديل فوريه‌ي يك-بعدی

مثال

يك تابع گستته با  $M$  نقطه  
و تبدل فوريه‌ي آن

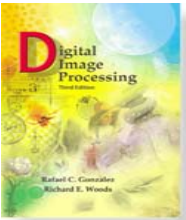


همان تابع گستته با  $M$  نقطه  
با دوبرابر تعداد نقاط غيرصفر  
و تبدل فوريه‌ي آن



## نمونه برداری و تبدیل فوریه‌ی توابع نمونه برداری شده

توابع پیوسته برای پردازش توسط کامپیوتر، باید به دنباله‌ای از مقادیر گسسته تبدیل شوند.  
این کار از طریق **نمونه برداری** و **چندی‌سازی** انجام می‌شود.



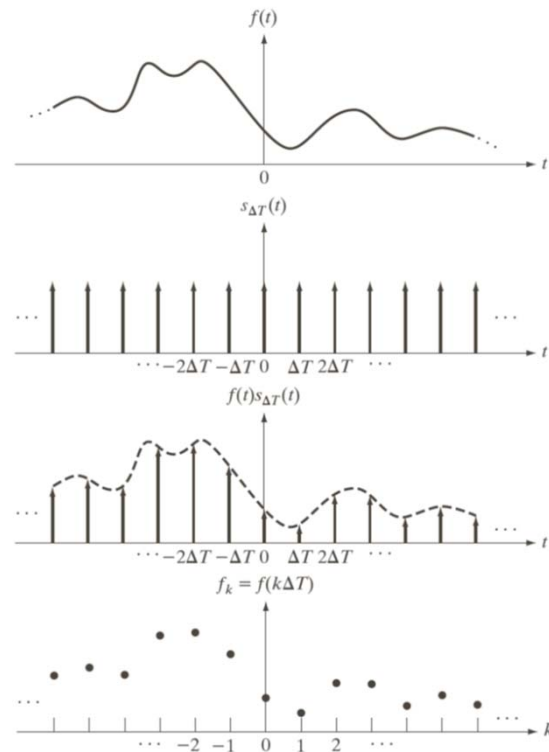
# Digital Image Processing, 3rd ed.

Gonzalez & Woods

[www.ImageProcessingPlace.com](http://www.ImageProcessingPlace.com)

## Chapter 4

### Filtering in the Frequency Domain



a  
b  
c  
d

**FIGURE 4.5**  
(a) A continuous function.  
(b) Train of impulses used to model the sampling process.  
(c) Sampled function formed as the product of (a) and (b).  
(d) Sample values obtained by integration and using the sifting property of the impulse. (The dashed line in (c) is shown for reference. It is not part of the data.)

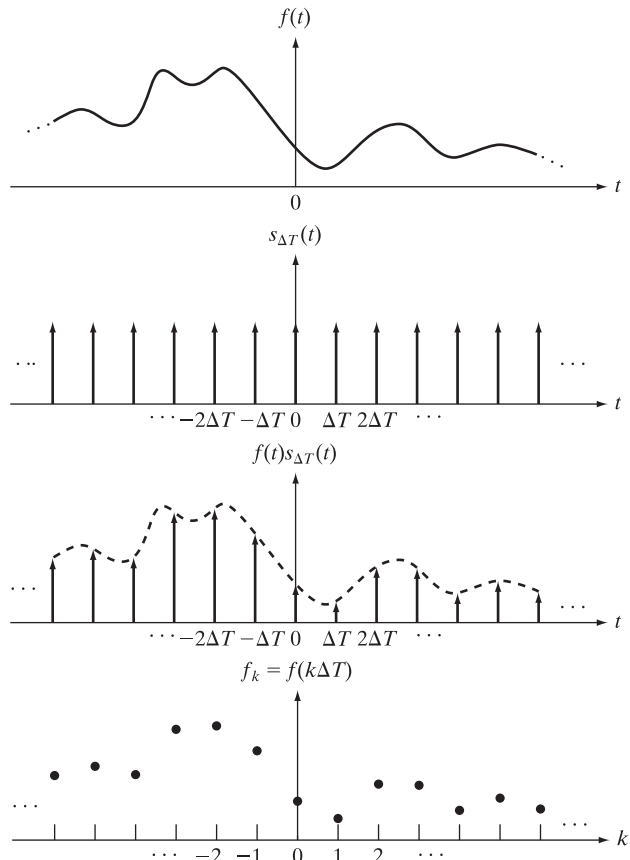
## نمونه‌برداری

مثال

۱) یک تابع پیوسته

۲) قطار ضربه‌ی مورد استفاده برای  
مدل‌سازی فرآیند نمونه‌برداری۳) تابع نمونه‌برداری شده  
مت Shank از ضرب تابع پیوسته (۱) و قطار ضربه (۲)۴) مقادیر نمونه حاصل از انتگرال‌گیری  
و استفاده از خاصیت غربالی

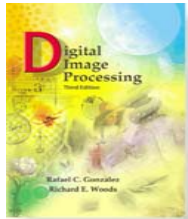
$$f_k = \int_{-\infty}^{\infty} f(t) \delta(t - k\Delta t) dt = f(k\Delta t)$$



## قضیه‌ی نمونه‌برداری

نرخ نایکوئیست

$$\frac{1}{\Delta T} > 2\mu_{\max}$$



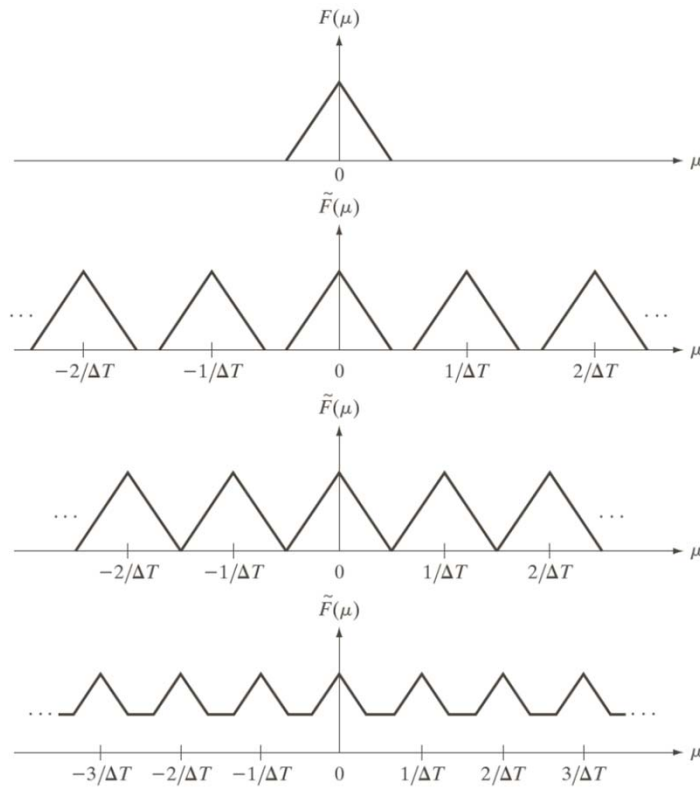
# Digital Image Processing, 3rd ed.

Gonzalez & Woods

[www.ImageProcessingPlace.com](http://www.ImageProcessingPlace.com)

## Chapter 4

### Filtering in the Frequency Domain



a  
b  
c  
d

**FIGURE 4.6**  
(a) Fourier transform of a band-limited function.  
(b)-(d)  
Transforms of the corresponding sampled function under the conditions of over-sampling, critically-sampling, and under-sampling, respectively.

## قضیه‌ی نمونه‌برداری

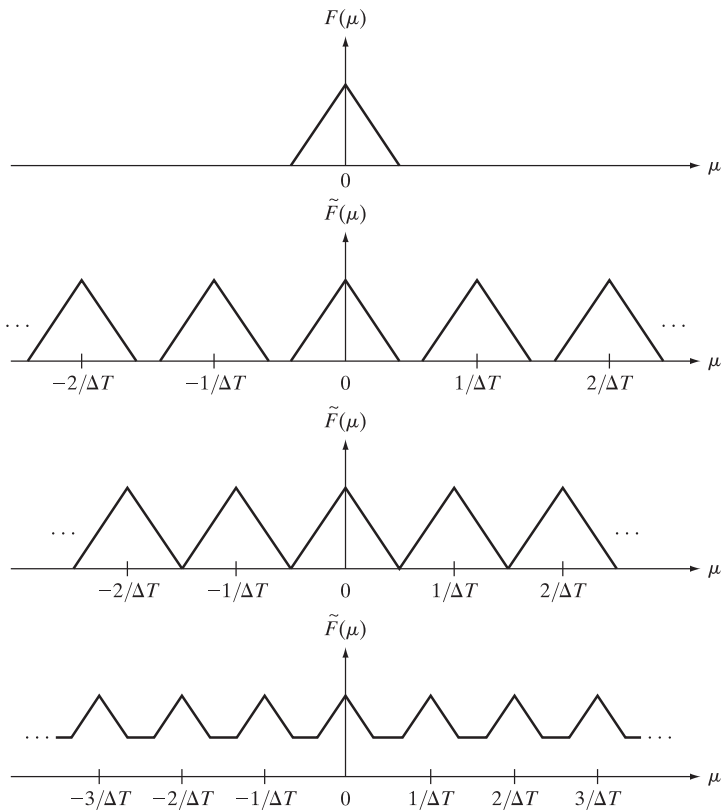
مثال

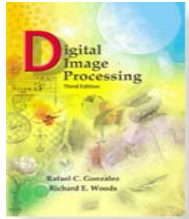
۱) تبدیل فوریه‌ی یک تابع باند-محدود

۲) تبدیل تابع نمونه‌برداری شده‌ی متناظر  
در شرایط بیش-نمونه‌برداری over-sampling

۳) تبدیل تابع نمونه‌برداری شده‌ی متناظر در  
شرایط نمونه‌برداری بحرانی critically-sampling

۴) تبدیل تابع نمونه‌برداری شده‌ی متناظر  
در شرایط زیر-نمونه‌برداری under-sampling





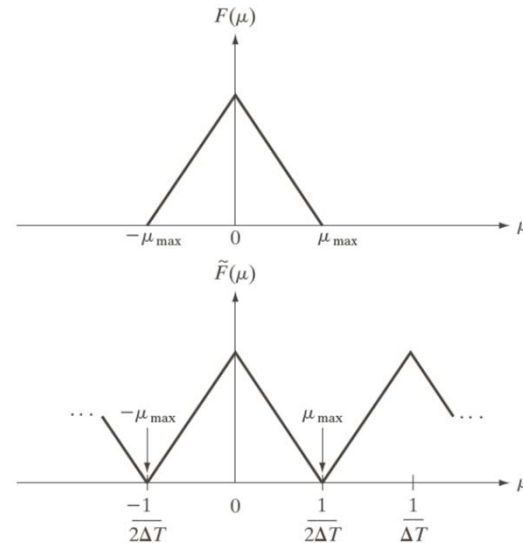
# Digital Image Processing, 3rd ed.

Gonzalez & Woods

[www.ImageProcessingPlace.com](http://www.ImageProcessingPlace.com)

## Chapter 4

### Filtering in the Frequency Domain



a  
b

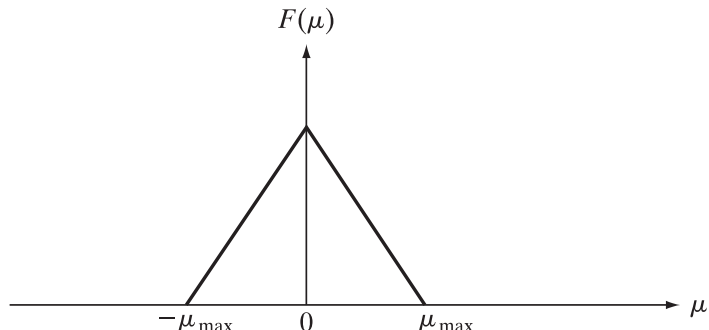
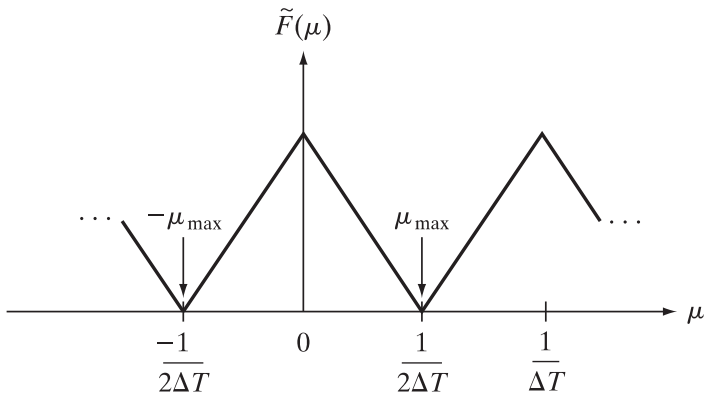
**FIGURE 4.7**

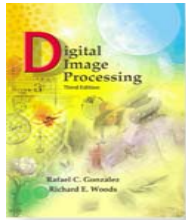
(a) Transform of a band-limited function.  
(b) Transform resulting from critically sampling the same function.

## قضیه‌ی نمونه‌برداری

مثال

۱) تبدیل فوریه‌ی یک تابع باند-محدود

۲) تبدیل حاصل از نمونه‌برداری بحرانی  
critically-sampling همان تابع است.



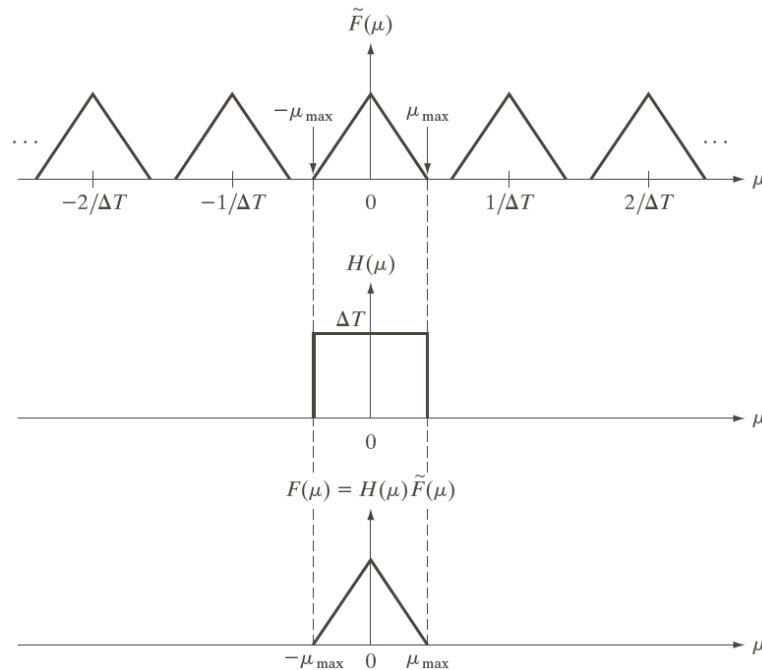
# Digital Image Processing, 3rd ed.

Gonzalez & Woods

[www.ImageProcessingPlace.com](http://www.ImageProcessingPlace.com)

## Chapter 4

### Filtering in the Frequency Domain

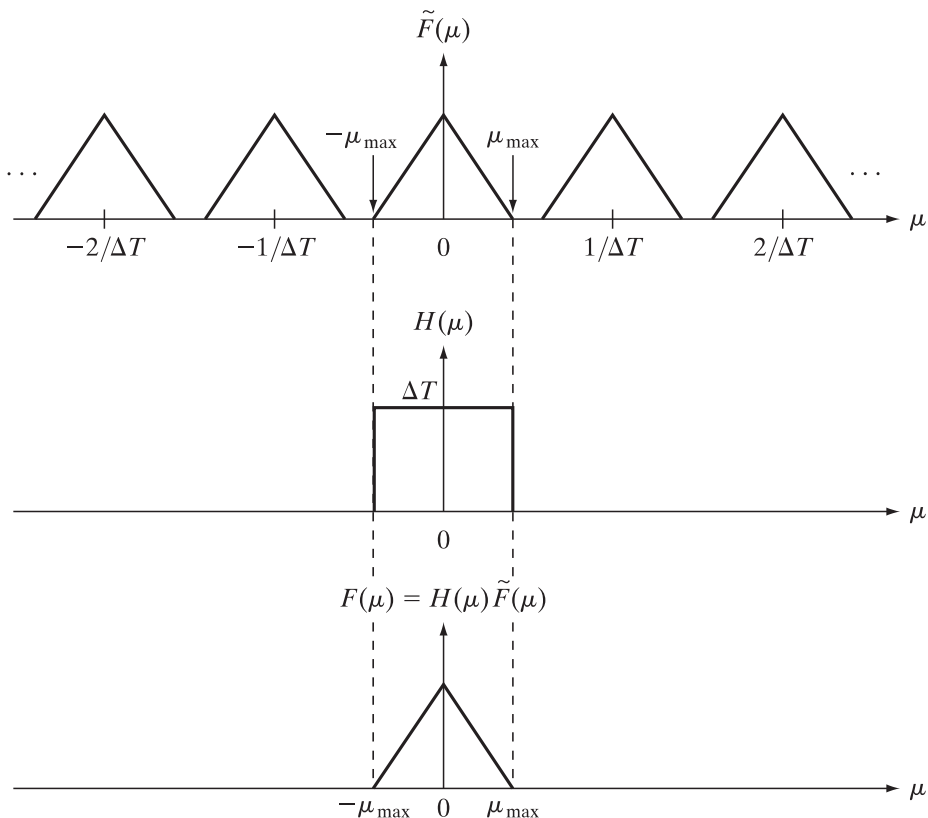


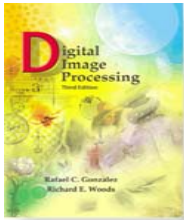
**FIGURE 4.8**  
Extracting one period of the transform of a band-limited function using an ideal lowpass filter.

## قضیه‌ی نمونه‌برداری

مثال

استخراج یک دوره‌ی تناوب  
تبديل یک تابع باند محدود  
با استفاده از  
فیلتر پایین‌گذر ایده‌آل





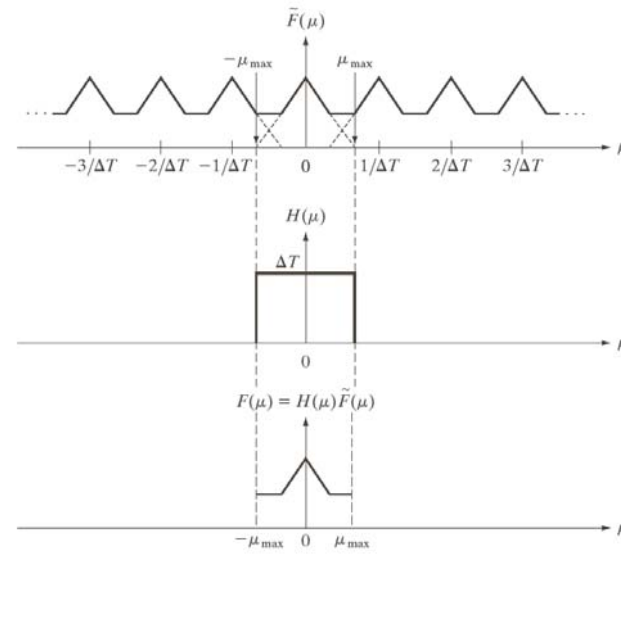
# Digital Image Processing, 3rd ed.

Gonzalez & Woods

[www.ImageProcessingPlace.com](http://www.ImageProcessingPlace.com)

## Chapter 4

### Filtering in the Frequency Domain



**FIGURE 4.9** (a) Fourier transform of an under-sampled, band-limited function. (Interference from adjacent periods is shown dashed in this figure). (b) The same ideal lowpass filter used in Fig. 4.8(b). (c) The product of (a) and (b). The interference from adjacent periods results in aliasing that prevents perfect recovery of  $F(\mu)$  and, therefore, of the original, band-limited continuous function. Compare with Fig. 4.8.

## قضیه‌ی نمونه‌برداری

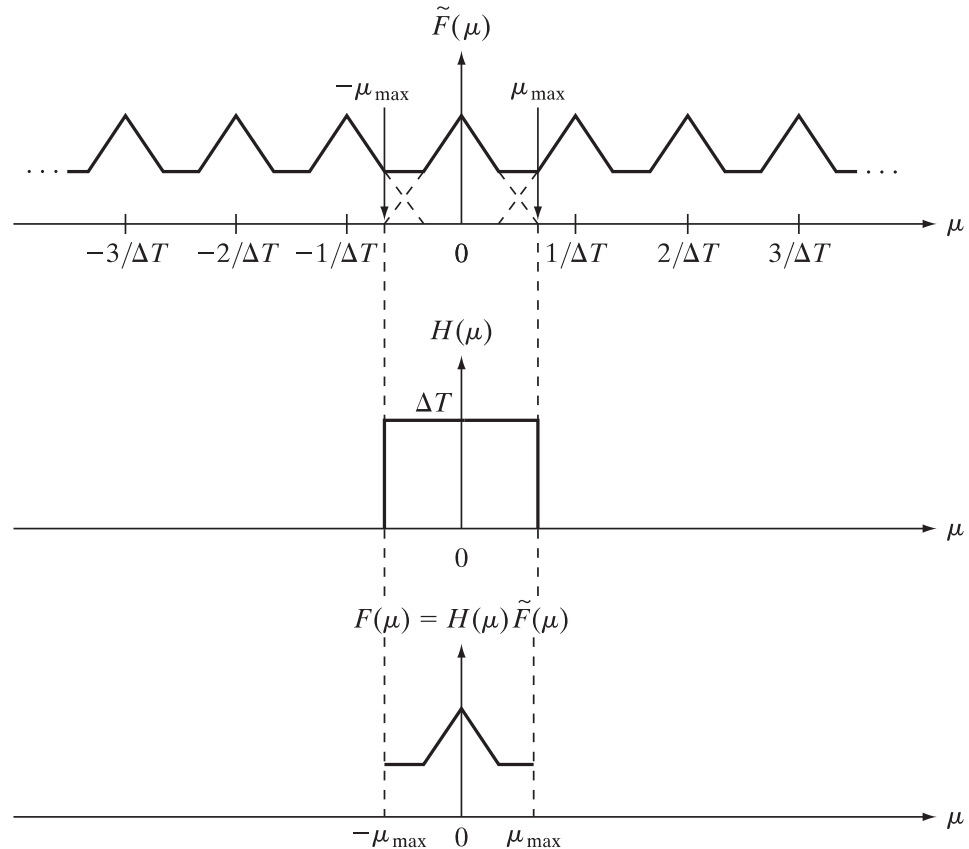
### آلیاسینگ

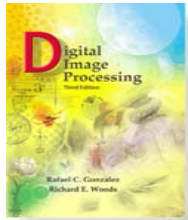
#### ALIASING

(۱) تبدیل فوریه یک تابع باند محدود با زیرنمونه‌برداری (تداخل‌های دوره‌های مجاور با خط چین نشان داده شده است).

(۲) فیلتر پایین‌گذر ایده‌آل

(۳) ضرب (۱) و (۲): تداخل دوره‌های مجاور منجر به آلیاسینگ شده و از بازسازی کامل تابع اصلی جلوگیری کرده است.





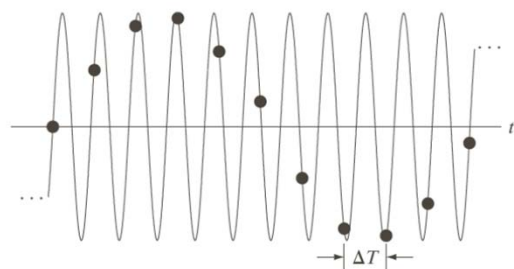
# Digital Image Processing, 3rd ed.

Gonzalez & Woods

[www.ImageProcessingPlace.com](http://www.ImageProcessingPlace.com)

## Chapter 4

### Filtering in the Frequency Domain

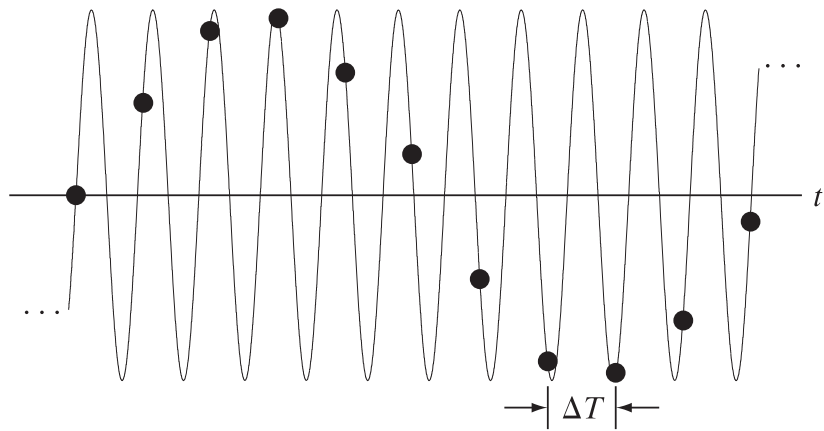


**FIGURE 4.10** Illustration of aliasing. The under-sampled function (black dots) looks like a sine wave having a frequency much lower than the frequency of the continuous signal. The period of the sine wave is 2 s, so the zero crossings of the horizontal axis occur every second.  $\Delta T$  is the separation between samples.

## قضیه‌ی نمونه‌برداری

آلیاسینگ

ALIASING



نمایشی از آلیاسینگ:

تابع زیر نمونه‌برداری شده (نقاط سیاه) به نظر شبیه یک موج سینوسی دارای فرکانسی بسیار پایین‌تر از فرکانس سیگنال پیوسته می‌رسد.

دوره‌ی تناوب سیگنال سینوسی ۲ است، پس محل برخورد با صفر محور افقی، ثانیه‌ای یک بار رخ می‌دهد. فاصله‌ی بین نمونه‌ها،  $\Delta t$  است.

## قضیه‌ی نمونه‌برداری

بازسازی تابع اصلی از روی داده‌های نمونه‌برداری شده

### FUNCTION RECONSTRUCTION (RECOVERY) FROM SAMPLED DATA

$$f(t) = \sum_{n=-\infty}^{\infty} f(n\Delta t) \operatorname{sinc}\left[\left(t - n\Delta t\right) / n\Delta t\right]$$

فیلتر کردن در حوزه‌ی فرکانس

۴

تبیل  
فوریه‌ی  
گسته  
(DFT)  
یک متغیره

## تبدیل فوریه

تبدیل فوریه گسته

THE FOURIER TRANSFORM

حالت گسته

Discrete Case

تبدیل معکوس فوریه‌ی یک-بعدی

One-dimensional Inverse Fourier Transform

$$f(x) = \sum_{u=0}^{M-1} F(u) e^{j2\pi ux/M}$$

for  $x = 0, 1, 2, \dots, M-1$ 

تبدیل فوریه‌ی یک-بعدی

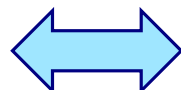
One-dimensional Fourier Transform

$$F(u) = \frac{1}{M} \sum_{x=0}^{M-1} f(x) e^{-j2\pi ux/M}$$

for  $u = 0, 1, 2, \dots, M-1$ 

$$j = \sqrt{-1}$$

$$e^{j\theta} = \cos \theta + j \sin \theta$$



## تبدیل فوریه

بازنمایی تبدیل فوریه‌ی گسسته با سینوس و کسینوس: حوزه‌ی فرکانس و مؤلفه‌ی فرکانسی

$$F(u) = \frac{1}{M} \sum_{x=0}^{M-1} f(x) e^{-j2\pi ux/M}$$

for  $u = 0, 1, 2, \dots, M-1$

$e^{j\theta} = \cos \theta + j \sin \theta$   
 $\cos(-\theta) = \cos \theta$



$$F(u) = \frac{1}{M} \sum_{x=0}^{M-1} f(x) [\cos 2\pi ux/M - j \sin 2\pi ux/M]$$

for  $u = 0, 1, 2, \dots, M-1$

دامنه (مقادیر  $u$ ) که بازه‌ی مقادیر  $F(u)$  را مشخص می‌کند؛  
 زیرا  $u$  فرکانس مؤلفه‌های تبدیل را مشخص می‌کند.

**حوزه‌ی فرکانس**  
*Frequency Domain*

هر یک از  $M$  جمله‌ی  $F(u)$  یک مؤلفه‌ی فرکانسی است.

**مؤلفه‌ی فرکانسی**  
*Frequency Component*

## تبدیل فوریه

بازنمایی تبدیل فوریه‌ی گستته در مختصات قطبی

تبدیل فوریه را می‌توان در مختصات قطبی نیز نشان داد:

$$F(\mathbf{u}) = |F(\mathbf{u})| e^{j\phi(\mathbf{u})}$$

where  $|F(\mathbf{u})| = [R^2(\mathbf{u}) + I^2(\mathbf{u})]^{1/2}$

$$\phi(\mathbf{u}) = \tan^{-1} \left[ \frac{I(\mathbf{u})}{R(\mathbf{u})} \right]$$

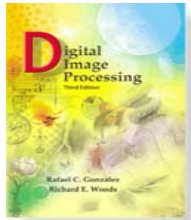
اندازه / طیف  
Magnitude / Spectrum

زاویه فاز / طیف فاز  
Phase Angle / Phase Spectrum

طیف توان  
Power Spectrum

$$P(\mathbf{u}) = |F(\mathbf{u})|^2 = R^2(\mathbf{u}) + I^2(\mathbf{u})$$

$$\begin{aligned} R(\mathbf{u}) &= \Re\{F(\mathbf{u})\} \\ I(\mathbf{u}) &= \Im\{F(\mathbf{u})\} \end{aligned}$$



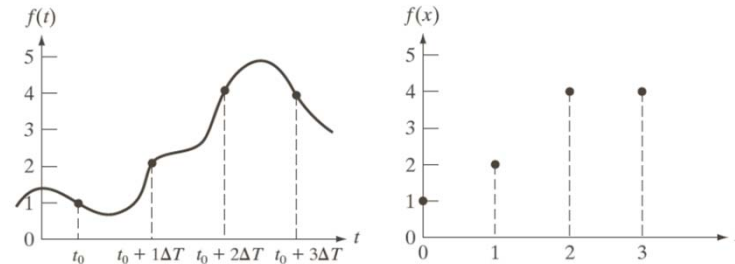
# Digital Image Processing, 3rd ed.

Gonzalez & Woods

[www.ImageProcessingPlace.com](http://www.ImageProcessingPlace.com)

## Chapter 4

### Filtering in the Frequency Domain



a b

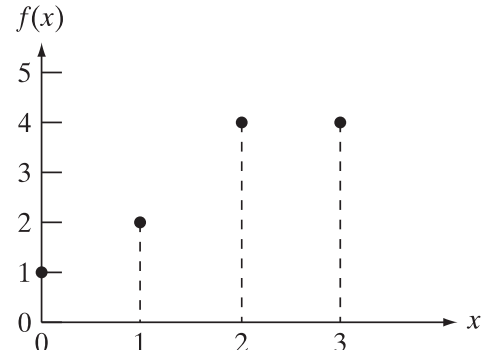
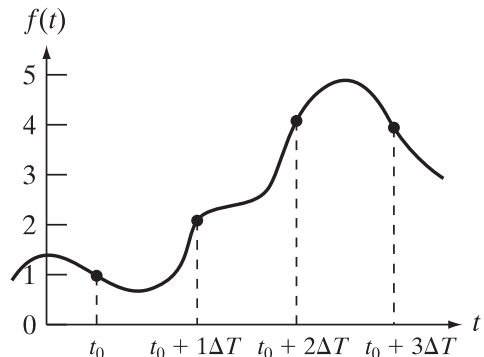
**FIGURE 4.11**  
(a) A function,  
and (b) samples in  
the  $x$ -domain. In  
(a),  $t$  is a  
continuous  
variable; in (b),  $x$   
represents integer  
values.

## تبديل فوريه‌ي گستته

مثال

a b

(a) A function, and (b) samples in the  $x$ -domain. In (a),  $t$  is a continuous variable; in (b),  $x$  represents integer values.



$$F(0) = \sum_{x=0}^3 f(x) = [f(0) + f(1) + f(2) + f(3)]$$

$$= 1 + 2 + 4 + 4 = 11$$

$$\begin{aligned} F(1) &= \sum_{x=0}^3 f(x) e^{-j2\pi(1)x/4} \\ &= 1e^0 + 2e^{-j\pi/2} + 4e^{-j\pi} + 4e^{-j3\pi/2} = -3 + 2j \end{aligned}$$

$$F(2) = -(1 + 0j) \quad F(3) = -(3 + 2j).$$

$$f(0) = \frac{1}{4} \sum_{u=0}^3 F(u) e^{j2\pi u(0)}$$

$$= \frac{1}{4} \sum_{u=0}^3 F(u)$$

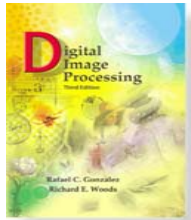
$$= \frac{1}{4} [11 - 3 + 2j - 1 - 3 - 2j]$$

$$= \frac{1}{4} [4] = 1$$

فیلتر کردن در حوزه‌ی فرکانس

۵

تبديل  
فوريه‌ی  
گسته  
(DFT)  
دو متغيره



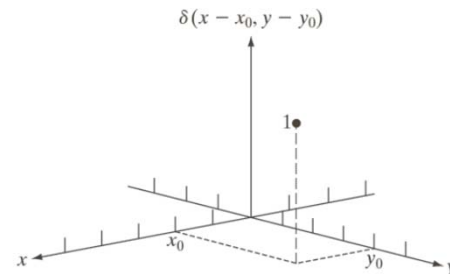
# Digital Image Processing, 3rd ed.

Gonzalez & Woods

[www.ImageProcessingPlace.com](http://www.ImageProcessingPlace.com)

## Chapter 4

### Filtering in the Frequency Domain



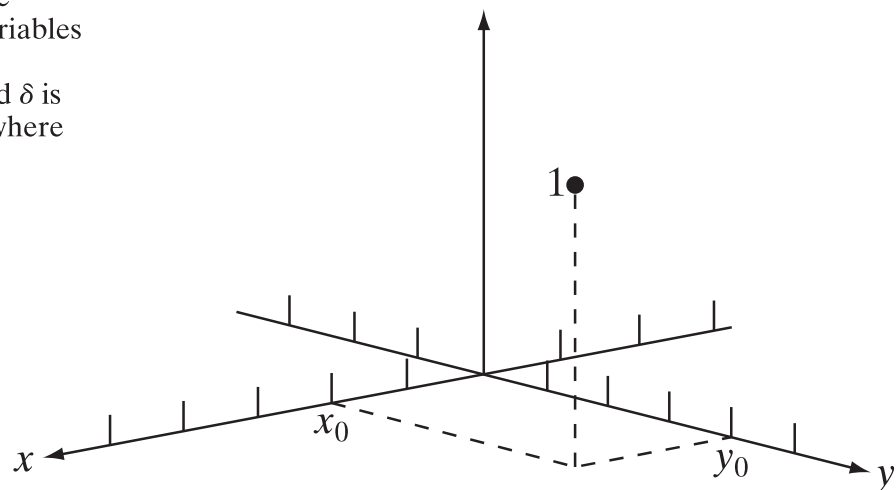
**FIGURE 4.12**  
Two-dimensional unit discrete impulse. Variables  $x$  and  $y$  are discrete, and  $\delta$  is zero everywhere except at coordinates  $(x_0, y_0)$ .

## تابع ضربه‌ی واحد گسسته‌ی دو بعدی

### Two-DIMENTIONAL UNIT DISCRETE IMPULSE

Two-dimensional unit discrete impulse. Variables  $x$  and  $y$  are discrete, and  $\delta$  is zero everywhere except at coordinates  $(x_0, y_0)$ .

$$\delta(x - x_0, y - y_0)$$



## مقدمه‌ای بر تبدیل فوریه و حوزه‌ی فرکانس

تبدیل فوریه پیوسته

### INTRODUCTION TO THE FOURIER TRANSFORM AND THE FREQUENCY DOMAIN

حالت پیوسته

*Continuous Case*

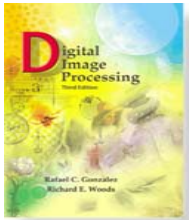
تبدیل معکوس فوریه‌ی دو-بعدی

*Two-dimensional Inverse Fourier Transform*

تبدیل فوریه‌ی دو-بعدی

*Two-dimensional Fourier Transform*

$$f(x, y) = \int_{-\infty}^{\infty} \int_{-\infty}^{\infty} F(u, v) e^{j2\pi(ux+vy)} du dv \quad \longleftrightarrow \quad F(u, v) = \int_{-\infty}^{\infty} \int_{-\infty}^{\infty} f(x, y) e^{-j2\pi(ux+vy)} dx dy$$



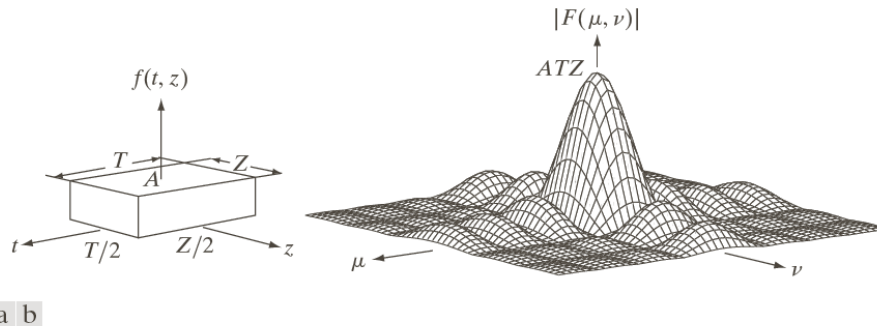
# Digital Image Processing, 3rd ed.

Gonzalez & Woods

[www.ImageProcessingPlace.com](http://www.ImageProcessingPlace.com)

## Chapter 4

### Filtering in the Frequency Domain

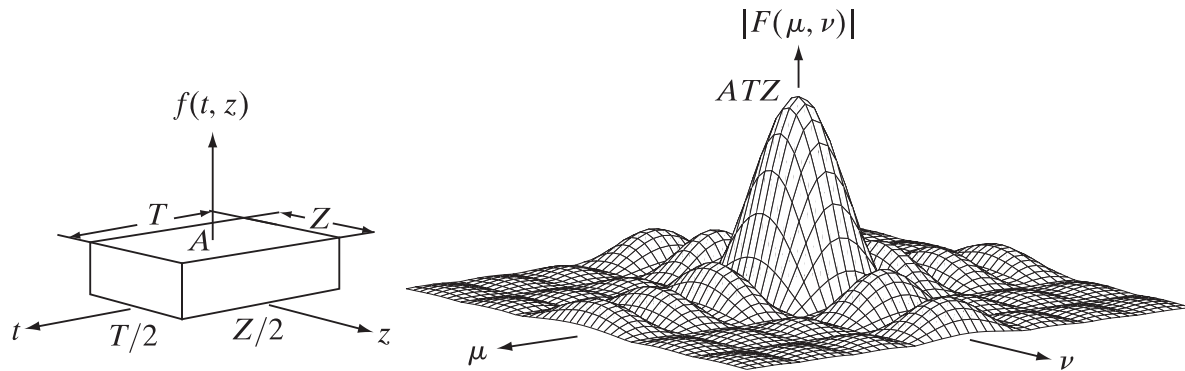


a b

**FIGURE 4.13** (a) A 2-D function, and (b) a section of its spectrum (not to scale). The block is longer along the  $t$ -axis, so the spectrum is more “contracted” along the  $\mu$ -axis. Compare with Fig. 4.4.

## تبديل فورييه دو بعدی

مثال



$$F(\mu, \nu) = \int_{-\infty}^{\infty} \int_{-\infty}^{\infty} f(t, z) e^{-j2\pi(\mu t + \nu z)} dt dz$$

$$= \int_{-T/2}^{T/2} \int_{-Z/2}^{Z/2} A e^{-j2\pi(\mu t + \nu z)} dt dz$$

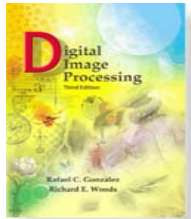
$$= ATZ \left[ \frac{\sin(\pi\mu T)}{(\pi\mu T)} \right] \left[ \frac{\sin(\pi\nu Z)}{(\pi\nu Z)} \right]$$

$$|F(\mu, \nu)| = ATZ \left| \frac{\sin(\pi\mu T)}{(\pi\mu T)} \right| \left| \frac{\sin(\pi\nu Z)}{(\pi\nu Z)} \right|$$

## نمونه برداری دو بعدی و قضیه‌ی نمونه برداری دو بعدی

$$\frac{1}{\Delta T} > 2\mu_{\max}$$

$$\frac{1}{\Delta Z} > 2\nu_{\max}$$



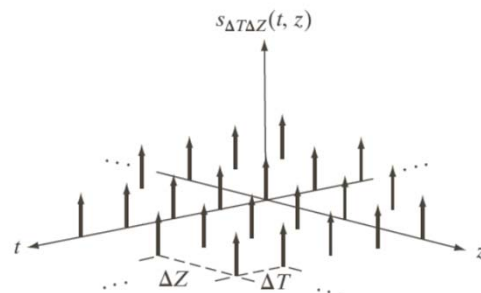
# Digital Image Processing, 3rd ed.

Gonzalez & Woods

[www.ImageProcessingPlace.com](http://www.ImageProcessingPlace.com)

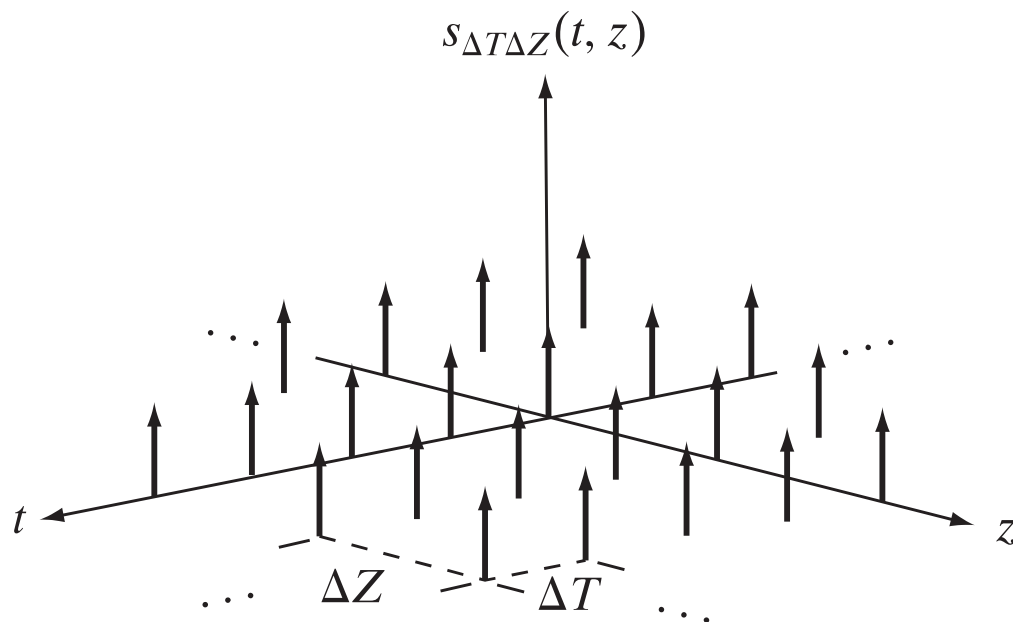
## Chapter 4

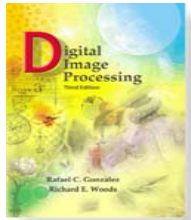
### Filtering in the Frequency Domain



**FIGURE 4.14**  
Two-dimensional  
impulse train.

## قطار ضربه‌ی دو بعدی





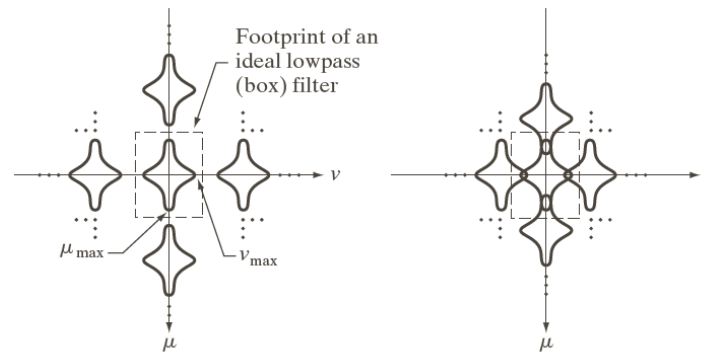
# Digital Image Processing, 3rd ed.

Gonzalez & Woods

[www.ImageProcessingPlace.com](http://www.ImageProcessingPlace.com)

## Chapter 4

### Filtering in the Frequency Domain



a b

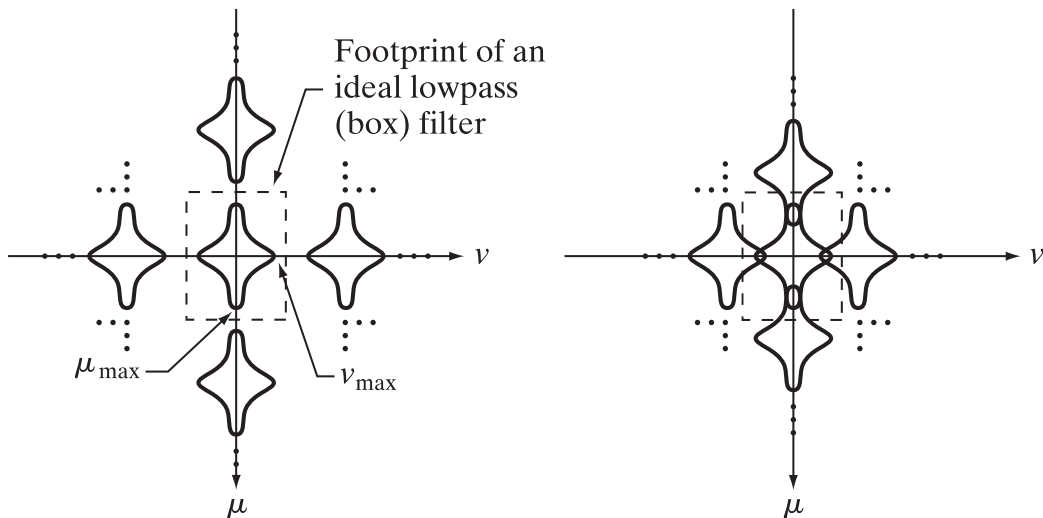
**FIGURE 4.15**  
Two-dimensional Fourier transforms of (a) an over-sampled, and (b) under-sampled band-limited function.

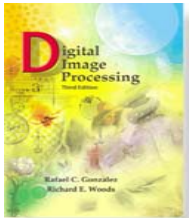
## نمونه برداری دو بعدی و قضیه نمونه برداری دو بعدی

مثال

a | b

Two-dimensional Fourier transforms of (a) an over-sampled, and (b) under-sampled band-limited function.





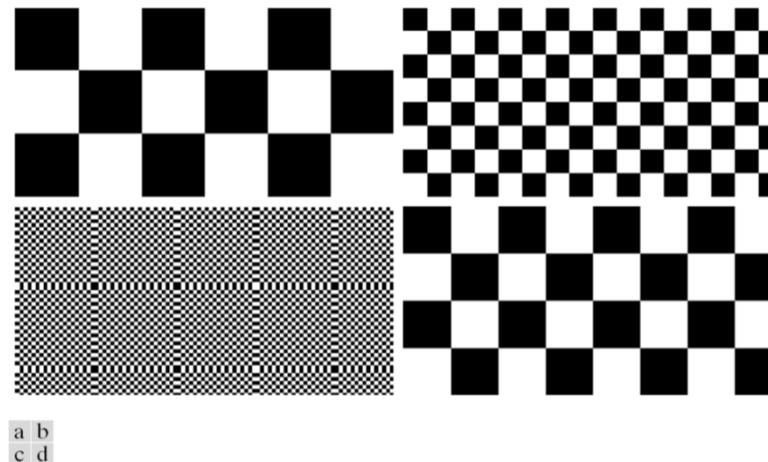
# Digital Image Processing, 3rd ed.

Gonzalez & Woods

[www.ImageProcessingPlace.com](http://www.ImageProcessingPlace.com)

## Chapter 4

### Filtering in the Frequency Domain



**FIGURE 4.16** Aliasing in images. In (a) and (b), the lengths of the sides of the squares are 16 and 6 pixels, respectively, and aliasing is visually negligible. In (c) and (d), the sides of the squares are 0.9174 and 0.4798 pixels, respectively, and the results show significant aliasing. Note that (d) masquerades as a “normal” image.

## آلیاسینگ در تصویر

مثال

### ALIASING IN IMAGES

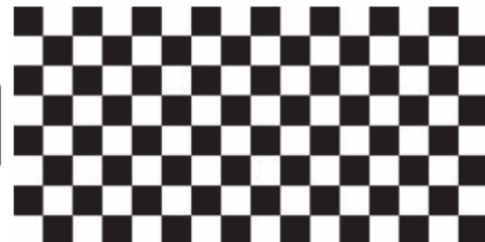
(۱)

طول و عرض مربعها = 16 پیکسل  
آلیاسینگ ناچیز است و با چشم دیده نمی شود.



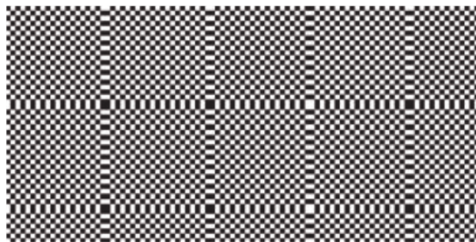
(۲)

طول و عرض مربعها = 6 پیکسل  
آلیاسینگ ناچیز است و با چشم دیده نمی شود.



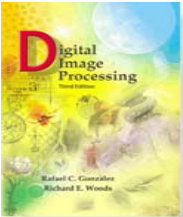
(۳)

طول و عرض مربعها = 0.9174 پیکسل  
آلیاسینگ قابل توجه است.



(۴)

طول و عرض مربعها = 0.4798 پیکسل  
آلیاسینگ قابل توجه است.  
این تصویر به ظاهر تصویری عادی دیده می شود.



# Digital Image Processing, 3rd ed.

Gonzalez & Woods

[www.ImageProcessingPlace.com](http://www.ImageProcessingPlace.com)

## Chapter 4

### Filtering in the Frequency Domain



a b c

**FIGURE 4.17** Illustration of aliasing on resampled images. (a) A digital image with negligible visual aliasing. (b) Result of resizing the image to 50% of its original size by pixel deletion. Aliasing is clearly visible. (c) Result of blurring the image in (a) with a  $3 \times 3$  averaging filter prior to resizing. The image is slightly more blurred than (b), but aliasing is not longer objectionable. (Original image courtesy of the Signal Compression Laboratory, University of California, Santa Barbara.)

## آلیاسینگ در تصویر

آلیاسینگ در نمونه برداری مجدد: مثال

### ALIASING IN RESAMPLED IMAGES



(۱)

یک تصویر دیجیتال با آلیاسینگ بصری ناچیز



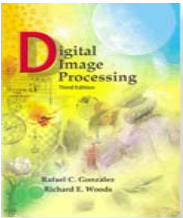
(۲)

حاصل تغییر اندازهٔ تصویر (۱) تا ۵۰٪  
با حذف پیکسل‌ها  
آلیاسینگ به وضوح دیده می‌شود.



(۳)

حاصل بالرسازی تصویر (۱) با فیلتر  
متوسطگیری  $2 \times 3$  پیش از تغییر اندازه.  
تصویر نسبت به (۲) مات‌تر شده است، اما  
آلیاسینگ دیگر خیلی قابل توجه نیست.



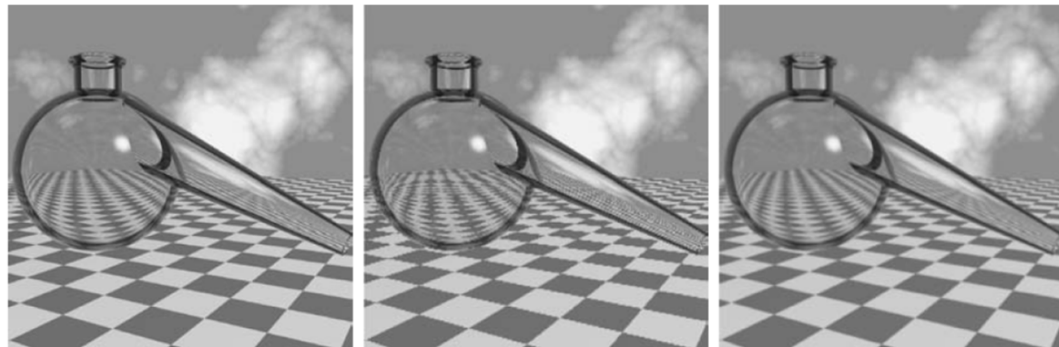
# Digital Image Processing, 3rd ed.

Gonzalez & Woods

[www.ImageProcessingPlace.com](http://www.ImageProcessingPlace.com)

## Chapter 4

### Filtering in the Frequency Domain



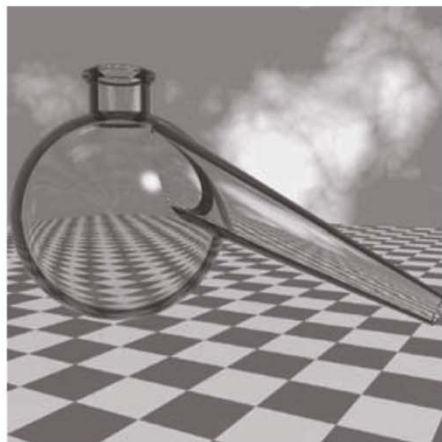
a b c

**FIGURE 4.18** Illustration of jaggies. (a) A  $1024 \times 1024$  digital image of a computer-generated scene with negligible visible aliasing. (b) Result of reducing (a) to 25% of its original size using bilinear interpolation. (c) Result of blurring the image in (a) with a  $5 \times 5$  averaging filter prior to resizing it to 25% using bilinear interpolation. (Original image courtesy of D. P. Mitchell, Mental Landscape, LLC.)

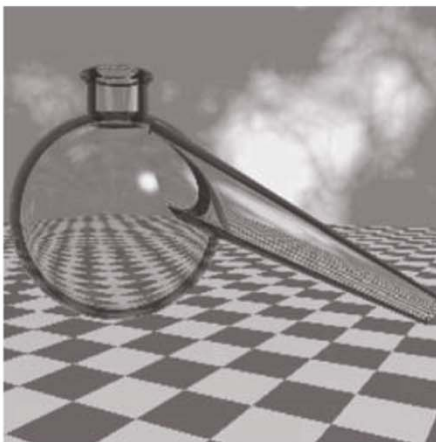
## آلیاسینگ در تصویر

آلیاسینگ در نمونه برداری مجدد: مثال

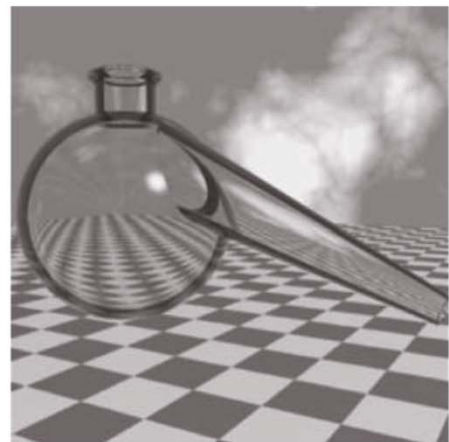
### ALIASING IN RESAMPLED IMAGES



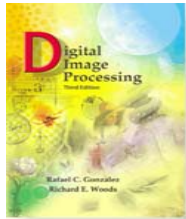
(۱)  
یک تصویر دیجیتال  
 $1024 \times 1024$   
صهنه تولید شده با کامپیوتر  
با آلیاسینگ بصری ناجیز



(۲)  
حاصل تغییر اندازه تصویر (۱) تا  $25\%$   
با استفاده از درون یابی دوخطی.  
آلیاسینگ تاحدی دیده می شود.



(۳)  
حاصل بلارسازی تصویر (۱) با فیلتر  
متوسطگیری  $5 \times 5$  پیش از تغییر اندازه.  
تصویر نسبت به (۲) ماتر شده است، اما  
آلیاسینگ دیگر خیلی قابل توجه نیست.



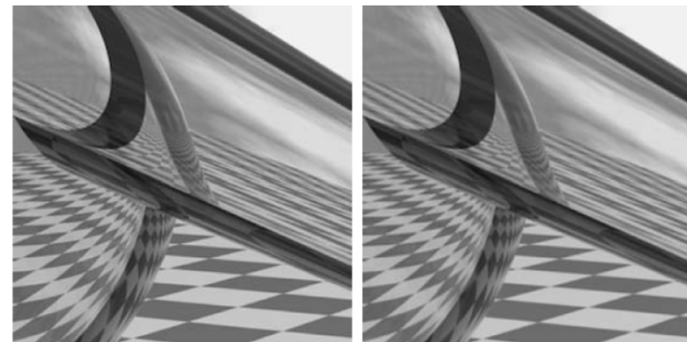
# Digital Image Processing, 3rd ed.

Gonzalez & Woods

[www.ImageProcessingPlace.com](http://www.ImageProcessingPlace.com)

## Chapter 4

### Filtering in the Frequency Domain



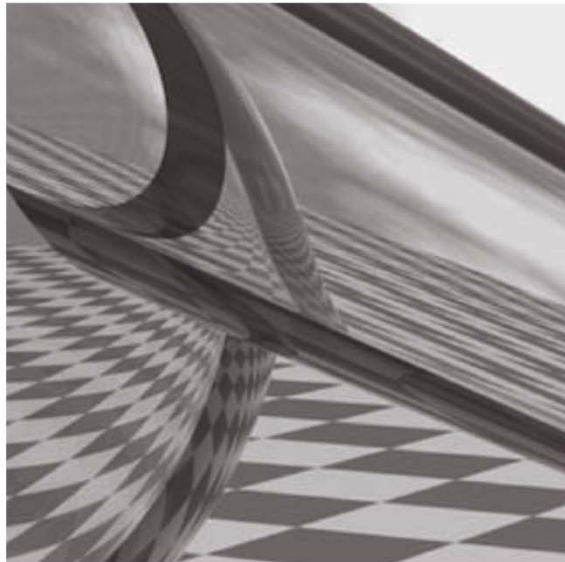
a b

**FIGURE 4.19** Image zooming. (a) A  $1024 \times 1024$  digital image generated by pixel replication from a  $256 \times 256$  image extracted from the middle of Fig. 4.18(a). (b) Image generated using bi-linear interpolation, showing a significant reduction in jaggies.

## آلیاسینگ در تصویر

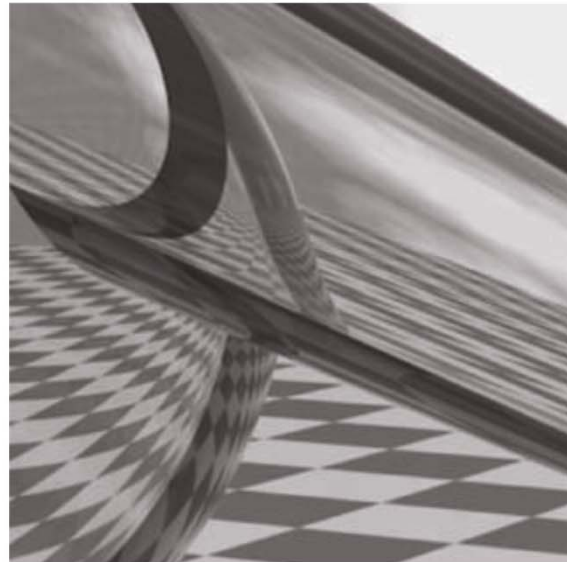
آلیاسینگ در بزرگنمایی تصویر: مثال

### ALIASING IN ZOOMING IMAGES



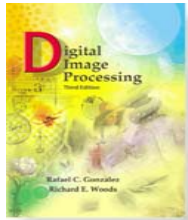
(۱)

یک تصویر دیجیتال  
 $1024 \times 1024$   
 تولید شده از یک تصویر  
 $256 \times 256$



(۲)

تولید تصویر با استفاده از درون یابی دوخطی  
 کاهش قابل توجهی در دندانه‌ای شدن دیده می‌شود.



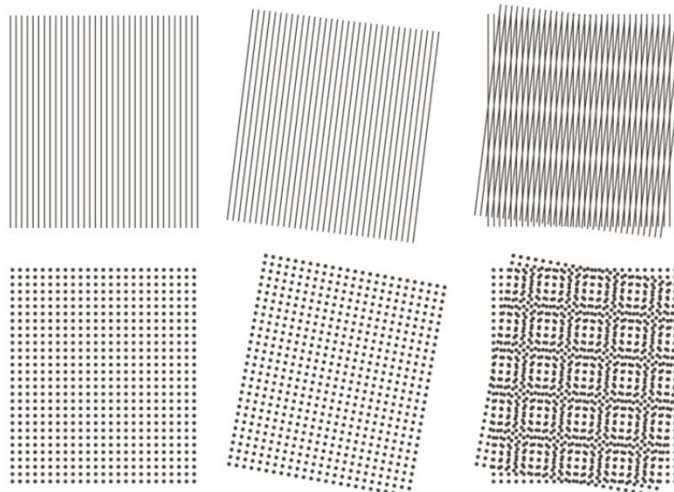
# Digital Image Processing, 3rd ed.

Gonzalez & Woods

[www.ImageProcessingPlace.com](http://www.ImageProcessingPlace.com)

## Chapter 4

### Filtering in the Frequency Domain

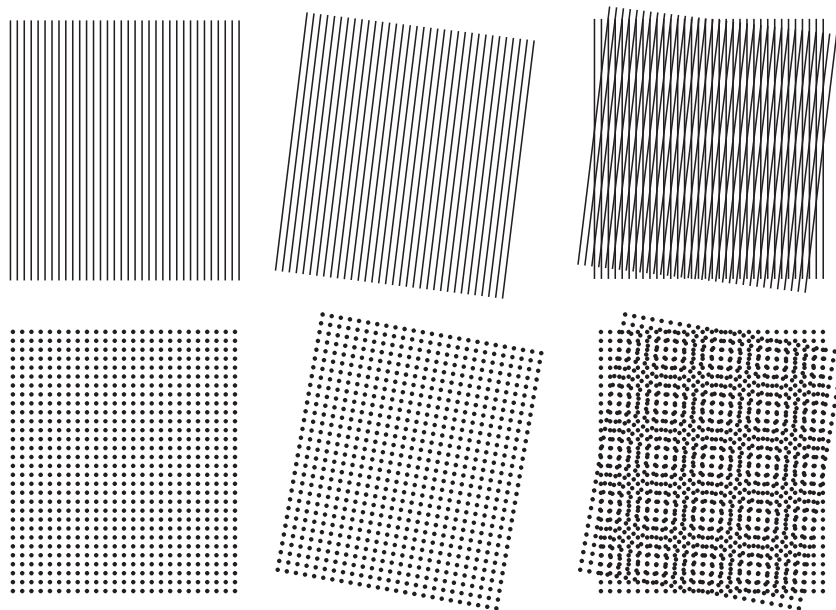


a b c  
d e f

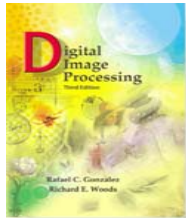
**FIGURE 4.20**  
Examples of the moiré effect.  
These are ink drawings, not digitized patterns.  
Superimposing one pattern on the other is equivalent mathematically to multiplying the patterns.

## اثر مویره

مثال

MOIRÉ EFFECT

نمونه هایی از اثر مویره:  
قرارگیری یک الگو روی الگوی دیگر،  
به لحاظ ریاضی معادل با ضرب الگوهاست.



# Digital Image Processing, 3rd ed.

Gonzalez & Woods

[www.ImageProcessingPlace.com](http://www.ImageProcessingPlace.com)

## Chapter 4

### Filtering in the Frequency Domain



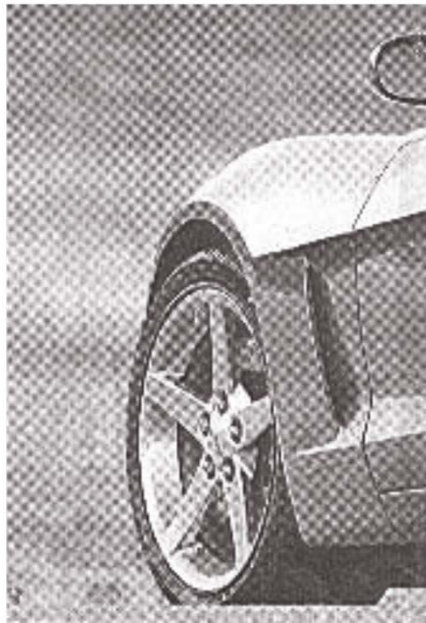
**FIGURE 4.21**

A newspaper image of size  $246 \times 168$  pixels sampled at 75 dpi showing a moiré pattern. The moiré pattern in this image is the interference pattern created between the  $\pm 45^\circ$  orientation of the halftone dots and the north-south orientation of the sampling grid used to digitize the image.

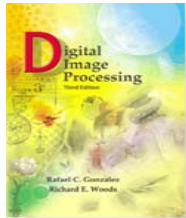
## اثر مویره

مثال

### MOIRÉ EFFECT



یک تصویر روزنامه با اندازه‌ی  $۲۴۶ \times ۱۶۸$  پیکسل نمونه برداری شده در ۷۵ dpi. الگوی مویره در این تصویر، تداخل الگوهای ایجاد شده بین جهت‌های  $\pm 45^\circ$  از نقاط هافتون و جهت شمالی-جنوبی گردید نمونه برداری مورد استفاده برای دیجیتال‌سازی تصویر است.



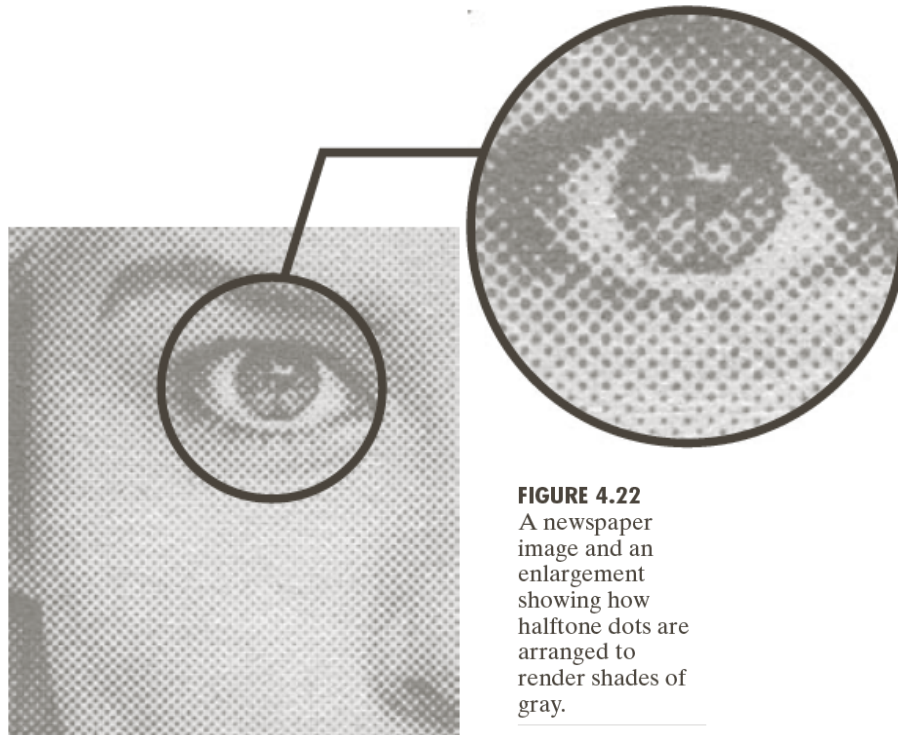
# Digital Image Processing, 3rd ed.

Gonzalez & Woods

[www.ImageProcessingPlace.com](http://www.ImageProcessingPlace.com)

## Chapter 4

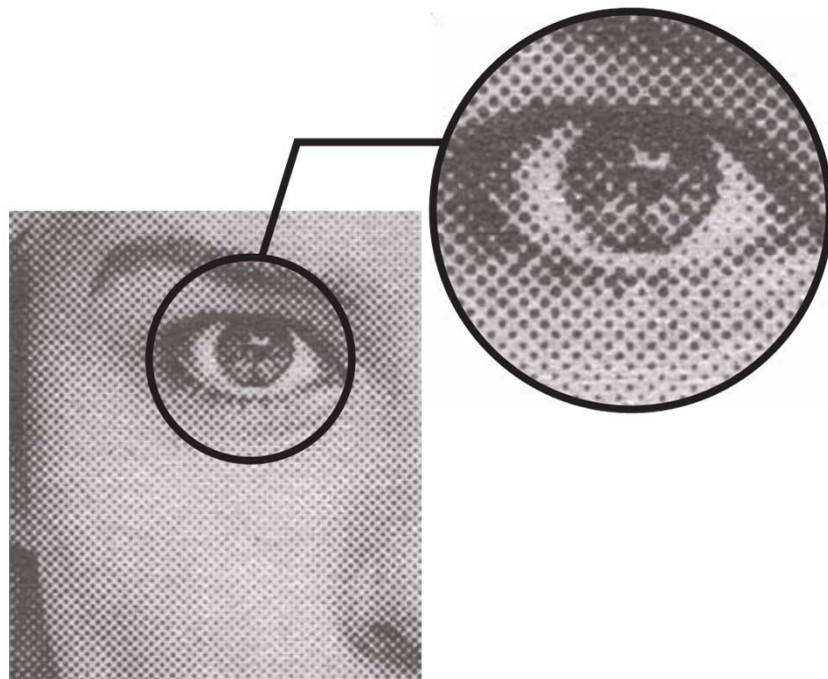
### Filtering in the Frequency Domain



**FIGURE 4.22**  
A newspaper image and an enlargement showing how halftone dots are arranged to render shades of gray.

## اثر مویره

مثال

MOIRÉ EFFECT

یک تصویر روزنامه و بزرگنمایی آن  
نشان دهنده اینکه چگونه نقاط هافتون کثار هم قرار می‌گیرند تا سایه‌های خاکستری را تولید کنند.

## تبدیل فوریه‌ی گستته‌ی دو بعدی

حالت گستته

*Discrete Case*

تبدیل معکوس فوریه‌ی دو-بعدی

*Two-dimensional Inverse Fourier Transform*

$$f(x, y) = \sum_{u=0}^{M-1} \sum_{v=0}^{N-1} F(u, v) e^{j2\pi(ux/M + vy/N)}$$

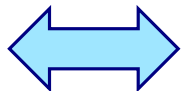
for  $x = 0, 1, 2, \dots, M-1, y = 0, 1, 2, \dots, N-1$

تبدیل فوریه‌ی دو-بعدی

*Two-dimensional Fourier Transform*

$$F(u, v) = \frac{1}{MN} \sum_{x=0}^{M-1} \sum_{y=0}^{N-1} f(x, y) e^{-j2\pi(ux/M + vy/N)}$$

for  $u = 0, 1, 2, \dots, M-1, v = 0, 1, 2, \dots, N-1$



**$u, v$** : the transform or frequency variables  
 **$x, y$** : the spatial or image variables

## تبديل فوريه‌ي گستته‌ي دو بعدی

خصوصيات

$$|F(u, v)| = [R^2(u, v) + I^2(u, v)]^{1/2}$$

اندازه / طيف  
Magnitude / Spectrum

$$\phi(u, v) = \tan^{-1} \left[ \frac{I(u, v)}{R(u, v)} \right]$$

زاويه فاز / طيف فاز  
Phase Angle / Phase Spectrumطيف توان  
Power Spectrum

$$P(u, v) = |F(u, v)|^2 = R^2(u, v) + I^2(u, v)$$

$$R(u, v) = \Re\{F(u, v)\}$$

$$I(u, v) = \Im\{F(u, v)\}$$

## تبديل فوريه‌ي گستته‌ي دو بعدی

خصوصيات

$$F[f(x,y)(-1)^{x+y}] = F(u - \frac{M}{2}, v - \frac{N}{2}) \text{ (shift)}$$

$$F(0,0) = \frac{1}{MN} \sum_{x=0}^{M-1} \sum_{y=0}^{N-1} f(x,y) \quad \text{(average)}$$

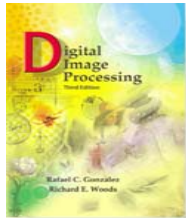
$$F(u, v) = F^*(-u, -v) \quad \text{(conjugate symmetric)}$$

$$|F(u, v)| = |F(-u, -v)| \quad \text{(symmetric)}$$

فیلتر کردن در حوزه‌ی فرکانس

۶

برخی  
خواص  
تبدیل  
فوریه  
گسته  
دوبعدی



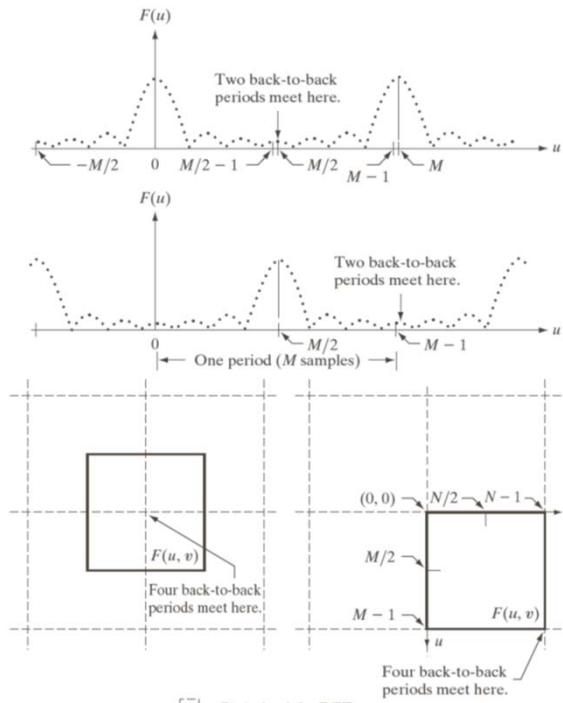
# Digital Image Processing, 3rd ed.

Gonzalez & Woods

[www.ImageProcessingPlace.com](http://www.ImageProcessingPlace.com)

## Chapter 4

### Filtering in the Frequency Domain



a  
b  
c d

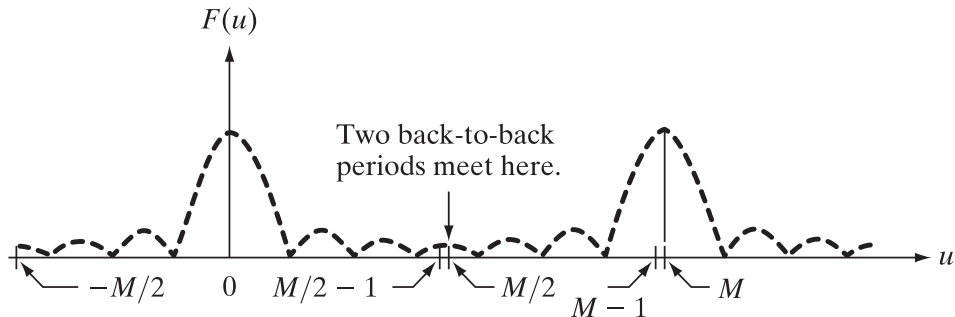
**FIGURE 4.23**  
Centering the Fourier transform.  
(a) A 1-D DFT showing an infinite number of periods.  
(b) Shifted DFT obtained by multiplying  $f(x)$  by  $(-1)^x$  before computing  $F(u)$ .  
(c) A 2-D DFT showing an infinite number of periods. The solid area is the  $M \times N$  data array,  $F(u, v)$ , obtained with Eq. (4.5-15). This array consists of four quarter periods.  
(d) A Shifted DFT obtained by multiplying  $f(x, y)$  by  $(-1)^{x+y}$  before computing  $F(u, v)$ . The data now contains one complete, centered period, as in (b).

## تبدیل فوریه‌ی گستته‌ی یکبعدی

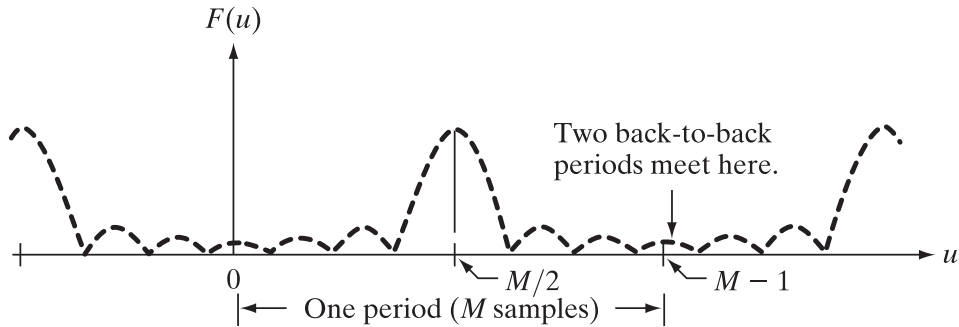
انتقال تبدیل فوریه به مرکز

### CENTERING THE FOURIER TRANSFORM

(a) A 1-D DFT showing an infinite number of periods.



(b) Shifted DFT obtained by multiplying  $f(x)$  by  $(-1)^x$  before computing  $F(u)$ .

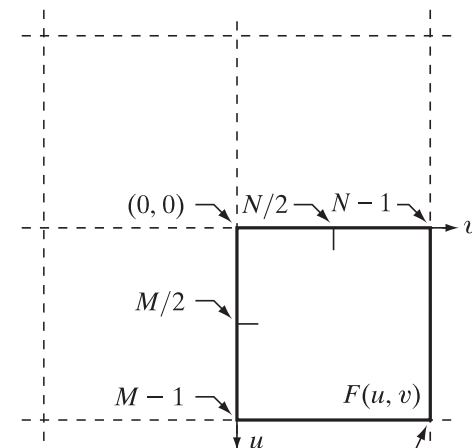
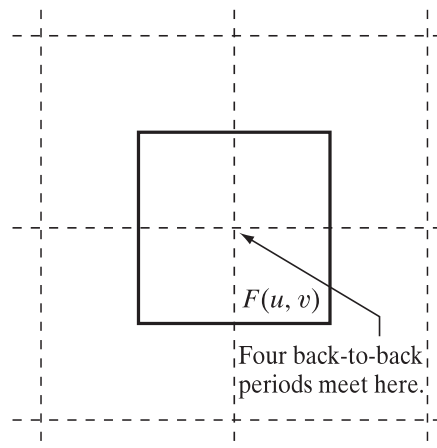


## تبدیل فوریه‌ی گستته‌ی دو بعدی

انتقال تبدیل فوریه به مرکز

CENTERING THE FOURIER TRANSFORM

(c) A 2-D DFT showing an infinite number of periods. The solid area is the  $M \times N$  data array,  $F(u, v)$ , obtained with Eq. (4.5-15). This array consists of four quarter periods.



(d) A Shifted DFT obtained by multiplying  $f(x, y)$  by  $(-1)^{x+y}$  before computing  $F(u, v)$ . The data now contains one complete, centered period, as in (b).

$$F(u, v) = \sum_{x=0}^{M-1} \sum_{y=0}^{N-1} f(x, y) e^{-j2\pi(ux/M + vy/N)} \quad (4.5-15)$$

$\boxed{\phantom{0}}$  = Periods of the DFT.

$\square$  =  $M \times N$  data array,  $F(u, v)$ .

## تبديل فورييه‌ي گسته

خواص تناوب، تقارن، و پشت-به-پشت

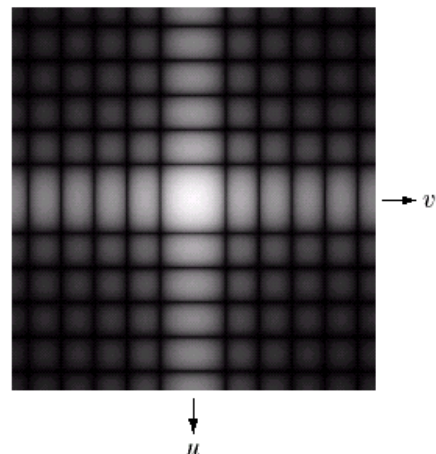
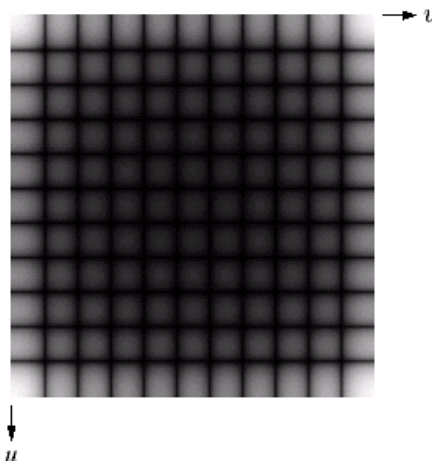
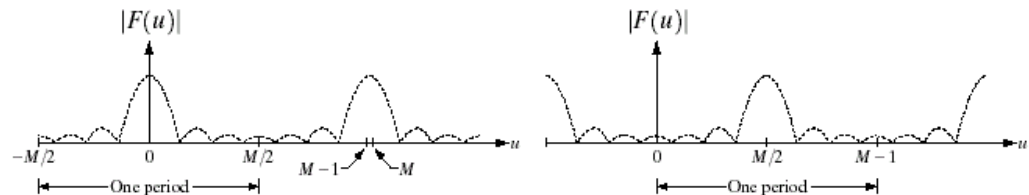
### PERIODICITY, SYMMETRY, AND BACK-TO-BACK PROPERTIES

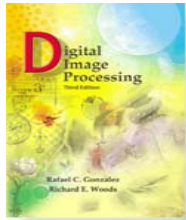
(a) Fourier spectrum showing back-to-back half periods in the interval  $[0, M - 1]$ .

(b) Shifted spectrum showing a full period in the same interval.

(c) Fourier spectrum of an image, showing the same back-to-back properties as (a), but in two dimensions.

(d) Centered Fourier spectrum.





# Digital Image Processing, 3rd ed.

Gonzalez & Woods

[www.ImageProcessingPlace.com](http://www.ImageProcessingPlace.com)

## Chapter 4

### Filtering in the Frequency Domain

	Spatial Domain <sup>†</sup>	Frequency Domain <sup>†</sup>
1)	$f(x, y)$ real	$\Leftrightarrow F^*(u, v) = F(-u, -v)$
2)	$f(x, y)$ imaginary	$\Leftrightarrow F^*(-u, -v) = -F(u, v)$
3)	$f(x, y)$ real	$\Leftrightarrow R(u, v)$ even; $I(u, v)$ odd
4)	$f(x, y)$ imaginary	$\Leftrightarrow R(u, v)$ odd; $I(u, v)$ even
5)	$f(-x, -y)$ real	$\Leftrightarrow F^*(u, v)$ complex
6)	$f(-x, -y)$ complex	$\Leftrightarrow F(-u, -v)$ complex
7)	$f^*(x, y)$ complex	$\Leftrightarrow F^*(-u - v)$ complex
8)	$f(x, y)$ real and even	$\Leftrightarrow F(u, v)$ real and even
9)	$f(x, y)$ real and odd	$\Leftrightarrow F(u, v)$ imaginary and odd
10)	$f(x, y)$ imaginary and even	$\Leftrightarrow F(u, v)$ imaginary and even
11)	$f(x, y)$ imaginary and odd	$\Leftrightarrow F(u, v)$ real and odd
12)	$f(x, y)$ complex and even	$\Leftrightarrow F(u, v)$ complex and even
13)	$f(x, y)$ complex and odd	$\Leftrightarrow F(u, v)$ complex and odd

**TABLE 4.1** Some symmetry properties of the 2-D DFT and its inverse.  $R(u, v)$  and  $I(u, v)$  are the real and imaginary parts of  $F(u, v)$ , respectively. The term *complex* indicates that a function has nonzero real and imaginary parts.

<sup>†</sup>Recall that  $x, y, u$ , and  $v$  are *discrete* (integer) variables, with  $x$  and  $u$  in the range  $[0, M - 1]$ , and  $y$ , and  $v$  in the range  $[0, N - 1]$ . To say that a complex function is *even* means that its real and imaginary parts are even, and similarly for an odd complex function.

## تبديل فوريه هی گستته هی دو بعدی

## خصوصیات تقارن

Spatial Domain <sup>†</sup>	Frequency Domain <sup>†</sup>
1) $f(x, y)$ real	$\Leftrightarrow F^*(u, v) = F(-u, -v)$
2) $f(x, y)$ imaginary	$\Leftrightarrow F^*(-u, -v) = -F(u, v)$
3) $f(x, y)$ real	$\Leftrightarrow R(u, v)$ even; $I(u, v)$ odd
4) $f(x, y)$ imaginary	$\Leftrightarrow R(u, v)$ odd; $I(u, v)$ even
5) $f(-x, -y)$ real	$\Leftrightarrow F^*(u, v)$ complex
6) $f(-x, -y)$ complex	$\Leftrightarrow F(-u, -v)$ complex
7) $f^*(x, y)$ complex	$\Leftrightarrow F^*(-u - v)$ complex
8) $f(x, y)$ real and even	$\Leftrightarrow F(u, v)$ real and even
9) $f(x, y)$ real and odd	$\Leftrightarrow F(u, v)$ imaginary and odd
10) $f(x, y)$ imaginary and even	$\Leftrightarrow F(u, v)$ imaginary and even
11) $f(x, y)$ imaginary and odd	$\Leftrightarrow F(u, v)$ real and odd
12) $f(x, y)$ complex and even	$\Leftrightarrow F(u, v)$ complex and even
13) $f(x, y)$ complex and odd	$\Leftrightarrow F(u, v)$ complex and odd

2-D DFT and its inverse.  $R(u, v)$  and  $I(u, v)$  are the real and imaginary parts of  $F(u, v)$ , respectively. The term *complex* indicates that a function has nonzero real and imaginary parts.

<sup>†</sup>Recall that  $x, y, u$ , and  $v$  are *discrete* (integer) variables, with  $x$  and  $u$  in the range  $[0, M - 1]$ , and  $y$ , and  $v$  in the range  $[0, N - 1]$ . To say that a complex function is *even* means that its real *and* imaginary parts are even, and similarly for an odd complex function.

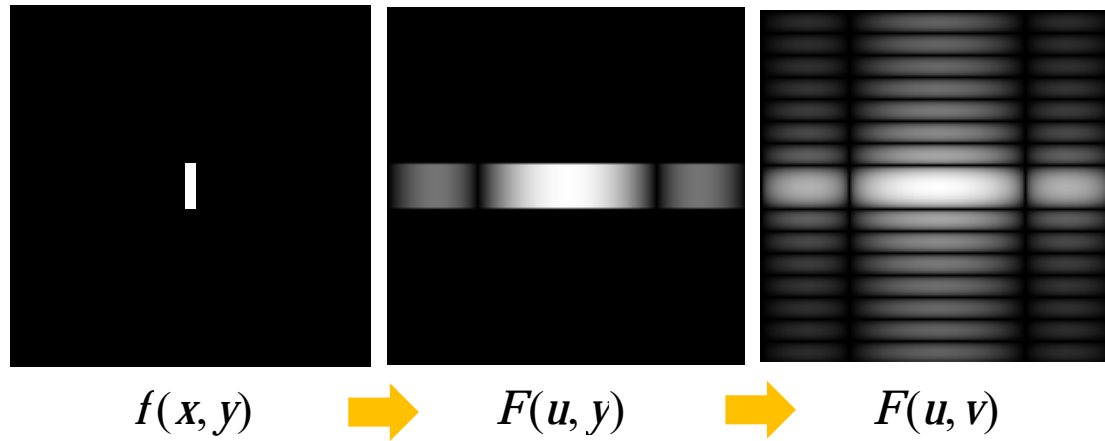


## تبدیل فوریه‌ی گسسته‌ی دو بعدی و وارون آن

### THE TWO-DIMENSIONAL DFT AND ITS INVERSE

دوبعدی را می‌توان با انجام متوالی دو DFT یکبعدی محاسبه کرد:

$$\begin{array}{c} F(u, y) \leftarrow \\ F(u, v) \leftarrow \end{array} \quad \begin{array}{l} \text{محاسبه DFT یکبعدی هر سطر تصویر } f(x, y) \\ \text{محاسبه DFT یکبعدی هر ستون تصویر } F(u, y) \end{array}$$

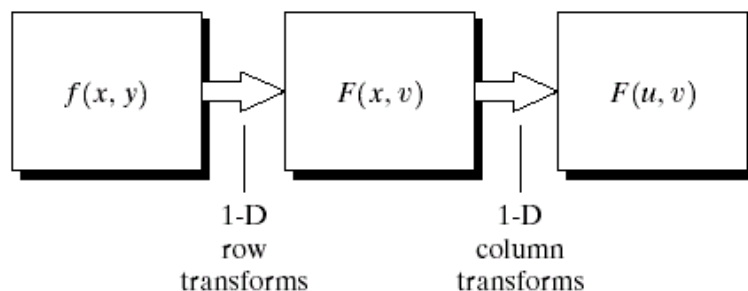


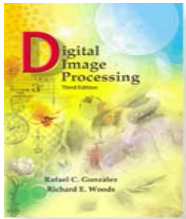
## تبدیل فوریه‌ی گسسته‌ی دو بعدی و وارون آن

خاصیت جداپذیری

### SEPARABILITY

دوبعدی را می‌توان با انجام متوالی دو DFT یکبعدی محاسبه کرد:





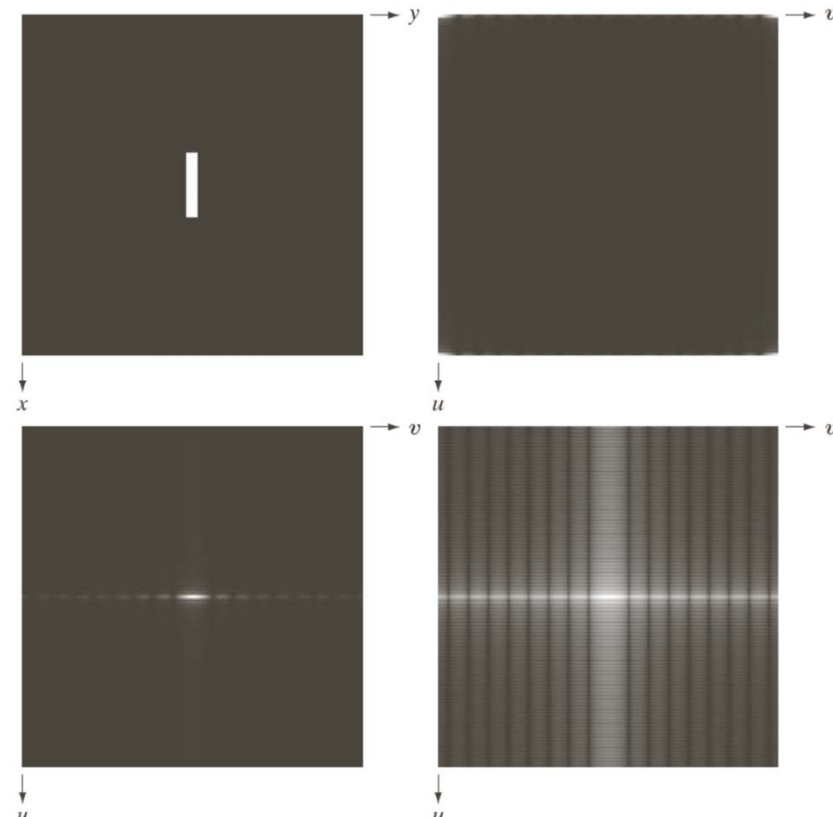
# Digital Image Processing, 3rd ed.

Gonzalez & Woods

[www.ImageProcessingPlace.com](http://www.ImageProcessingPlace.com)

## Chapter 4

### Filtering in the Frequency Domain



a  
b  
c  
d

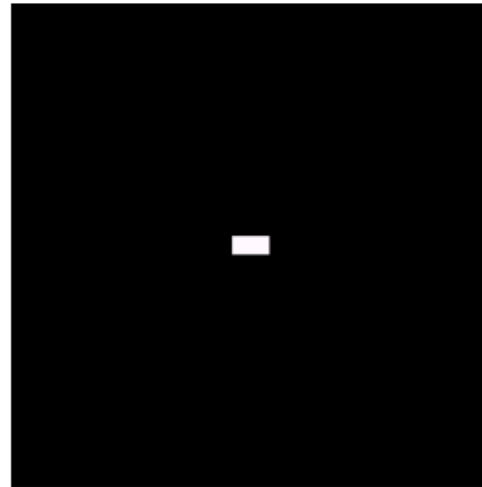
**FIGURE 4.24**

(a) Image.  
(b) Spectrum showing bright spots in the four corners.  
(c) Centered spectrum.  
(d) Result showing increased detail after a log transformation. The zero crossings of the spectrum are closer in the vertical direction because the rectangle in (a) is longer in that direction. The coordinate convention used throughout the book places the origin of the spatial and frequency domains at the top left.

## تبديل فوريه‌ي گستته‌ي دو بعدی و وارون آن

مثال

### THE TWO-DIMENSIONAL DFT AND ITS INVERSE



(۱) تصویر یک مستطیل سفید  $20 \times 40$  پیکسل بر روی یک پس زمینه سیاه با اندازه‌ی  $512 \times 512$  پیکسل

→  $y$

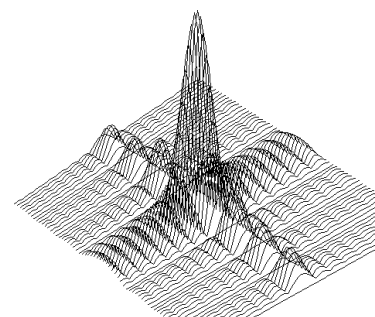
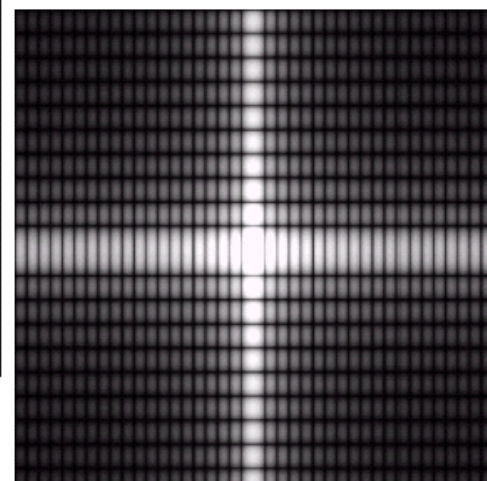
→  $x$

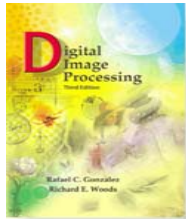
DFT

→  $v$

↓  
→  $u$

طيف فوريه منتقل شده به مركز  
پس از اعمال تبديل لگاريتمي





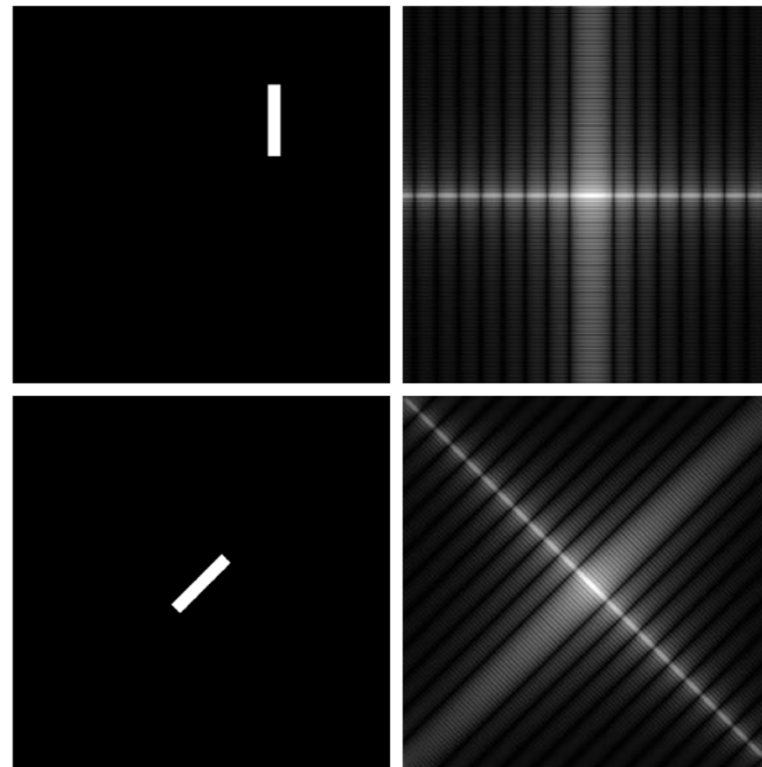
# Digital Image Processing, 3rd ed.

Gonzalez & Woods

[www.ImageProcessingPlace.com](http://www.ImageProcessingPlace.com)

## Chapter 4

### Filtering in the Frequency Domain

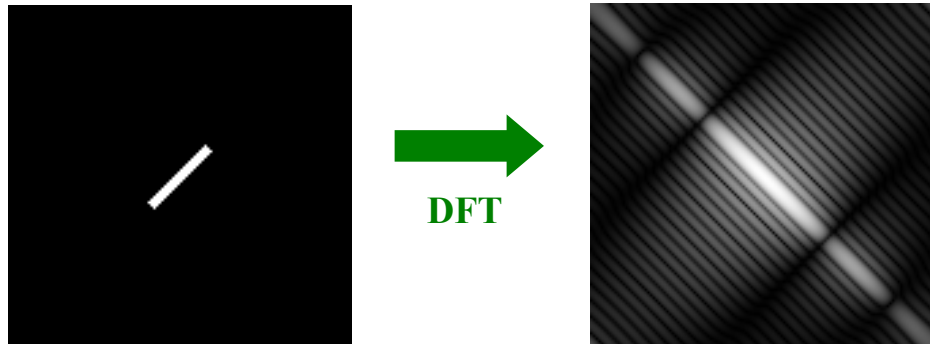
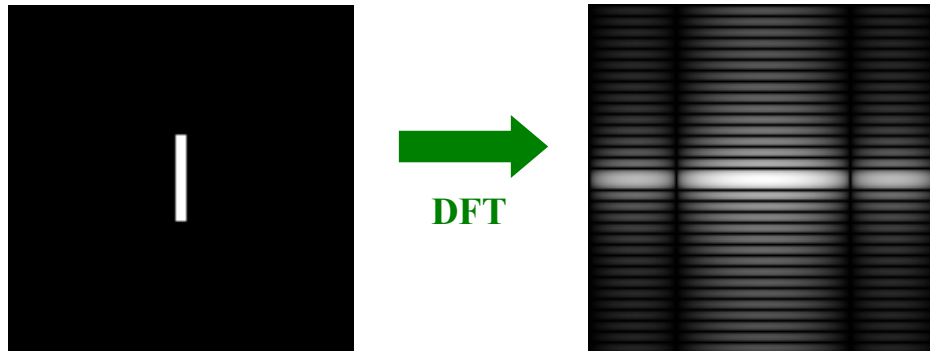


a  
b  
c  
d

**FIGURE 4.25**  
(a) The rectangle in Fig. 4.24(a) translated, and (b) the corresponding spectrum. (c) Rotated rectangle, and (d) the corresponding spectrum. The spectrum corresponding to the translated rectangle is identical to the spectrum corresponding to the original image in Fig. 4.24(a).

## تبدیل فوریه‌ی گسسته‌ی دو بعدی و وارون آن

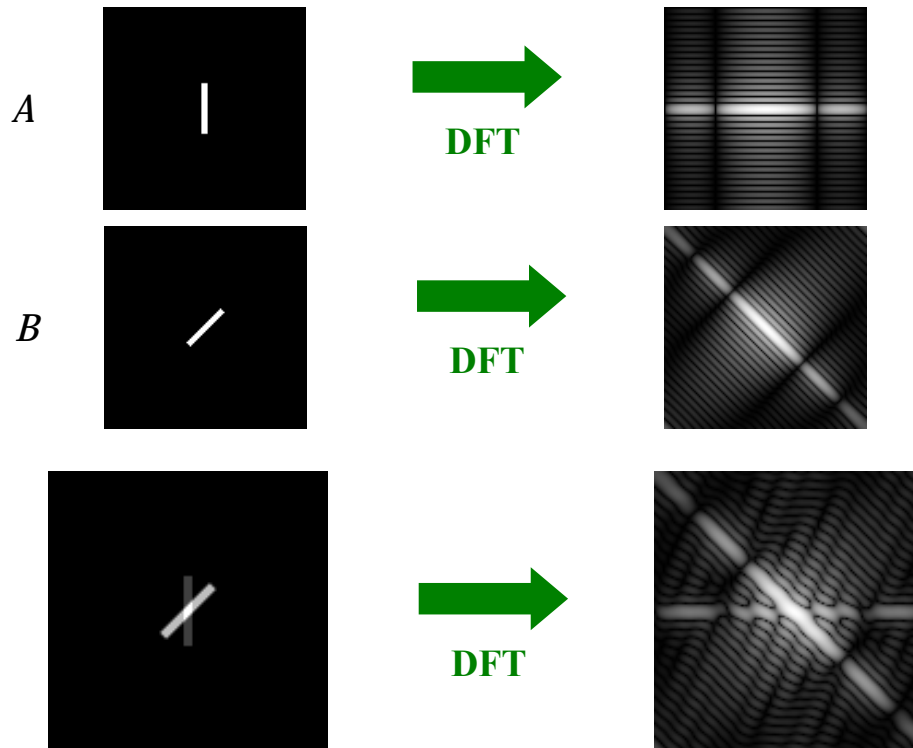
خاصیت دوران در تبدیل فوریه‌ی گسسته‌ی دو بعدی

THE PROPERTY OF TWO-DIMENSIONAL DFT: ROTATION

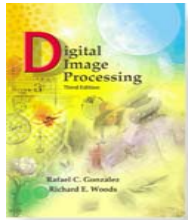
## تبدیل فوریه‌ی گستته‌ی دو بعدی و وارون آن

خاصیت ترکیب خطی در تبدیل فوریه‌ی گستته‌ی دو بعدی

### THE PROPERTY OF TWO-DIMENSIONAL DFT: LINEAR COMBINATION



$$0.25 * A + 0.75 * B$$



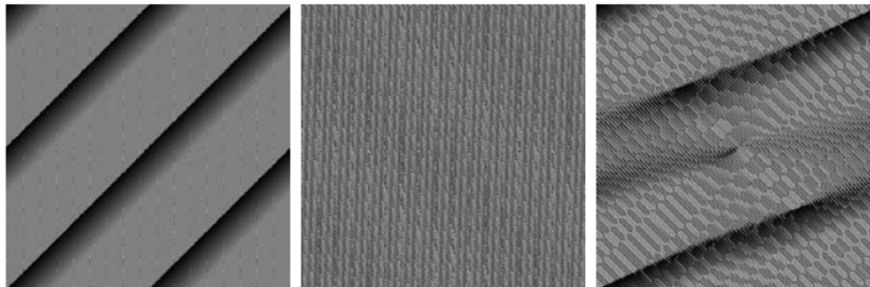
# Digital Image Processing, 3rd ed.

Gonzalez & Woods

[www.ImageProcessingPlace.com](http://www.ImageProcessingPlace.com)

## Chapter 4

### Filtering in the Frequency Domain



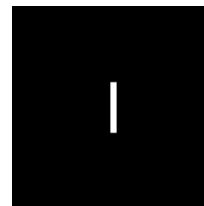
a b c

**FIGURE 4.26** Phase angle array corresponding (a) to the image of the centered rectangle in Fig. 4.24(a), (b) to the translated image in Fig. 4.25(a), and (c) to the rotated image in Fig. 4.25(c).

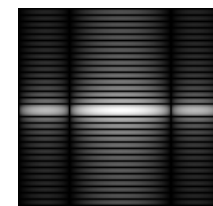
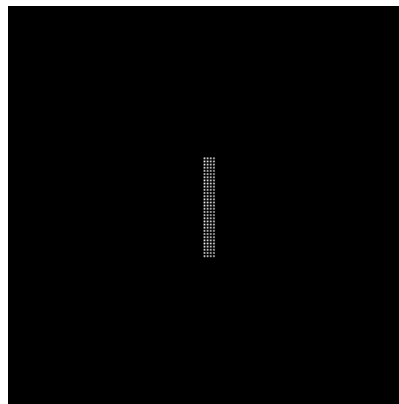
## تبدیل فوریه‌ی گستته‌ی دو بعدی و وارون آن

خاصیت بسط در تبدیل فوریه‌ی گستته‌ی دو بعدی

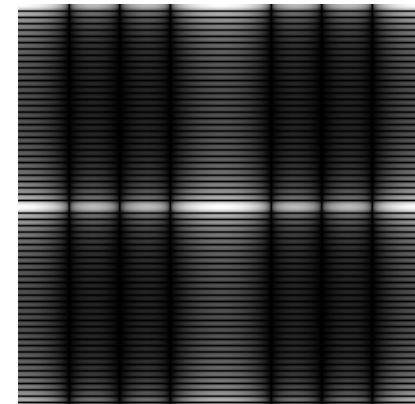
### THE PROPERTY OF TWO-DIMENSIONAL DFT: EXPANSION

*A*

DFT

*B*

DFT



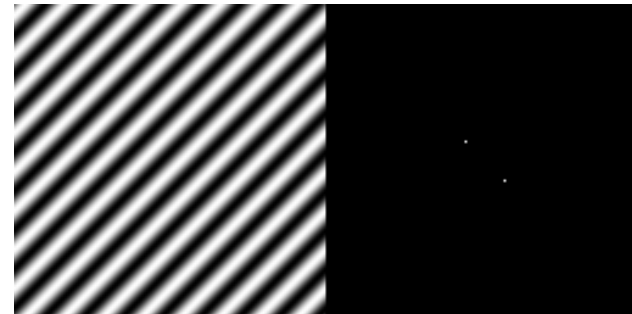
گسترش تصویر اصلی با ضریب  $n$  ( $n = 2$ )  
با پر کردن مقادیر جدید خالی با صفر  
DFT مشابهی را به دست می‌دهد.

## تبدیل فوریه‌ی گسته‌ی دو بعدی و وارون آن

تبدیل فوریه‌ی گسته‌ی دو بعدی برای توابع گوناگون

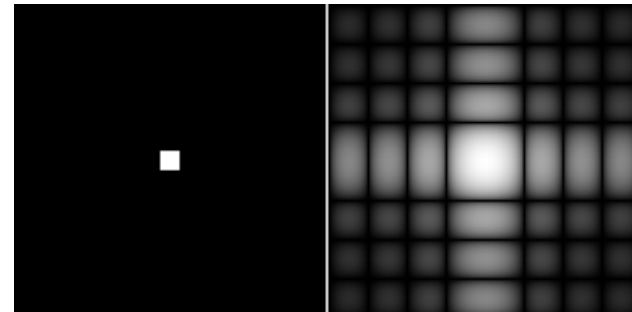
### TWO-DIMENSIONAL DFT WITH DIFFERENT FUNCTIONS

موج سینوسی  
*Sine Wave*



DFT

مستطیل  
*Rectangle*

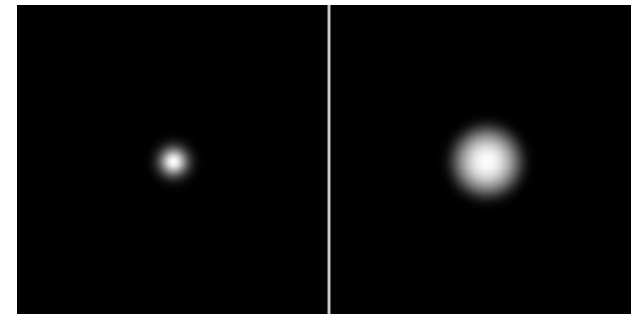


## تبدیل فوریه‌ی گسته‌ی دو بعدی و وارون آن

تبدیل فوریه‌ی گسته‌ی دو بعدی برای توابع گوناگون

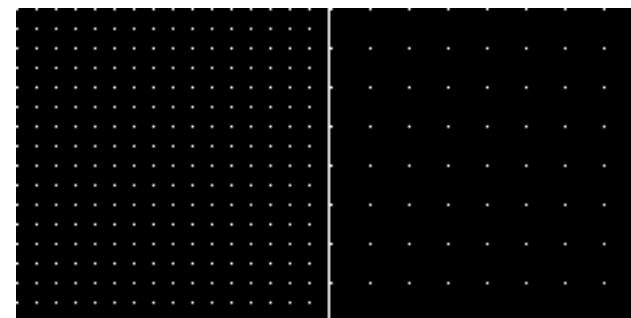
### TWO-DIMENSIONAL DFT WITH DIFFERENT FUNCTIONS

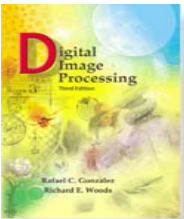
تابع گاووسی دو بعدی  
2D Gaussian



DFT

ضربه‌ها  
Impulses





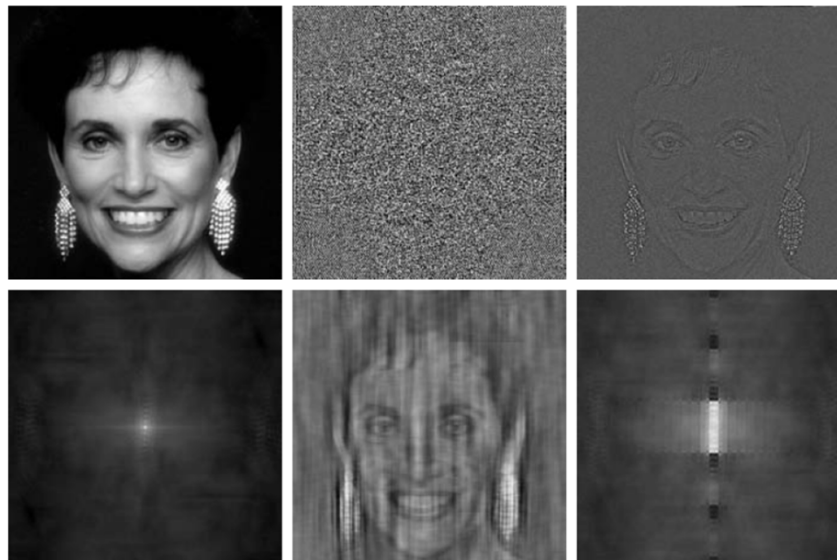
# Digital Image Processing, 3rd ed.

Gonzalez & Woods

[www.ImageProcessingPlace.com](http://www.ImageProcessingPlace.com)

## Chapter 4

### Filtering in the Frequency Domain



a	b	c
d	e	f

**FIGURE 4.27** (a) Woman. (b) Phase angle. (c) Woman reconstructed using only the phase angle. (d) Woman reconstructed using only the spectrum. (e) Reconstruction using the phase angle corresponding to the woman and the spectrum corresponding to the rectangle in Fig. 4.24(a). (f) Reconstruction using the phase of the rectangle and the spectrum of the woman.

## تبدیل فوریه‌ی گسته‌ی دو بعدی و وارون آن

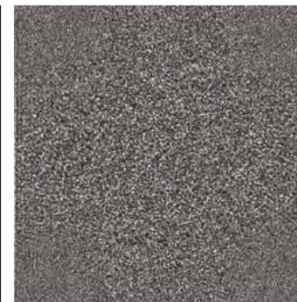
تبدیل فوریه‌ی گسته‌ی دو بعدی برای توابع گوناگون

### TWO-DIMENSIONAL DFT WITH DIFFERENT FUNCTIONS

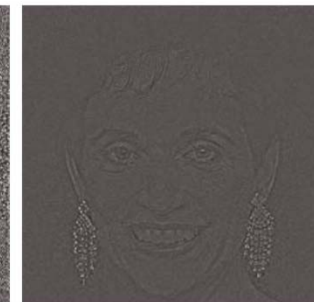
(۱)  
یک تصویر



(۲)  
زاویه‌ی فاز تبدیل فوریه



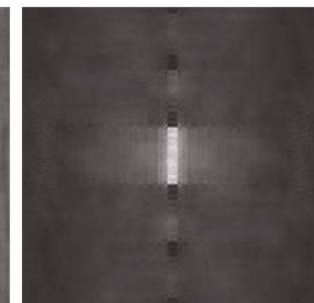
(۳) تصویر بازسازی شده  
فقط با استفاده از زاویه‌ی فاز



(۴) تصویر بازسازی شده  
فقط با استفاده از اندازه طیف



(۵) بازسازی بر اساس  
زاویه‌ی فاز اما طیف مستطیل



(۶) بازسازی بر اساس طیف  
اما زاویه‌ی فاز مستطیل

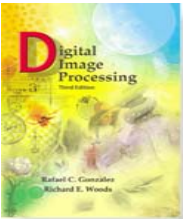
## قضیه‌ی کانولوشن دو بعدی

THE 2-D CONVOLUTION THEOREM

$$f(x, y) \star h(x, y) = \sum_{m=0}^{M-1} \sum_{n=0}^{N-1} f(m, n)h(x - m, y - n)$$

$$x = 0, 1, 2, \dots, M - 1 \quad y = 0, 1, 2, \dots, N - 1.$$

$$f(x, y) \star h(x, y) \Leftrightarrow F(u, v)H(u, v)$$



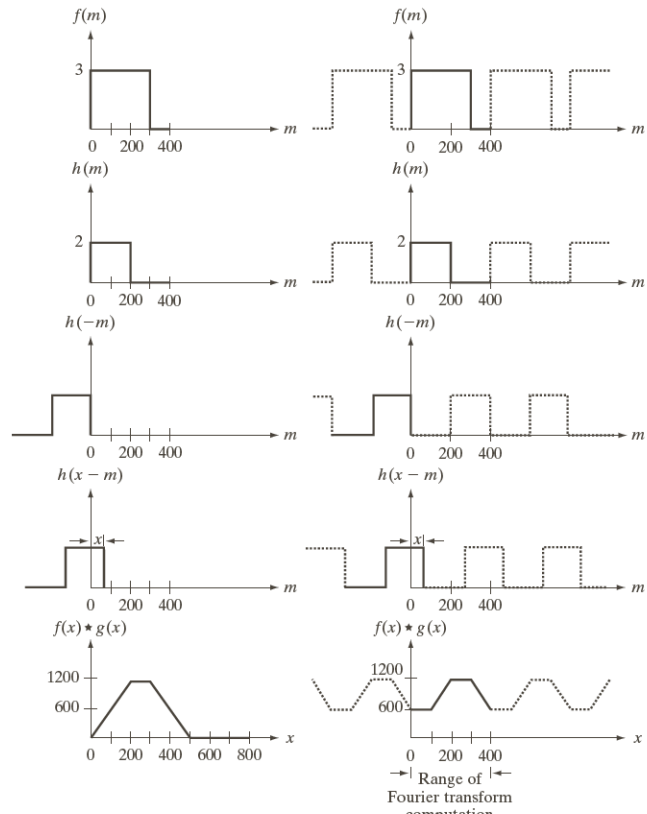
# Digital Image Processing, 3rd ed.

Gonzalez & Woods

[www.ImageProcessingPlace.com](http://www.ImageProcessingPlace.com)

## Chapter 4

### Filtering in the Frequency Domain



a	f
b	g
c	h
d	i
e	j

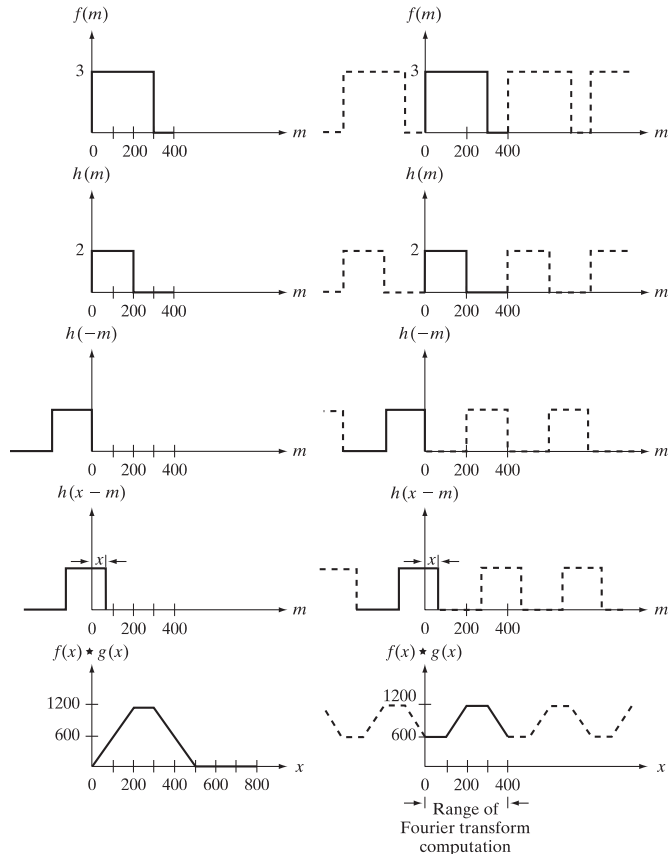
**FIGURE 4.28** Left column: convolution of two discrete functions obtained using the approach discussed in Section 3.4.2. The result in (e) is correct. Right column: Convolution of the same functions, but taking into account the periodicity implied by the DFT. Note in (j) how data from adjacent periods produce wraparound error, yielding an incorrect convolution result. To obtain the correct result, function padding must be used.

# کانولوشن

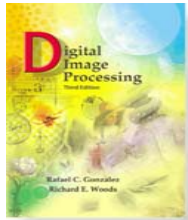
مثال (یکبعدی)

## CONVOLUTION

$$f(x) * h(x) = \frac{1}{M} \sum_{m=0}^{M-1} f(m)h(x-m)$$



Left column:  
convolution of  
two discrete  
functions  
obtained using the  
approach  
discussed in  
Section 3.4.2. The  
result in (e) is  
correct. Right  
column:  
Convolution of  
the same  
functions, but  
taking into  
account the  
periodicity  
implied by the  
DFT. Note in (j)  
how data from  
adjacent periods  
produce  
wraparound error,  
yielding an  
incorrect  
convolution  
result. To obtain  
the correct result,  
function padding  
must be used.



# Digital Image Processing, 3rd ed.

Gonzalez & Woods

[www.ImageProcessingPlace.com](http://www.ImageProcessingPlace.com)

## Chapter 4

### Filtering in the Frequency Domain

Name	Expression(s)
1) Discrete Fourier transform (DFT) of $f(x, y)$	$F(u, v) = \sum_{x=0}^{M-1} \sum_{y=0}^{N-1} f(x, y) e^{-j2\pi(ux/M+vy/N)}$
2) Inverse discrete Fourier transform (IDFT) of $F(u, v)$	$f(x, y) = \frac{1}{MN} \sum_{u=0}^{M-1} \sum_{v=0}^{N-1} F(u, v) e^{j2\pi(ux/M+vy/N)}$
3) Polar representation	$F(u, v) =  F(u, v)  e^{j\phi(u, v)}$
4) Spectrum	$ F(u, v)  = [R^2(u, v) + I^2(u, v)]^{1/2}$ $R = \text{Real}(F); \quad I = \text{Imag}(F)$
5) Phase angle	$\phi(u, v) = \tan^{-1} \left[ \frac{I(u, v)}{R(u, v)} \right]$
6) Power spectrum	$P(u, v) =  F(u, v) ^2$
7) Average value	$\bar{f}(x, y) = \frac{1}{MN} \sum_{x=0}^{M-1} \sum_{y=0}^{N-1} f(x, y) = \frac{1}{MN} F(0, 0)$

**TABLE 4.2**  
Summary of DFT definitions and corresponding expressions.

(Continued)

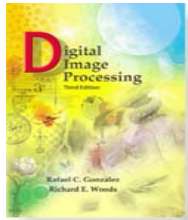
## تبديل فورييه‌ي گستته‌ي دو بعدی

خلاصه‌ي تعریف‌ها و فرمول‌ها (۱ از ۲)

Name	Expression(s)
1) Discrete Fourier transform (DFT) of $f(x, y)$	$F(u, v) = \sum_{x=0}^{M-1} \sum_{y=0}^{N-1} f(x, y) e^{-j2\pi(ux/M+vy/N)}$
2) Inverse discrete Fourier transform (IDFT) of $F(u, v)$	$f(x, y) = \frac{1}{MN} \sum_{u=0}^{M-1} \sum_{v=0}^{N-1} F(u, v) e^{j2\pi(ux/M+vy/N)}$
3) Polar representation	$F(u, v) =  F(u, v)  e^{j\phi(u, v)}$
4) Spectrum	$ F(u, v)  = [R^2(u, v) + I^2(u, v)]^{1/2}$ $R = \text{Real}(F); \quad I = \text{Imag}(F)$
5) Phase angle	$\phi(u, v) = \tan^{-1} \left[ \frac{I(u, v)}{R(u, v)} \right]$
6) Power spectrum	$P(u, v) =  F(u, v) ^2$
7) Average value	$\bar{f}(x, y) = \frac{1}{MN} \sum_{x=0}^{M-1} \sum_{y=0}^{N-1} f(x, y) = \frac{1}{MN} F(0, 0)$

(Continued)





# Digital Image Processing, 3rd ed.

Gonzalez & Woods

www.ImageProcessingPlace.com

## Chapter 4

### Filtering in the Frequency Domain

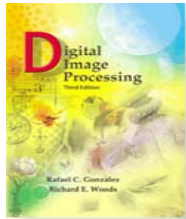
Name	Expression(s)
8) Periodicity ( $k_1$ and $k_2$ are integers)	$F(u, v) = F(u + k_1M, v) = F(u, v + k_2N)$ $= F(u + k_1M, v + k_2N)$ $f(x, y) = f(x + k_1M, y) = f(x, y + k_2N)$ $= f(x + k_1M, y + k_2N)$
9) Convolution	$f(x, y) \star h(x, y) = \sum_{m=0}^{M-1} \sum_{n=0}^{N-1} f(m, n)h(x - m, y - n)$
10) Correlation	$f(x, y) \star h(x, y) = \sum_{m=0}^{M-1} \sum_{n=0}^{N-1} f^*(m, n)h(x + m, y + n)$
11) Separability	The 2-D DFT can be computed by computing 1-D DFT transforms along the rows (columns) of the image, followed by 1-D transforms along the columns (rows) of the result. See Section 4.11.1.
12) Obtaining the inverse Fourier transform using a forward transform algorithm.	$MNf^*(x, y) = \sum_{u=0}^{M-1} \sum_{v=0}^{N-1} F^*(u, v)e^{-j2\pi(ux/M+vy/N)}$ <p>This equation indicates that inputting <math>F^*(u, v)</math> into an algorithm that computes the forward transform (right side of above equation) yields <math>MNf^*(x, y)</math>. Taking the complex conjugate and dividing by <math>MN</math> gives the desired inverse. See Section 4.11.2.</p>

TABLE 4.2  
(Continued)

## تبديل فوريه‌ي گستته‌ي دو بعدی

خلاصه‌ي تعریف‌ها و فرمول‌ها (۲ از ۲)

Name	Expression(s)
8) Periodicity ( $k_1$ and $k_2$ are integers)	$\begin{aligned} F(u, v) &= F(u + k_1M, v) = F(u, v + k_2N) \\ &= F(u + k_1M, v + k_2N) \end{aligned}$ $\begin{aligned} f(x, y) &= f(x + k_1M, y) = f(x, y + k_2N) \\ &= f(x + k_1M, y + k_2N) \end{aligned}$
9) Convolution	$f(x, y) \star h(x, y) = \sum_{m=0}^{M-1} \sum_{n=0}^{N-1} f(m, n)h(x - m, y - n)$
10) Correlation	$f(x, y) \star h(x, y) = \sum_{m=0}^{M-1} \sum_{n=0}^{N-1} f^*(m, n)h(x + m, y + n)$
11) Separability	The 2-D DFT can be computed by computing 1-D DFT transforms along the rows (columns) of the image, followed by 1-D transforms along the columns (rows) of the result. See Section 4.11.1.
12) Obtaining the inverse Fourier transform using a forward transform algorithm.	$MNf^*(x, y) = \sum_{u=0}^{M-1} \sum_{v=0}^{N-1} F^*(u, v)e^{-j2\pi(ux/M+vy/N)}$ <p>This equation indicates that inputting <math>F^*(u, v)</math> into an algorithm that computes the forward transform (right side of above equation) yields <math>MNf^*(x, y)</math>. Taking the complex conjugate and dividing by <math>MN</math> gives the desired inverse. See Section 4.11.2.</p>



# Digital Image Processing, 3rd ed.

Gonzalez & Woods

[www.ImageProcessingPlace.com](http://www.ImageProcessingPlace.com)

## Chapter 4

### Filtering in the Frequency Domain

Name	DFT Pairs
1) Symmetry properties	See Table 4.1
2) Linearity	$af_1(x, y) + bf_2(x, y) \Leftrightarrow aF_1(u, v) + bF_2(u, v)$
3) Translation (general)	$f(x, y)e^{j2\pi(u_0x/M+v_0y/N)} \Leftrightarrow F(u - u_0, v - v_0)$ $f(x - x_0, y - y_0) \Leftrightarrow F(u, v)e^{-j2\pi(ux_0/M+vy_0/N)}$
4) Translation to center of the frequency rectangle, $(M/2, N/2)$	$f(x, y)(-1)^{x+y} \Leftrightarrow F(u - M/2, v - N/2)$ $f(x - M/2, y - N/2) \Leftrightarrow F(u, v)(-1)^{u+v}$
5) Rotation	$f(r, \theta + \theta_0) \Leftrightarrow F(\omega, \varphi + \theta_0)$ $x = r \cos \theta \quad y = r \sin \theta \quad u = \omega \cos \varphi \quad v = \omega \sin \varphi$
6) Convolution theorem <sup>†</sup>	$f(x, y) \star h(x, y) \Leftrightarrow F(u, v)H(u, v)$ $f(x, y)h(x, y) \Leftrightarrow F(u, v) \star H(u, v)$

**TABLE 4.3**

Summary of DFT pairs. The closed-form expressions in 12 and 13 are valid only for continuous variables. They can be used with discrete variables by sampling the closed-form, continuous expressions.

(Continued)

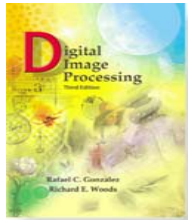
## تبديل فوريه‌ي گستته‌ي دو بعدی

خلاصه‌ي جفت‌های DFT (۱ از ۲)

Name	DFT Pairs
1) Symmetry properties	See Table 4.1
2) Linearity	$af_1(x, y) + bf_2(x, y) \Leftrightarrow aF_1(u, v) + bF_2(u, v)$
3) Translation (general)	$f(x, y)e^{j2\pi(u_0x/M+v_0y/N)} \Leftrightarrow F(u - u_0, v - v_0)$ $f(x - x_0, y - y_0) \Leftrightarrow F(u, v)e^{-j2\pi(ux_0/M+vy_0/N)}$
4) Translation to center of the frequency rectangle, $(M/2, N/2)$	$f(x, y)(-1)^{x+y} \Leftrightarrow F(u - M/2, v - N/2)$ $f(x - M/2, y - N/2) \Leftrightarrow F(u, v)(-1)^{u+v}$
5) Rotation	$f(r, \theta + \theta_0) \Leftrightarrow F(\omega, \varphi + \theta_0)$ $x = r \cos \theta \quad y = r \sin \theta \quad u = \omega \cos \varphi \quad v = \omega \sin \varphi$
6) Convolution theorem <sup>†</sup>	$f(x, y) \star h(x, y) \Leftrightarrow F(u, v)H(u, v)$ $f(x, y)h(x, y) \Leftrightarrow F(u, v) \star H(u, v)$

(Continued)





# Digital Image Processing, 3rd ed.

Gonzalez & Woods

www.ImageProcessingPlace.com

## Chapter 4

### Filtering in the Frequency Domain

Name	DFT Pairs
7) Correlation theorem <sup>†</sup>	$f(x, y) \star h(x, y) \Leftrightarrow F^*(u, v) H(u, v)$ $\hat{f}^*(x, y) h(x, y) \Leftrightarrow F(u, v) \star H(u, v)$
8) Discrete unit impulse	$\delta(x, y) \Leftrightarrow 1$
9) Rectangle	$\text{rect}[a, b] \Leftrightarrow ab \frac{\sin(\pi ua)}{(\pi ua)} \frac{\sin(\pi vb)}{(\pi vb)} e^{-j\pi(ua+vb)}$
10) Sine	$\sin(2\pi u_0 x + 2\pi v_0 y) \Leftrightarrow$ $j \frac{1}{2} [\delta(u + Mu_0, v + Nv_0) - \delta(u - Mu_0, v - Nv_0)]$
11) Cosine	$\cos(2\pi u_0 x + 2\pi v_0 y) \Leftrightarrow$ $\frac{1}{2} [\delta(u + Mu_0, v + Nv_0) + \delta(u - Mu_0, v - Nv_0)]$
12) Differentiation (The expressions on the right assume that $f(\pm\infty, \pm\infty) = 0$ )	$\left( \frac{\partial}{\partial t} \right)^m \left( \frac{\partial}{\partial z} \right)^n f(t, z) \Leftrightarrow (j2\pi\mu)^m (j2\pi\nu)^n F(\mu, \nu)$ $\frac{\partial^m f(t, z)}{\partial t^m} \Leftrightarrow (j2\pi\mu)^m F(\mu, \nu); \frac{\partial^n f(t, z)}{\partial z^n} \Leftrightarrow (j2\pi\nu)^n F(\mu, \nu)$
13) Gaussian	$A 2\pi\sigma^2 e^{-2\pi^2\sigma^2(t^2+z^2)} \Leftrightarrow A e^{-(\mu^2+\nu^2)/2\sigma^2}$ ( $A$ is a constant)

TABLE 4.3  
(Continued)

The following Fourier transform pairs are derivable only for continuous variables, denoted as before by  $t$  and  $z$  for spatial variables and by  $\mu$  and  $\nu$  for frequency variables. These results can be used for DFT work by sampling the continuous forms.

12) Differentiation  
(The expressions  
on the right  
assume that  
 $f(\pm\infty, \pm\infty) = 0$ )

$$\left( \frac{\partial}{\partial t} \right)^m \left( \frac{\partial}{\partial z} \right)^n f(t, z) \Leftrightarrow (j2\pi\mu)^m (j2\pi\nu)^n F(\mu, \nu)$$
$$\frac{\partial^m f(t, z)}{\partial t^m} \Leftrightarrow (j2\pi\mu)^m F(\mu, \nu); \frac{\partial^n f(t, z)}{\partial z^n} \Leftrightarrow (j2\pi\nu)^n F(\mu, \nu)$$

13) Gaussian

$$A 2\pi\sigma^2 e^{-2\pi^2\sigma^2(t^2+z^2)} \Leftrightarrow A e^{-(\mu^2+\nu^2)/2\sigma^2}$$
 ( $A$  is a constant)

<sup>†</sup> Assumes that the functions have been extended by zero padding. Convolution and correlation are associative, commutative, and distributive.

## تبديل فوريه‌ي گستته‌ي دو بعدی

## خلاصه‌ي جفت‌های DFT (۲ از ۲)

Name	DFT Pairs
7) Correlation theorem <sup>†</sup>	$f(x, y) \star h(x, y) \Leftrightarrow F^*(u, v) H(u, v)$ $f^*(x, y) h(x, y) \Leftrightarrow F(u, v) \star H(u, v)$
8) Discrete unit impulse	$\delta(x, y) \Leftrightarrow 1$
9) Rectangle	$\text{rect}[a, b] \Leftrightarrow ab \frac{\sin(\pi ua)}{(\pi ua)} \frac{\sin(\pi vb)}{(\pi vb)} e^{-j\pi(ua+vb)}$
10) Sine	$\sin(2\pi u_0 x + 2\pi v_0 y) \Leftrightarrow$ $j \frac{1}{2} [\delta(u + Mu_0, v + Nv_0) - \delta(u - Mu_0, v - Nv_0)]$
11) Cosine	$\cos(2\pi u_0 x + 2\pi v_0 y) \Leftrightarrow$ $\frac{1}{2} [\delta(u + Mu_0, v + Nv_0) + \delta(u - Mu_0, v - Nv_0)]$
The following Fourier transform pairs are derivable only for continuous variables, denoted as before by $t$ and $z$ for spatial variables and by $\mu$ and $\nu$ for frequency variables. These results can be used for DFT work by sampling the continuous forms.	
12) Differentiation (The expressions on the right assume that $f(\pm\infty, \pm\infty) = 0$ )	$\left( \frac{\partial}{\partial t} \right)^m \left( \frac{\partial}{\partial z} \right)^n f(t, z) \Leftrightarrow (j2\pi\mu)^m (j2\pi\nu)^n F(\mu, \nu)$ $\frac{\partial^m f(t, z)}{\partial t^m} \Leftrightarrow (j2\pi\mu)^m F(\mu, \nu); \frac{\partial^n f(t, z)}{\partial z^n} \Leftrightarrow (j2\pi\nu)^n F(\mu, \nu)$
13) Gaussian	$A 2\pi\sigma^2 e^{-2\pi^2\sigma^2(t^2+z^2)} \Leftrightarrow A e^{-(\mu^2+\nu^2)/2\sigma^2}$ ( $A$ is a constant)

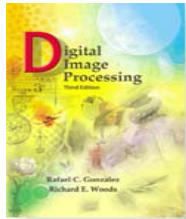
<sup>†</sup> Assumes that the functions have been extended by zero padding. Convolution and correlation are associative, commutative, and distributive.



فیلتر کردن در حوزه‌ی فرکانس

۷

پایه‌های  
فیلتر کردن  
در  
حوزه‌ی  
فرکانس



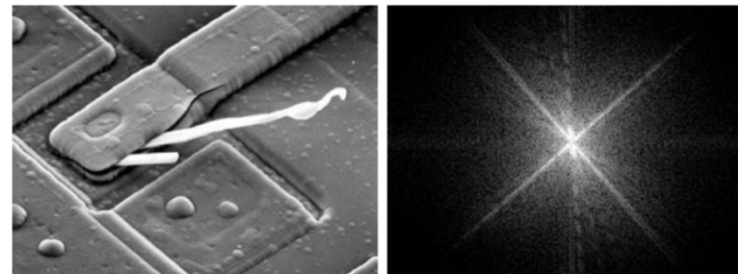
# Digital Image Processing, 3rd ed.

Gonzalez & Woods

[www.ImageProcessingPlace.com](http://www.ImageProcessingPlace.com)

## Chapter 4

### Filtering in the Frequency Domain



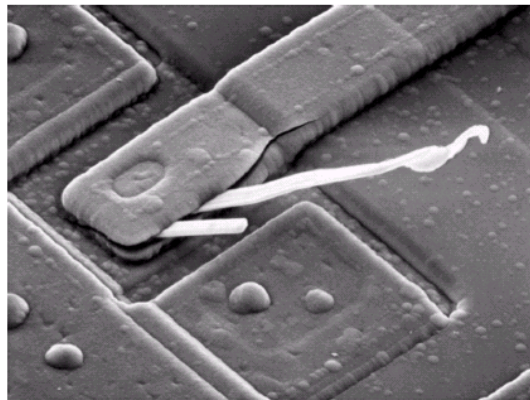
a b

**FIGURE 4.29** (a) SEM image of a damaged integrated circuit. (b) Fourier spectrum of (a). (Original image courtesy of Dr. J. M. Hudak, Brockhouse Institute for Materials Research, McMaster University, Hamilton, Ontario, Canada.)

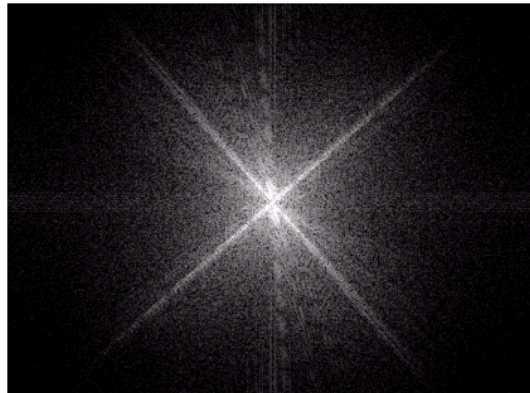
## فیلتر کردن در حوزه‌ی فرکانس

FILTERING IN THE FREQUENCY DOMAIN

(۱) یک تصویر



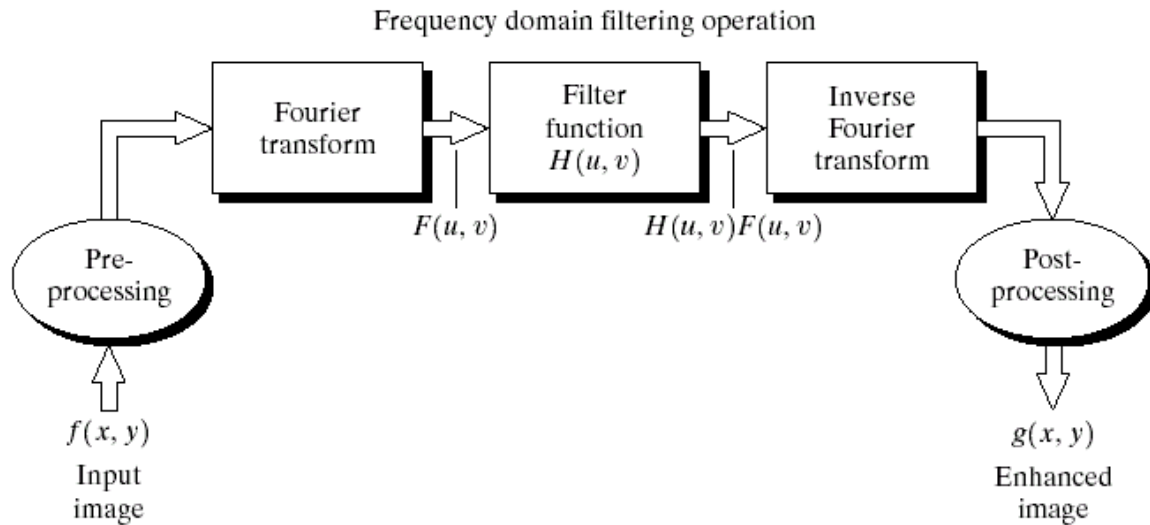
(۲) طیف فوریه



## پایه‌های فیلتر کردن در حوزه‌ی فرکانس

گام‌های پایه برای فیلتر کردن در حوزه‌ی فرکانس

### BASICS OF FILTERING IN THE FREQUENCY DOMAIN



## پایه‌های فیلتر کردن در حوزه‌ی فرکانس

برخی فیلترهای پایه و توابع آنها

### SOME BASIC FILTERS AND THEIR FUNCTIONS

فیلتر سوراخ‌کننده

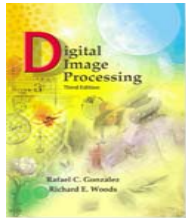
*Notch Filter*

فیلتر پایین‌گذار

*Lowpass Filter*

فیلتر بالاگذار

*Highpass Filter*



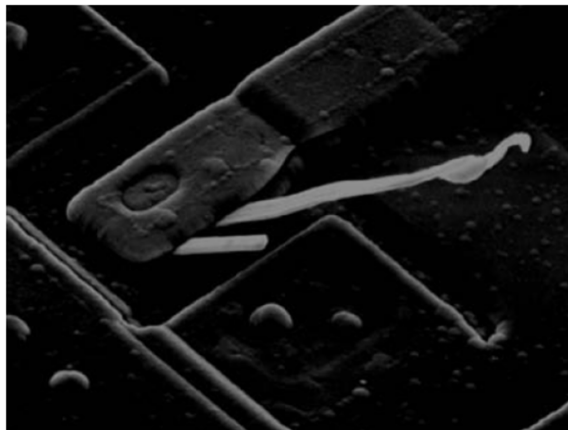
# Digital Image Processing, 3rd ed.

Gonzalez & Woods

[www.ImageProcessingPlace.com](http://www.ImageProcessingPlace.com)

## Chapter 4

### Filtering in the Frequency Domain



**FIGURE 4.30**  
Result of filtering  
the image in  
Fig. 4.29(a) by  
setting to 0 the  
term  $\hat{F}(M/2, N/2)$   
in the Fourier  
transform.

## فیلتر سوراخ‌کننده

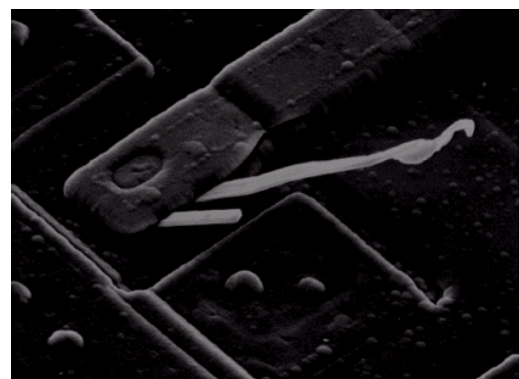
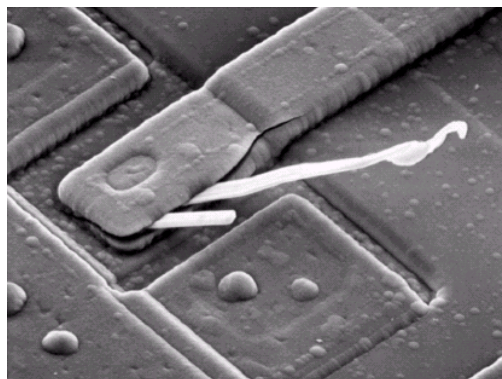
### فیلتر ناچ

#### NOTCH FILTER

همهی مقادیر  $F(u,v)$  در فیلتر (فیلتر ناچ) ضرب می‌شوند:

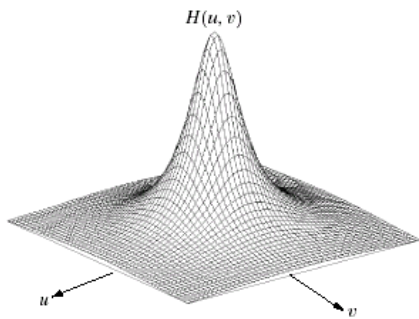
$$H(u,v) = \begin{cases} 0 & \text{if } (u,v) = (M/2, N/2) \\ 1 & \text{otherwise.} \end{cases}$$

همهی کاری که این فیلتر انجام می‌دهد، صفر کردن مؤلفه‌ی فرکانسی مرکزی است  
 (که منجر به صفر شدن مقدار متوسط تصویر می‌شود)  
 و سایر مؤلفه‌های فرکانسی تبدیل فوریه، دست‌نخورده می‌ماند.

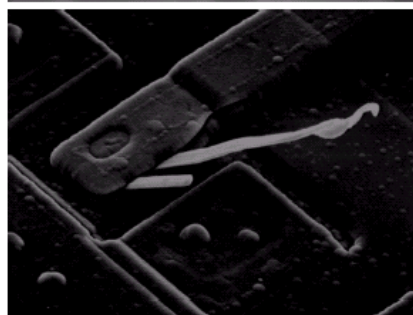
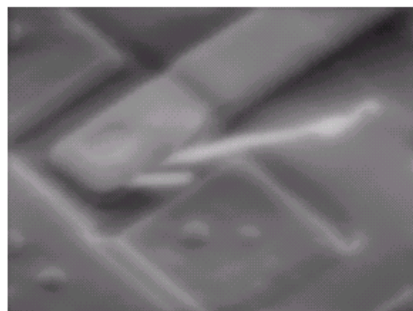
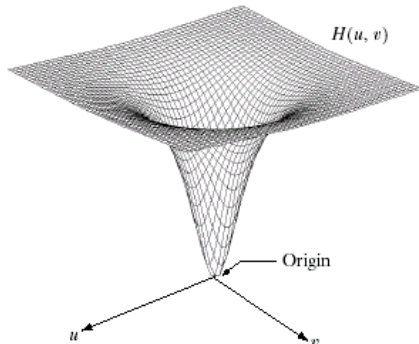


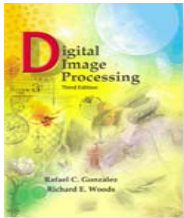
## فیلترهای پایین‌گذر و بالاگذر

فیلتر پایین‌گذر  
Lowpass Filter



فیلتر بالاگذر  
Highpass Filter





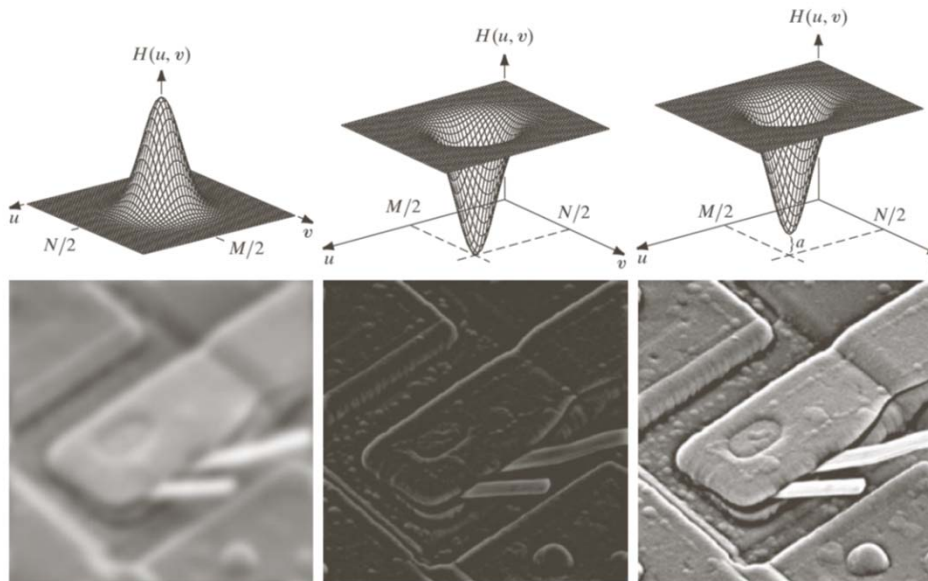
# Digital Image Processing, 3rd ed.

Gonzalez & Woods

[www.ImageProcessingPlace.com](http://www.ImageProcessingPlace.com)

## Chapter 4

### Filtering in the Frequency Domain

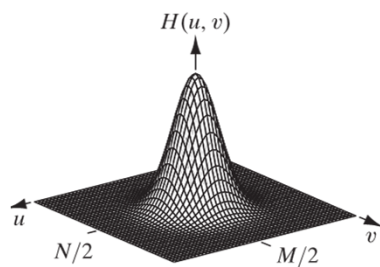


**FIGURE 4.31** Top row: frequency domain filters. Bottom row: corresponding filtered images obtained using Eq. (4.7-1). We used  $a = 0.85$  in (c) to obtain (f) (the height of the filter itself is 1). Compare (f) with Fig. 4.29(a).

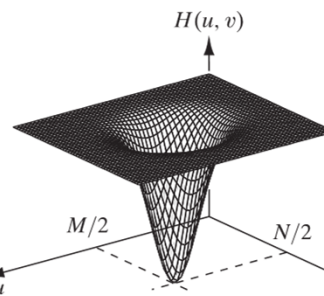
## فیلترهای پایین‌گذر و بالاگذر

مثال

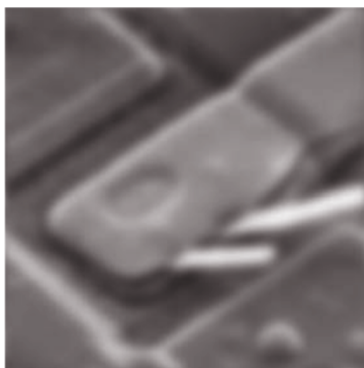
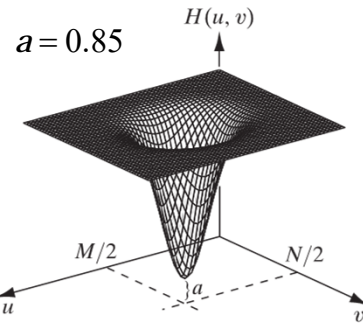
فیلتر پایین‌گذر  
Lowpass Filter

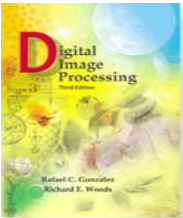


فیلتر بالاگذر  
Highpass Filter



فیلتر بالاگذر  
Highpass Filter





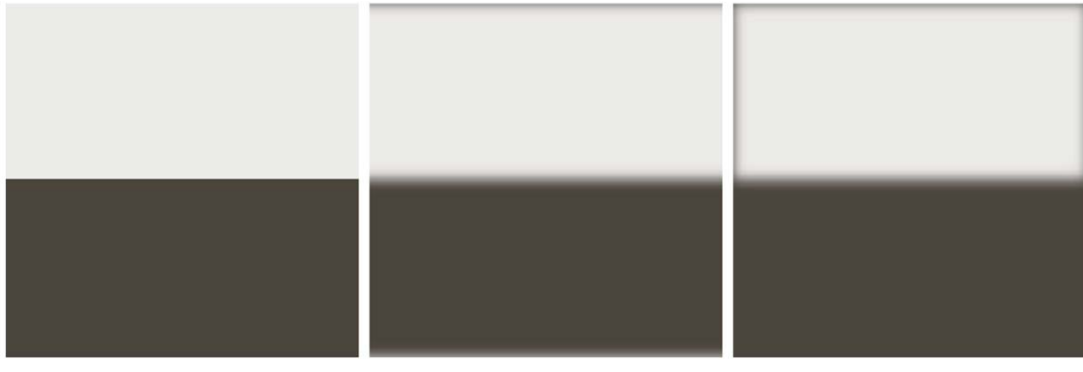
# Digital Image Processing, 3rd ed.

Gonzalez & Woods

[www.ImageProcessingPlace.com](http://www.ImageProcessingPlace.com)

## Chapter 4

### Filtering in the Frequency Domain



a b c

**FIGURE 4.32** (a) A simple image. (b) Result of blurring with a Gaussian lowpass filter without padding. (c) Result of lowpass filtering with padding. Compare the light area of the vertical edges in (b) and (c).

## فیلتر های پایین گذر گاوی

مثال



۱) یک تصویر ساده

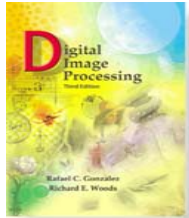


۲) حاصل بلار کردن  
با یک فیلتر پایین گذر گاوی  
بدون پدینگ



۳) حاصل بلار کردن  
با یک فیلتر پایین گذر گاوی  
با پدینگ

تفاوت در ناحیه‌ی روشن لبه‌های عمودی



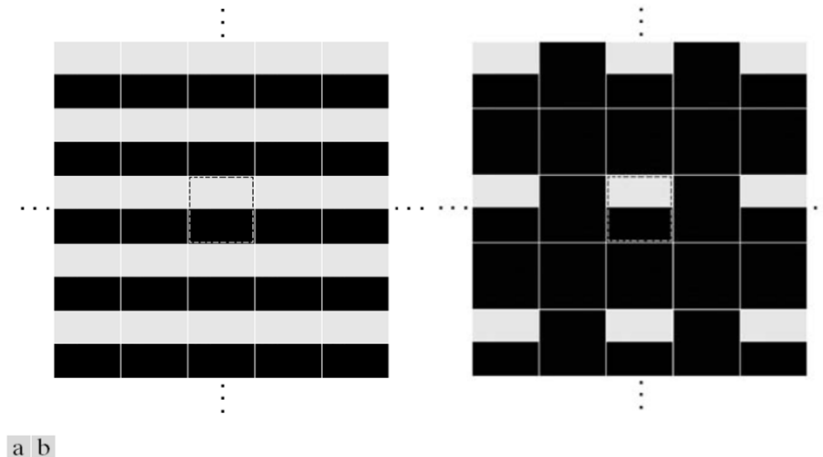
# Digital Image Processing, 3rd ed.

Gonzalez & Woods

[www.ImageProcessingPlace.com](http://www.ImageProcessingPlace.com)

## Chapter 4

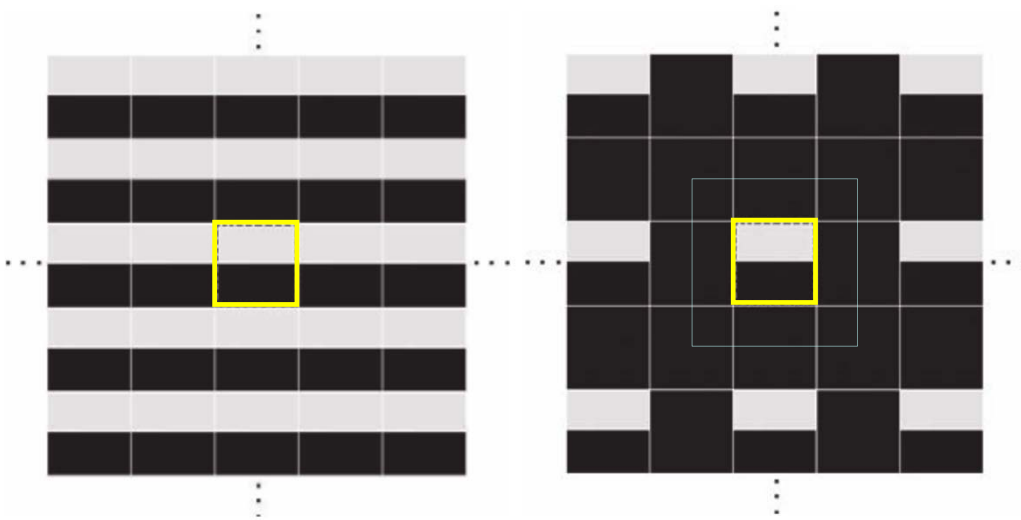
### Filtering in the Frequency Domain



**FIGURE 4.33** 2-D image periodicity inherent in using the DFT. (a) Periodicity without image padding. (b) Periodicity after padding with 0s (black). The dashed areas in the center correspond to the image in Fig. 4.32(a). (The thin white lines in both images are superimposed for clarity; they are not part of the data.)

## تناوب دو بعدی تصویر در تبدیل فوریه

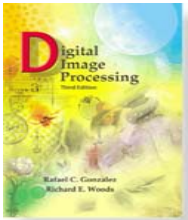
مثال



۱) متناوب بودن  
بدون پدینگ تصویر

۲) متناوب بودن  
پس از پدینگ تصویر با صفرها (سیاه)

تصویر اصلی، چهارگوش زرد رنگ در مرکز است.  
خطوط سفید نازک در هر دو تصویر، برای وضوح بیشتر رسم شده‌اند و جزء تصویر نیستند.



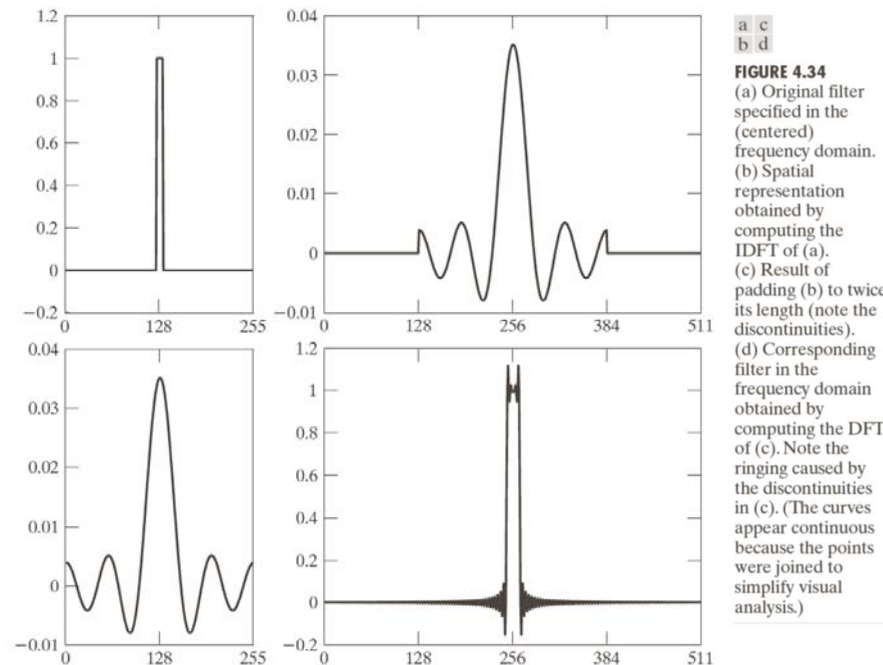
# Digital Image Processing, 3rd ed.

Gonzalez & Woods

[www.ImageProcessingPlace.com](http://www.ImageProcessingPlace.com)

## Chapter 4

### Filtering in the Frequency Domain

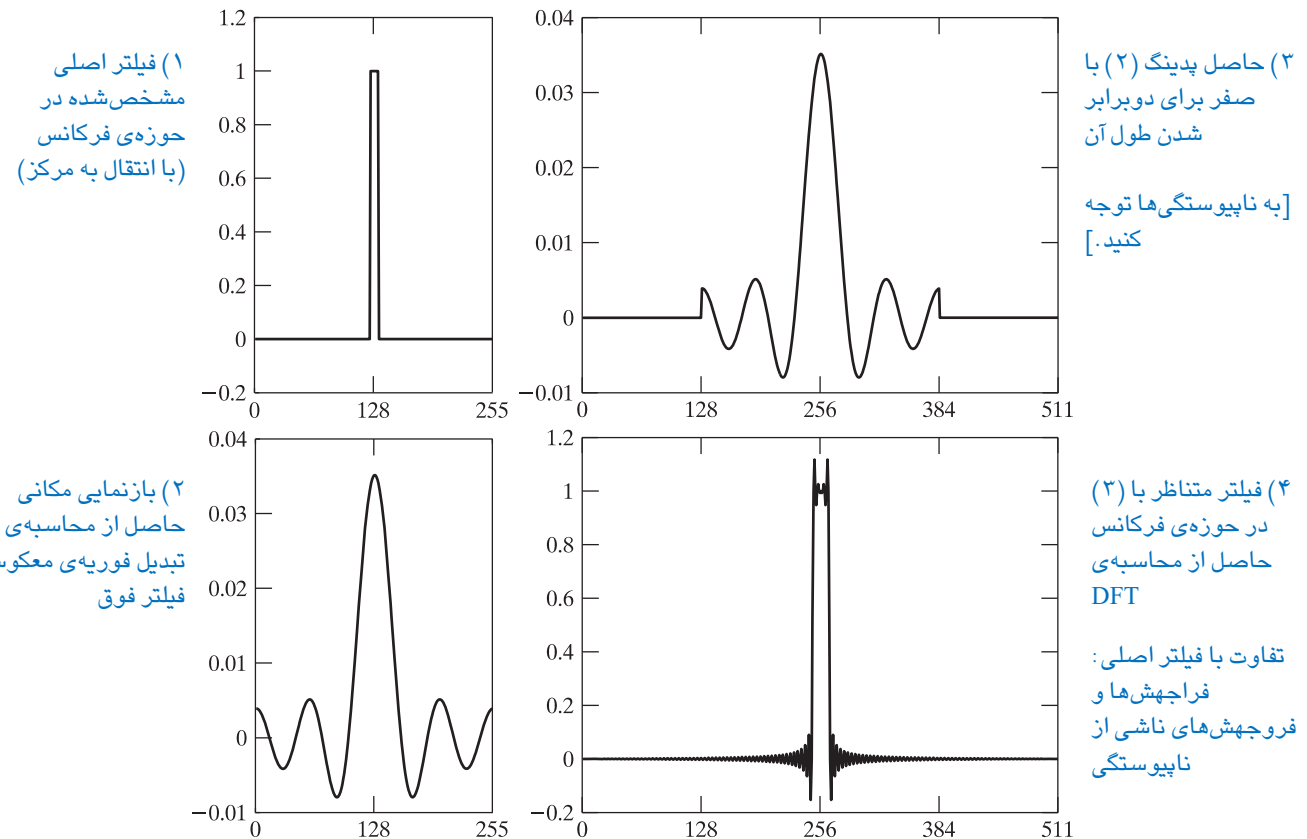


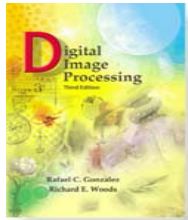
**FIGURE 4.34**

(a) Original filter specified in the (centered) frequency domain.  
(b) Spatial representation obtained by computing the IDFT of (a).  
(c) Result of padding (b) to twice its length (note the discontinuities).  
(d) Corresponding filter in the frequency domain obtained by computing the DFT of (c). Note the ringing caused by the discontinuities in (c). (The curves appear continuous because the points were joined to simplify visual analysis.)

## پدینگ در حوزه‌ی فرکانس

مشکل انجام پدینگ در حوزه‌ی فرکانس و اثر آن روی حوزه‌ی مکان





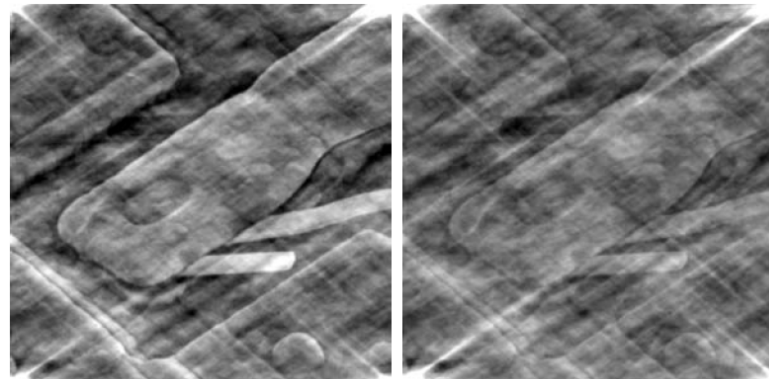
# Digital Image Processing, 3rd ed.

Gonzalez & Woods

[www.ImageProcessingPlace.com](http://www.ImageProcessingPlace.com)

## Chapter 4

### Filtering in the Frequency Domain



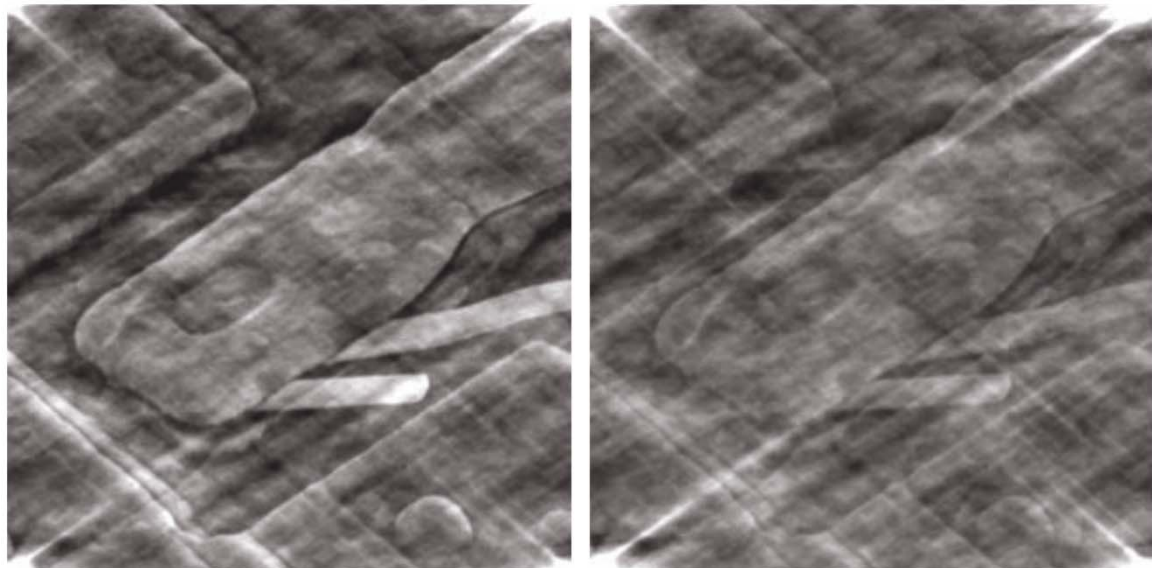
a b

**FIGURE 4.35**

(a) Image resulting from multiplying by 0.5 the phase angle in Eq. (4.6-15) and then computing the IDFT. (b) The result of multiplying the phase by 0.25. The spectrum was not changed in either of the two cases.

## اثرات تغییر در فاز تبدیل فوریه

تغییرات اندک روی فاز می‌تواند اثرات شدیدی روی خروجی فیلتر شده ایجاد کند



۱) تصویر حاصل از ضرب ۰.۵ در زاویه‌ی فاز و سپس محاسبه‌ی تبدیل فوریه‌ی معکوس

$$F(u, v) = |F(u, v)|e^{j\phi(u, v)}$$

۲) تصویر حاصل از ضرب ۰.۲۵ در زاویه‌ی فاز و سپس محاسبه‌ی تبدیل فوریه‌ی معکوس  
(در هر دو تصویر طیف اندازه بدون تغییر مانده است)

## فیلتر کردن در حوزه‌ی فرکانس

### خلاصه‌ی گام‌ها

1. Given an input image  $f(x, y)$  of size  $M \times N$ , obtain the padding parameters  $P$  and  $Q$  from Eqs. (4.6-31) and (4.6-32). Typically, we select  $P = 2M$  and  $Q = 2N$ .
2. Form a padded image,  $f_p(x, y)$ , of size  $P \times Q$  by appending the necessary number of zeros to  $f(x, y)$ .
3. Multiply  $f_p(x, y)$  by  $(-1)^{x+y}$  to center its transform.
4. Compute the DFT,  $F(u, v)$ , of the image from step 3.
5. Generate a real, symmetric filter function,  $H(u, v)$ , of size  $P \times Q$  with center at coordinates  $(P/2, Q/2)$ .<sup>†</sup> Form the product  $G(u, v) = H(u, v)F(u, v)$  using array multiplication; that is,  $G(i, k) = H(i, k)F(i, k)$ .
6. Obtain the processed image:

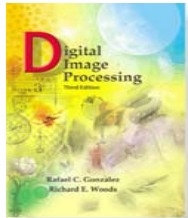
$$g_p(x, y) = \left\{ \operatorname{real} \left[ \mathfrak{F}^{-1}[G(u, v)] \right] \right\} (-1)^{x+y}$$

As noted earlier, centering helps in visualizing the filtering process and in generating the filter functions themselves, but centering is not a fundamental requirement.

where the real part is selected in order to ignore parasitic complex components resulting from computational inaccuracies, and the subscript  $p$  indicates that we are dealing with padded arrays.

7. Obtain the final processed result,  $g(x, y)$ , by extracting the  $M \times N$  region from the top, left quadrant of  $g_p(x, y)$ .





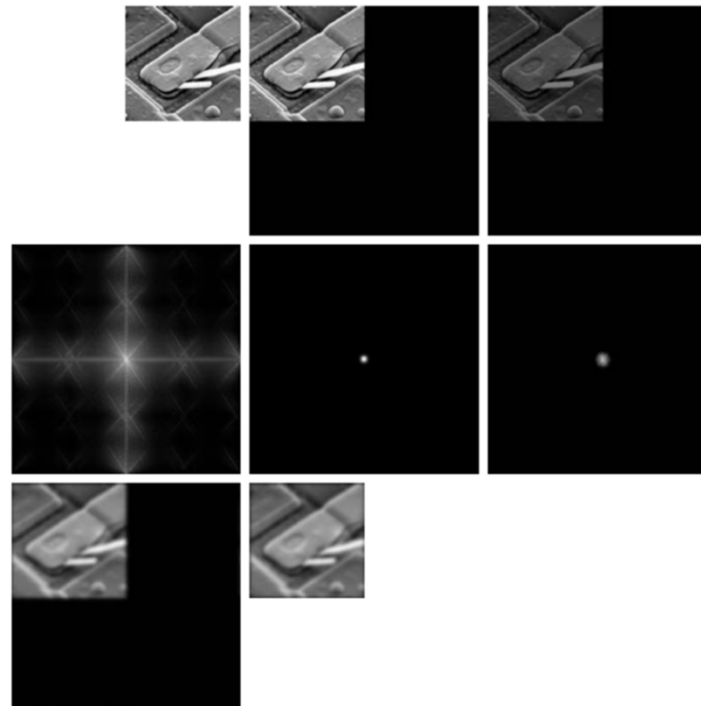
# Digital Image Processing, 3rd ed.

Gonzalez & Woods

[www.ImageProcessingPlace.com](http://www.ImageProcessingPlace.com)

## Chapter 4

### Filtering in the Frequency Domain



a b c  
d e f  
g h

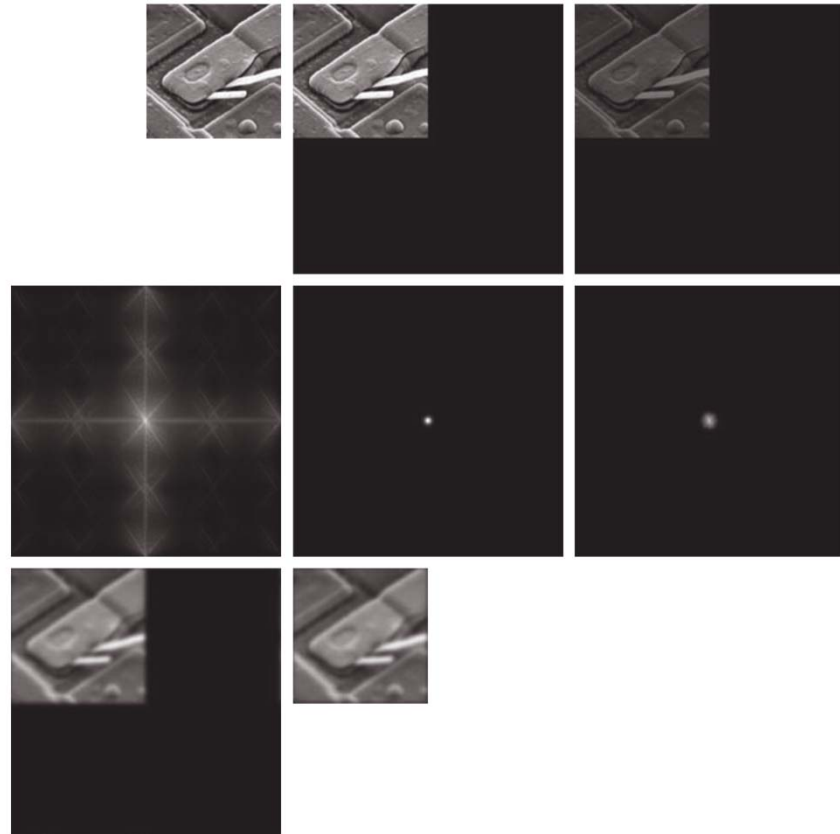
**FIGURE 4.36**  
(a) An  $M \times N$  image,  $f$ .  
(b) Padded image,  $f_p$  of size  $P \times Q$ .  
(c) Result of multiplying  $f_p$  by  $(-1)^{x+y}$ .  
(d) Spectrum of  $F_p$ . (e) Centered Gaussian lowpass filter,  $H$ , of size  $P \times Q$ .  
(f) Spectrum of the product  $HF_p$ .  
(g)  $g_p$ , the product of  $(-1)^{x+y}$  and the real part of the IDFT of  $HF_p$ .  
(h) Final result,  $g$ , obtained by cropping the first  $M$  rows and  $N$  columns of  $g_p$ .

## فیلتر کردن در حوزه‌ی فرکانس

مثال

a	b	c
d	e	f
g	h	

- (a) An  $M \times N$  image,  $f$ .  
 (b) Padded image,  $f_p$  of size  $P \times Q$ .  
 (c) Result of multiplying  $f_p$  by  $(-1)^{x+y}$ .  
 (d) Spectrum of  $F_p$ . (e) Centered Gaussian lowpass filter,  $H$ , of size  $P \times Q$ .  
 (f) Spectrum of the product  $HF_p$ .  
 (g)  $g_p$ , the product of  $(-1)^{x+y}$  and the real part of the IDFT of  $HF_p$ .  
 (h) Final result,  $g$ , obtained by cropping the first  $M$  rows and  $N$  columns of  $g_p$ .



## تناظر میان فیلتر کردن در حوزه‌ی مکان و حوزه‌ی فرکانس

قضیه‌ی کانولوشن: رابط میان حوزه‌ی مکان و حوزه‌ی فرکانس

### CORRESPONDENCE BETWEEN FILTERING IN THE SPATIAL AND FREQUENCY DOMAIN

کانولوشن گسسته‌ی دو تابع  $f(x,y)$  و  $h(x,y)$  با اندازه‌ی  $M \times N$  به صورت زیر تعریف می‌شود:

$$f(x, y) * h(x, y) = \frac{1}{MN} \sum_{m=0}^{M-1} \sum_{n=0}^{N-1} f(m, n) h(x-m, y-n)$$

اگر  $H(u,v) = \mathcal{F}\{h(x,y)\}$  و  $F(u,v) = \mathcal{F}\{f(x,y)\}$  داریم:

قضیه‌ی کانولوشن

*Convolution Theorem*

$$f(x, y) * h(x, y) \Leftrightarrow F(u, v) H(u, v)$$

$$f(x, y) h(x, y) \Leftrightarrow F(u, v) * H(u, v)$$

## تناظر میان فیلتر کردن در حوزه‌ی مکان و حوزه‌ی فرکانس

مثال: تبدیل فوریه‌ی ضربه‌ی واحد

$(x_0, y_0)$  یک تابع ضربه با قوت  $A$  واقع شده در مختصات

$$\sum_{x=0}^{M-1} \sum_{y=0}^{N-1} s(x, y) A \delta(x - x_0, y - y_0) = As(x_0, y_0)$$

$$\sum_{x=0}^{M-1} \sum_{y=0}^{N-1} s(x, y) \delta(x, y) = s(0, 0)$$

تبدیل فوریه‌ی یک ضربه‌ی واحد در مبدأ

$$F(u, v) = \frac{1}{MN} \sum_{x=0}^{M-1} \sum_{y=0}^{N-1} \delta(x, y) e^{-j2\pi(ux/M + vy/N)} = \frac{1}{MN}$$

## تناظر میان فیلتر کردن در حوزه‌ی مکان و حوزه‌ی فرکانس

رابطه‌ی فیلتر حوزه‌ی مکان با فیلتر حوزه‌ی فرکانس

$$f(x, y) = \delta(x, y)$$

$$\begin{aligned} f(x, y) * h(x, y) &= \frac{1}{MN} \sum_{m=0}^{M-1} \sum_{n=0}^{N-1} \delta(m, n) h(x-m, y-n) \\ &= \frac{1}{MN} h(x, y) \end{aligned}$$

$$\begin{aligned} f(x, y) * h(x, y) &\Leftrightarrow F(u, v) H(u, v) \\ \delta(x, y) * h(x, y) &\Leftrightarrow \mathcal{F}[\delta(x, y)] H(u, v) \\ \frac{1}{MN} h(x, y) &\\ \frac{1}{MN} H(u, v) & \\ \implies h(x, y) &\Leftrightarrow H(u, v) \end{aligned}$$

## تناظر میان فیلتر کردن در حوزه‌ی فضا و حوزه‌ی فرکانس

رابطه‌ی فیلتر حوزه‌ی مکان با فیلتر حوزه‌ی فرکانس: مثال (فیلتر گاوسی)

$$H(u) = Ae^{-u^2/2\sigma^2}$$

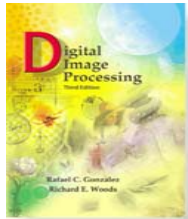
فیلتر گاوسی  
Gaussian Filter

$\sigma$ : انحراف استاندارد (جذر واریانس) منحنی گاوسی

فیلتر گاوسی متناظر در حوزه‌ی مکان

$$h(x) = \sqrt{2\pi}\sigma Ae^{-2\pi^2\sigma^2x^2}$$

تبديل‌های فوريه‌ی مستقيم و معكوس تابع گاوسی، توابع گاوسی حقيقي است.



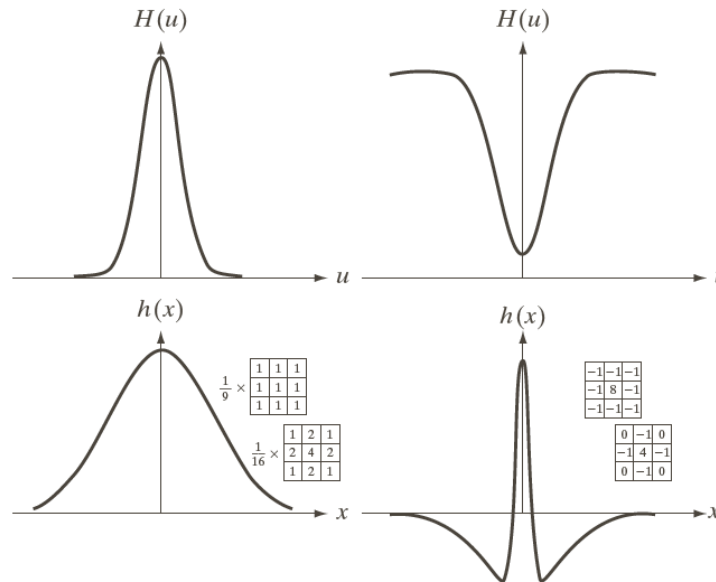
# Digital Image Processing, 3rd ed.

Gonzalez & Woods

[www.ImageProcessingPlace.com](http://www.ImageProcessingPlace.com)

## Chapter 4

### Filtering in the Frequency Domain

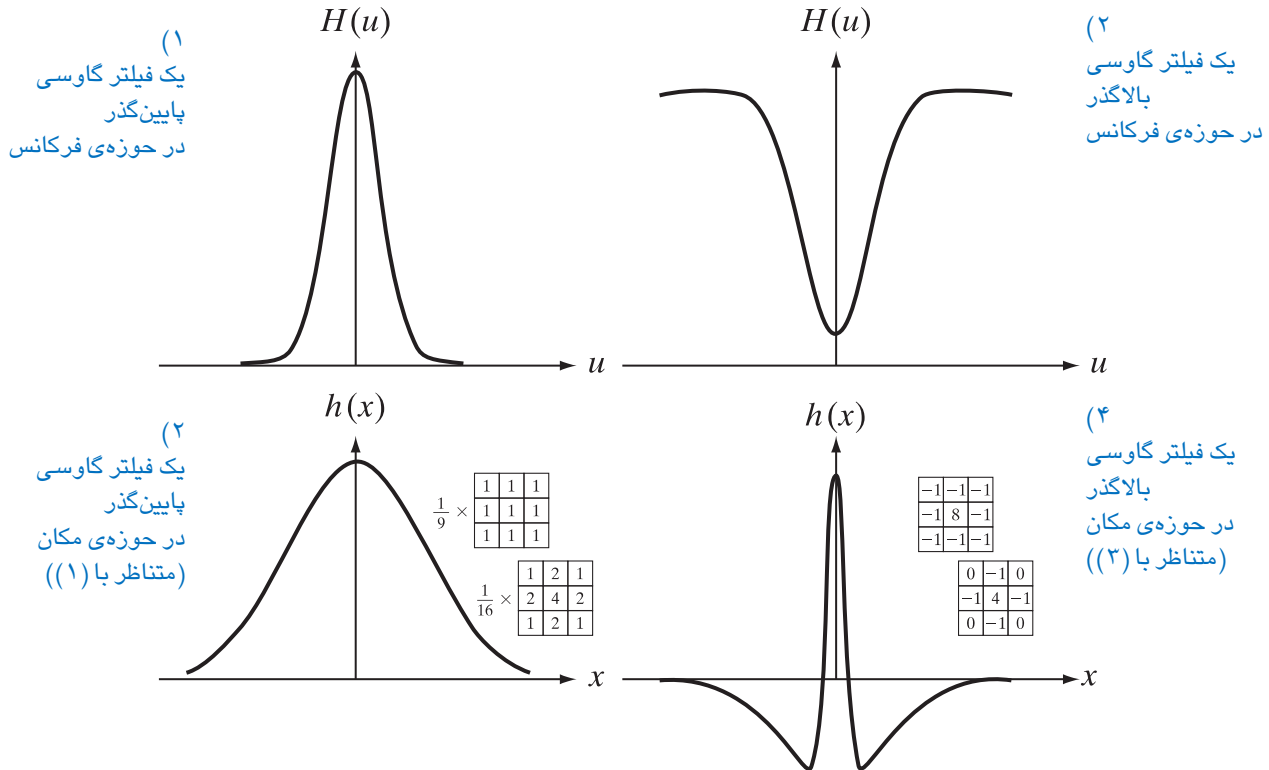


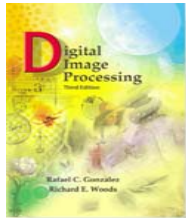
a	c
b	d

**FIGURE 4.37**  
(a) A 1-D Gaussian lowpass filter in the frequency domain.  
(b) Spatial lowpass filter corresponding to (a). (c) Gaussian highpass filter in the frequency domain.  
(d) Spatial highpass filter corresponding to (c). The small 2-D masks shown are spatial filters we used in Chapter 3.

## تناظر میان فیلتر کردن در حوزهٔ فضای و حوزهٔ فرکانس

رابطهٔ فیلتر حوزهٔ مکان با فیلتر حوزهٔ فرکانس: مثال (فیلتر گاوی): مثال





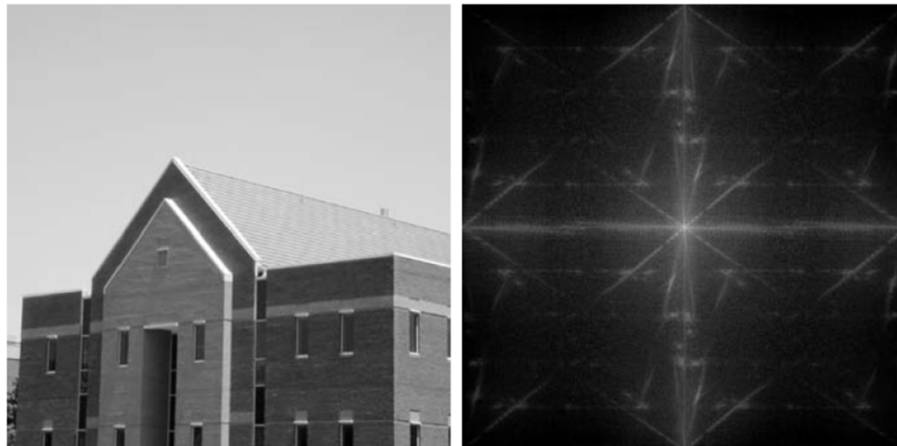
# Digital Image Processing, 3rd ed.

Gonzalez & Woods

[www.ImageProcessingPlace.com](http://www.ImageProcessingPlace.com)

## Chapter 4

### Filtering in the Frequency Domain



a b

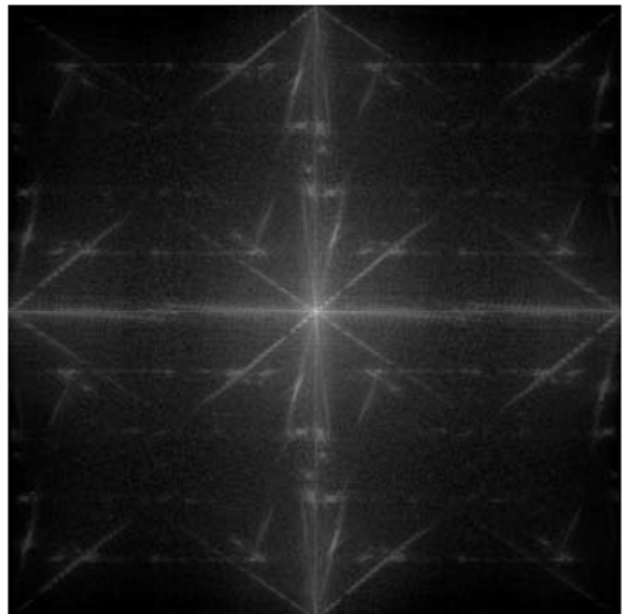
**FIGURE 4.38**  
(a) Image of a  
building, and  
(b) its spectrum.

## تناظر میان فیلتر کردن در حوزه‌ی فضا و حوزه‌ی فرکانس

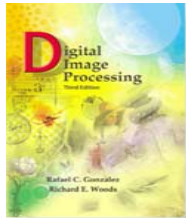
مثال



(۱) تصویر یک ساختمان



(۲) طیف تبدیل فوریه‌ی تصویر (۱)



# Digital Image Processing, 3rd ed.

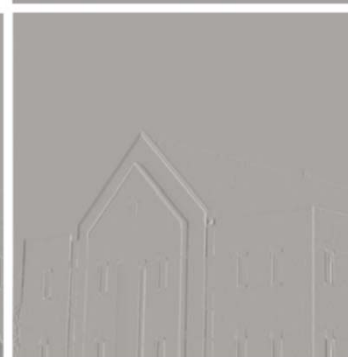
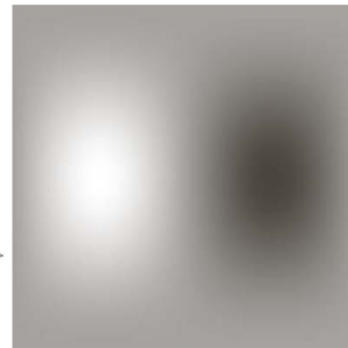
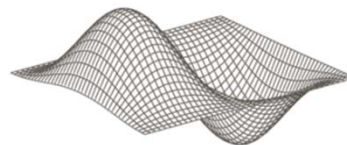
Gonzalez & Woods

[www.ImageProcessingPlace.com](http://www.ImageProcessingPlace.com)

## Chapter 4

### Filtering in the Frequency Domain

-1	0	1
-2	0	2
-1	0	1



a  
b  
c  
d

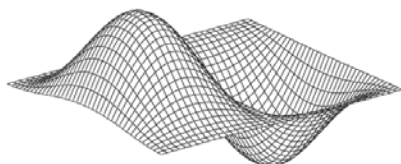
**FIGURE 4.39**  
(a) A spatial mask and perspective plot of its corresponding frequency domain filter. (b) Filter shown as an image. (c) Result of filtering Fig. 4.38(a) in the frequency domain with the filter in (b). (d) Result of filtering the same image with the spatial filter in (a). The results are identical.

## تناظر میان فیلتر کردن در حوزه‌ی فضا و حوزه‌ی فرکانس

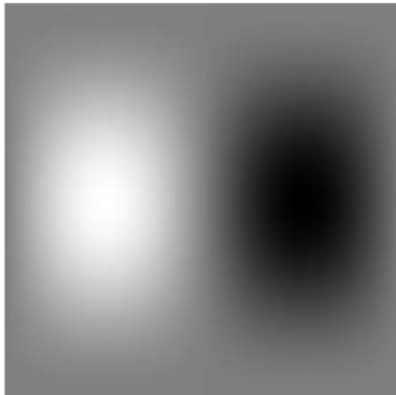
مثال

(۱)  
یک ماسک حوزه‌ی مکان  
و رسم سه‌بعدی فیلتر  
حوزه‌ی فرکانس  
متناظر با آن

-1	0	1
-2	0	2
-1	0	1



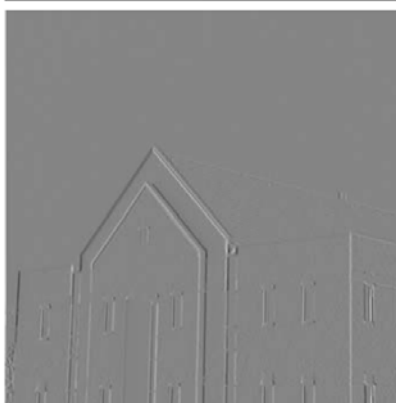
(۲)  
نمایش فیلتر حوزه‌ی  
فرکانس در قالب یک  
تصویر



(۳)  
نتیجه‌ی فیلتر کردن  
تصویر ساختمان در  
حوزه‌ی فرکانس با  
فیلتر (۲)



(۴)  
نتیجه‌ی فیلتر کردن  
همان تصویر با فیلتر  
مکانی (۱)



نتیجه‌ها یکسان  
هستند!

## تناظر میان فیلتر کردن در حوزه‌ی فضا و حوزه‌ی فرکانس

### فیلتر گاوسی

#### خاصیت‌های مفید تابع گاوسی

خودش و تبدیل فوریه‌ی آن هر دو **حقیقی** مقدار است. (هیچ مقدار مختلطی در آنها وجود ندارد.)

مقادیر آنها همیشه مثبت است. (نتیجه‌ی کانوالو آن با تصویر هیچ مقدار منفی تولید نمی‌کند.)

با پارامتر  $\sigma$  عرض آن کنترل می‌شود:

اگر عرض تابع گاوسی کوچک‌تر شود، عرض تبدیل فوریه‌ی آن بزرگ‌تر می‌شود.

این خواص فیلتر گاوسی را برای فیلتر کردن پایین‌گذر تصویر بسیار مناسب می‌کند:  
میزان بلازدن با پارامتر  $\sigma$  کنترل می‌شود.

این فیلتر را می‌توان در حوزه‌ی مکان یا فرکانس پیاده‌سازی کرد.

سایر فیلترها را نیز می‌توان با استفاده از دو گاوسی با اندازه‌ی متفاوت پیاده‌سازی کرد.

فیلتر کردن در حوزه‌ی فرکانس



# هموارسازی تصویر با استفاده از فیلترهای حوزه‌ی فرکانس

## فیلترهای حوزه‌ی فرکانس هموارساز

### SMOOTHING FREQUENCY-DOMAIN FILTERS

مدل پایه‌ی فیلتر کردن در حوزه‌ی فرکانس

$$G(u, v) = H(u, v)F(u, v)$$

تابع انتقال فیلتر

تبديل فوريه‌ی تصوير  
(که باید هموار شود)

هموارسازی، اساساً یک عملیات فیلتر کردن پایین‌گذر در حوزه‌ی فرکانس است.

فیلتر پایین‌گذر ایده‌آل  
*Ideal Lowpass Filter*

فیلتر پایین‌گذر باتروُرث  
*Butterworth Lowpass Filter*

فیلتر پایین‌گذر گاوسي  
*Gaussian Lowpass Filter*

فیلترهای پایین‌گذر  
(فرم‌های استاندارد)

*Lowpass Filters*

**LPF**

## فیلترهای پایین‌گذر ایده‌آل

### IDEAL LOWPASS FILTERS (ILPFS)

**فیلتر پایین‌گذر ایده‌آل**  
*Ideal Lowpass Filter*

ساده‌ترین فیلتر پایین‌گذر،

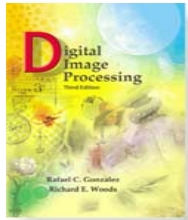
فیلتری است که همه‌ی فرکانس‌های بالاتر از یک فاصله‌ی مشخص  $D_0$  از مرکز تبدیل را برش می‌دهد.

تابع انتقال  
فیلتر پایین‌گذر ایده‌آل

$$H(u, v) = \begin{cases} 1 & \text{if } D(u, v) \leq D_0 \\ 0 & \text{if } D(u, v) > D_0 \end{cases}$$

: فاصله‌ی نقطه‌ی  $(u, v)$  از مرکز مستطیل حوزه‌ی فرکانس است:

$$D(u, v) = \left[ (u - M/2)^2 + (v - N/2)^2 \right]^{\frac{1}{2}}$$



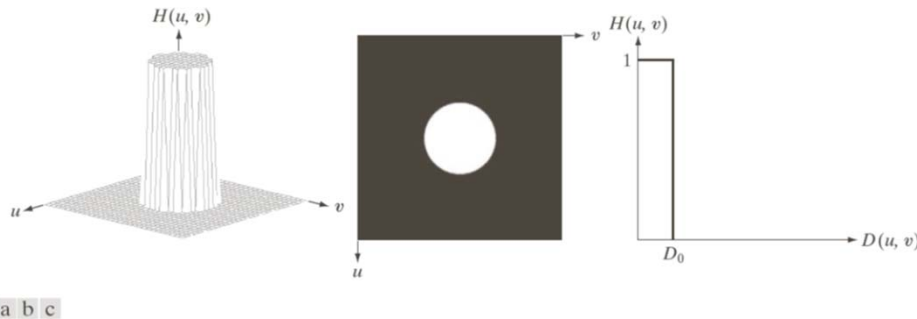
# Digital Image Processing, 3rd ed.

Gonzalez & Woods

[www.ImageProcessingPlace.com](http://www.ImageProcessingPlace.com)

## Chapter 4

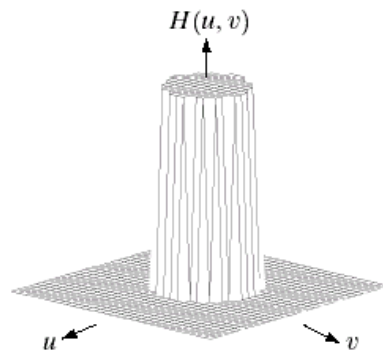
### Filtering in the Frequency Domain



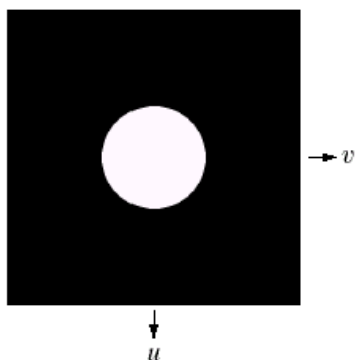
**FIGURE 4.40** (a) Perspective plot of an ideal lowpass-filter transfer function. (b) Filter displayed as an image. (c) Filter radial cross section.

## فیلترهای پایین‌گذر ایده‌آل

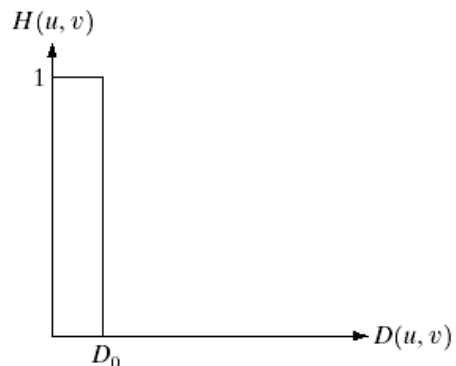
### IDEAL LOWPASS FILTERS (ILPFS)



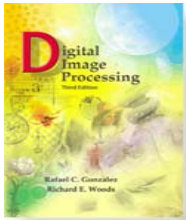
(۱)  
نمودار سه‌بعدی تابع انتقال  
فیلتر پایین‌گذر ایده‌آل



(۲)  
فیلتر ترسیم شده  
به صورت یک تصویر



(۳)  
سطح مقطع شعاعی فیلتر



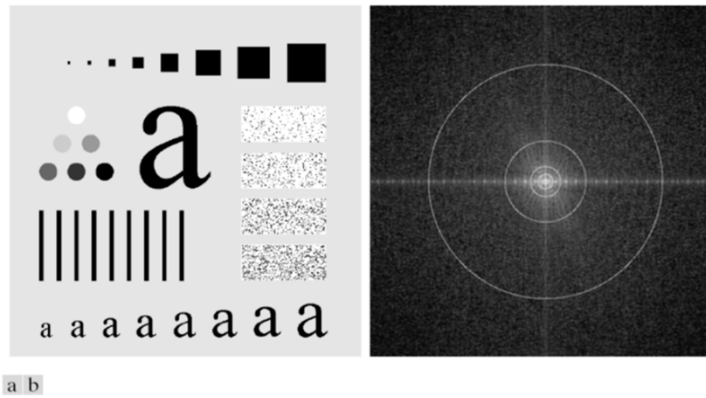
# Digital Image Processing, 3rd ed.

Gonzalez & Woods

[www.ImageProcessingPlace.com](http://www.ImageProcessingPlace.com)

## Chapter 4

### Filtering in the Frequency Domain



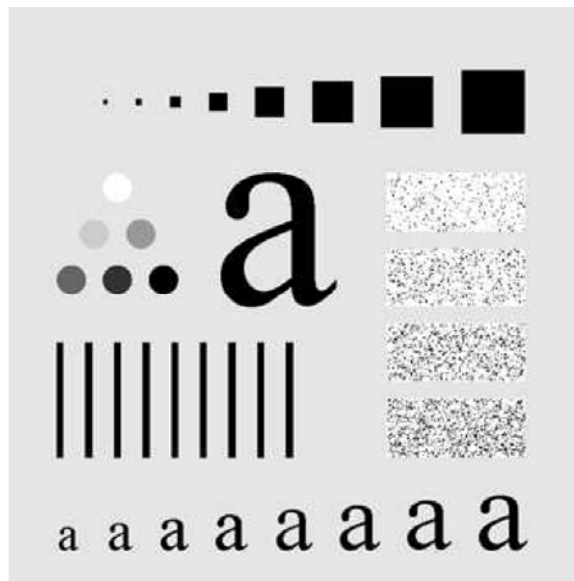
a b

**FIGURE 4.41** (a) Test pattern of size  $688 \times 688$  pixels, and (b) its Fourier spectrum. The spectrum is double the image size due to padding but is shown in half size so that it fits in the page. The superimposed circles have radii equal to 10, 30, 60, 160, and 460 with respect to the full-size spectrum image. These radii enclose 87.0, 93.1, 95.7, 97.8, and 99.2% of the padded image power, respectively.

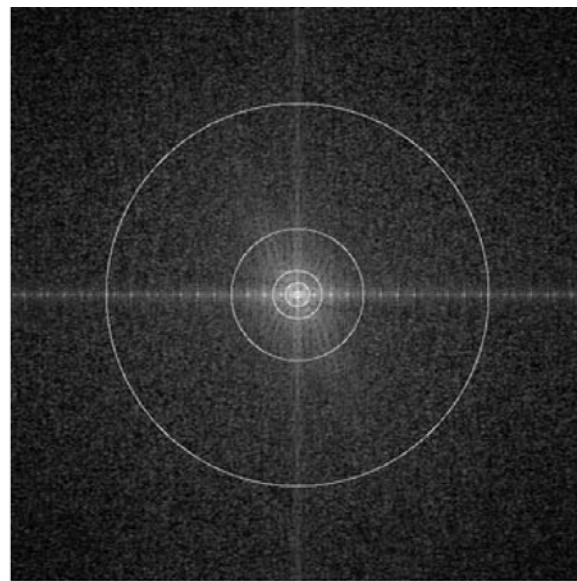
## فیلتر های پایین گذر ایده‌آل

مثال

### IDEAL LOWPASS FILTERS (ILPFS)

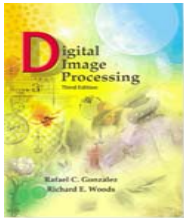


(۱) الگوی آزمایشی با اندازه‌ی  $688 \times 688$  پیکسل



(۲) تبدیل فوریه‌ی (۱).

اندازی طیف، دوبرابر اندازه‌ی تصویر است (پدینگ).  
دایره‌های رسم شده به شعاع  $10, 20, 40, 60$  و  $80$  درجه هستند.  
هر دایره در صد مشخصی از انرژی تصویر پد شده را دارد؛  
به ترتیب:  $1\%, 8\%, 17\%, 27\%, 45\%, 53\%, 67\%$  و  $99\%$ .



# Digital Image Processing, 3rd ed.

Gonzalez & Woods

[www.ImageProcessingPlace.com](http://www.ImageProcessingPlace.com)

## Chapter 4

### Filtering in the Frequency Domain

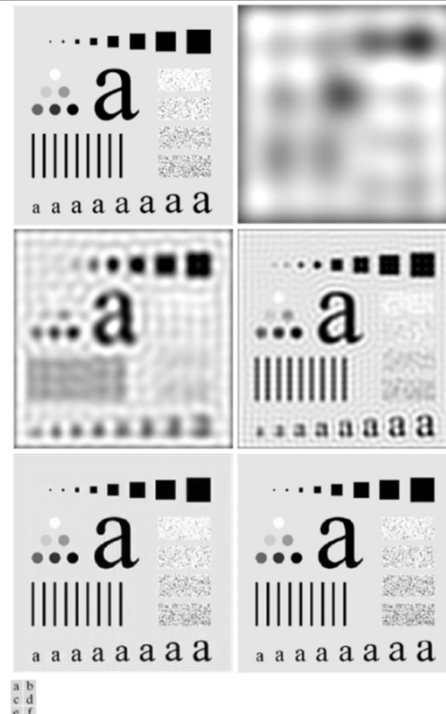


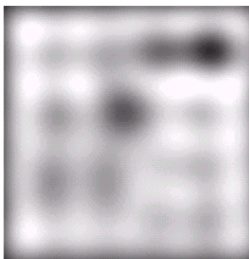
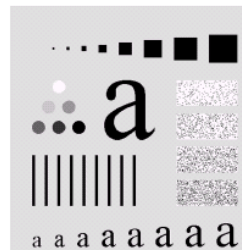
FIGURE 4.42 (a) Original image. (b)–(f) Results of filtering using ILPPFs with cutoff frequencies set at radii values 10, 30, 60, 160, and 460, as shown in Fig. 4.41(b). The power removed by these filters was 13, 6.9, 4.3, 2.2, and 0.8% of the total, respectively.

## فیلترهای پایین‌گذر ایده‌آل

مثال

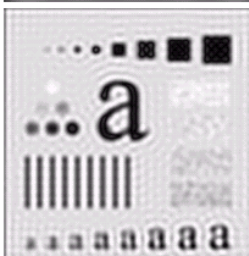
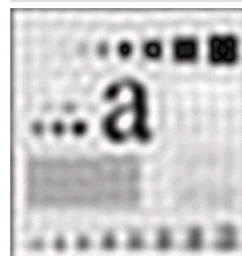
### IDEAL LOWPASS FILTERS (ILPFs)

(۱)  
تصویر اصلی



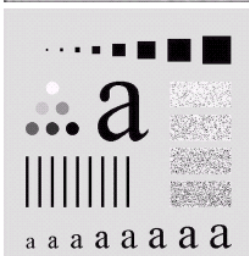
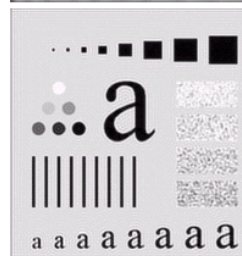
(۲)  
حاصل فیلتر کردن با  
IPLF با فرکانس قطع  
در شعاع .۱۰  
میزان توان حذف شده  
توسط فیلتر: %۱۳

(۳)  
حاصل فیلتر کردن با  
IPLF با فرکانس قطع  
در شعاع .۳۰  
میزان توان حذف شده  
توسط فیلتر: %۶,۹

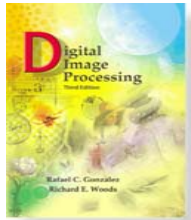


(۴)  
حاصل فیلتر کردن با  
IPLF با فرکانس قطع  
در شعاع .۶۰  
میزان توان حذف شده  
توسط فیلتر: %۶۴,۳

(۵)  
حاصل فیلتر کردن با  
IPLF با فرکانس قطع  
در شعاع .۱۶۰  
میزان توان حذف شده  
توسط فیلتر: %۲,۲



(۶)  
حاصل فیلتر کردن با  
IPLF با فرکانس قطع  
در شعاع .۴۶۰  
میزان توان حذف شده  
توسط فیلتر: %۰,۸



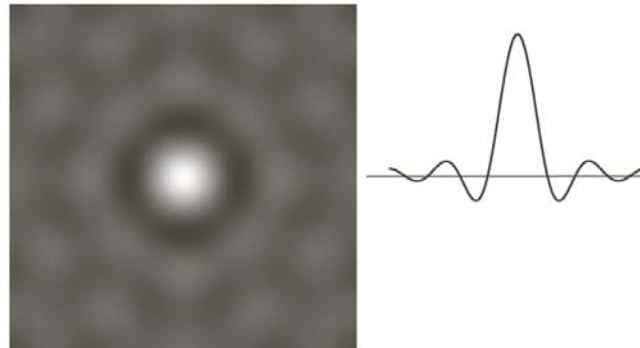
# Digital Image Processing, 3rd ed.

Gonzalez & Woods

[www.ImageProcessingPlace.com](http://www.ImageProcessingPlace.com)

## Chapter 4

### Filtering in the Frequency Domain



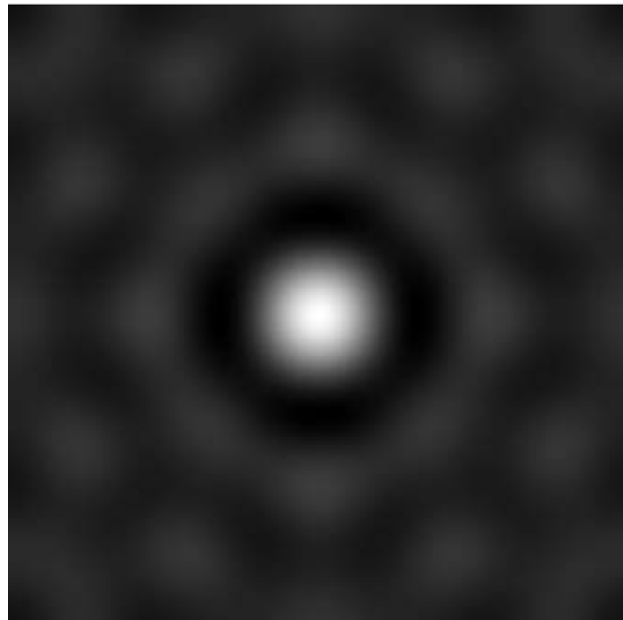
a b

**FIGURE 4.43**  
(a) Representation  
in the spatial  
domain of an  
ILPF of radius 5  
and size  
 $1000 \times 1000$ .  
(b) Intensity  
profile of a  
horizontal line  
passing through  
the center of the  
image.

## فیلترهای پایین‌گذر ایده‌آل

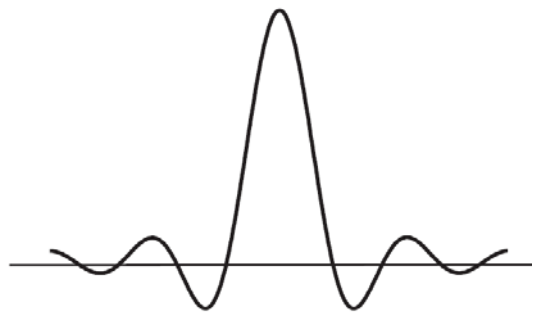
فیلتر پایین‌گذر ایده‌آل در حوزه‌ی مکان

### IDEAL LOWPASS FILTERS (ILPFS)



(۱)

بازنمایی یک فیلتر پایین‌گذر ایده‌آل  
با شعاع ۵ و اندازه‌ی  $1000 \times 1000$   
در حوزه‌ی مکان



(۲)

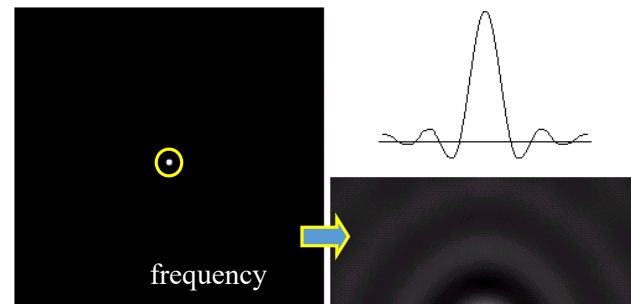
پروفایل شدت رنگ  
یک خط افقی که از مرکز تصویر می‌گذرد.

## فیلترهای پایین‌گذار ایده‌آل

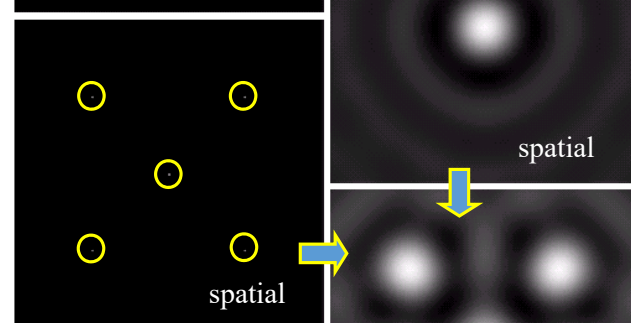
مثال

### IDEAL LOWPASS FILTERS (ILPFS)

(۱)  
یک فیلتر  
حوزه‌ی فرکانس با  
شعاع ۵



(۲)  
۵ ضربه در حوزه‌ی مکان،  
شبیه‌سازی‌کننده‌ی  
مقادیر ۵ پیکسل



(۳)  
فیلتر متناظر مکانی

(۴)  
کانولوشن (۲) و (۳)  
در حوزه‌ی مکان

$$f(x, y) * h(x, y) \Leftrightarrow F(u, v)H(u, v)$$

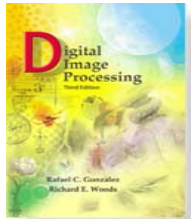
## فیلترهای پایین‌گذر با ترورث

با مرتبه  $n$

### BUTTERWORTH LOWPASS FILTERS (BLPFs) WITH ORDER $n$

فیلتر پایین‌گذر با ترورث  
*Butterworth Lowpass Filter*

$$H(u, v) = \frac{1}{1 + [D(u, v) / D_0]^{2n}}$$



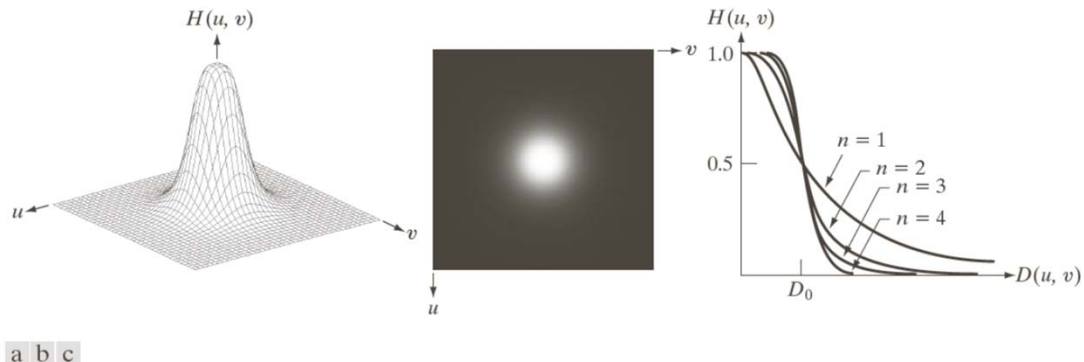
# Digital Image Processing, 3rd ed.

Gonzalez & Woods

[www.ImageProcessingPlace.com](http://www.ImageProcessingPlace.com)

## Chapter 4

### Filtering in the Frequency Domain



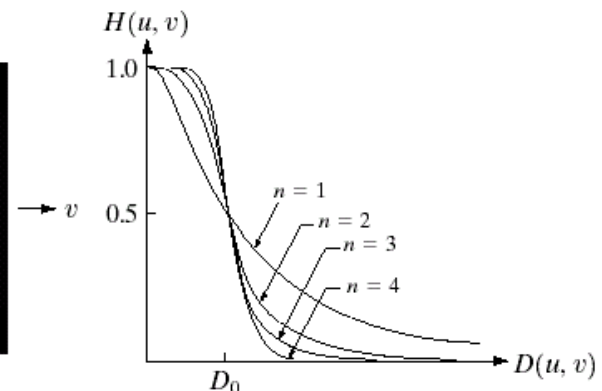
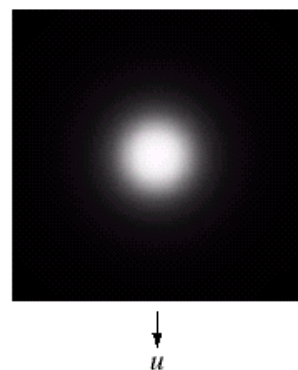
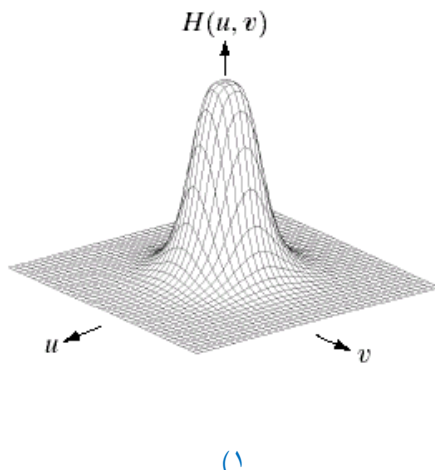
a b c

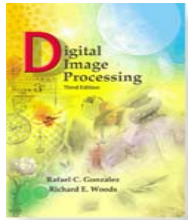
**FIGURE 4.44** (a) Perspective plot of a Butterworth lowpass-filter transfer function. (b) Filter displayed as an image. (c) Filter radial cross sections of orders 1 through 4.

## فیلترهای پایین‌گذر با ترورث

### BUTTERWORTH LOWPASS FILTERS (BLPFs) WITH ORDER $n$

$$H(u, v) = \frac{1}{1 + [D(u, v) / D_0]^{2n}}$$





# Digital Image Processing, 3rd ed.

Gonzalez & Woods

[www.ImageProcessingPlace.com](http://www.ImageProcessingPlace.com)

## Chapter 4

### Filtering in the Frequency Domain

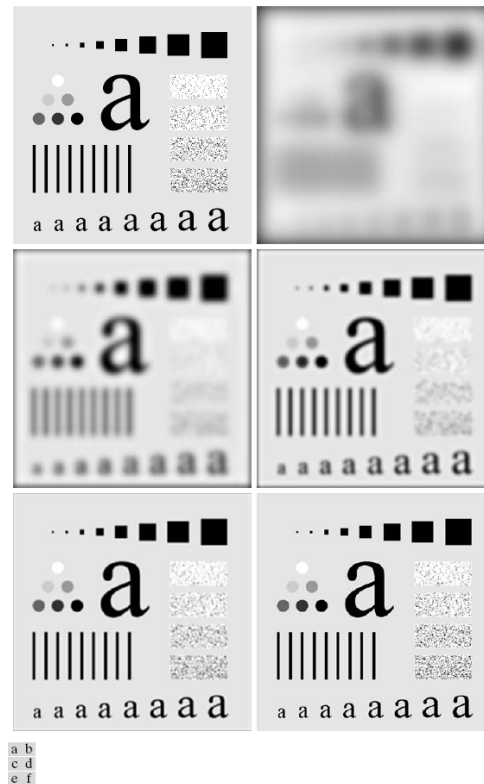


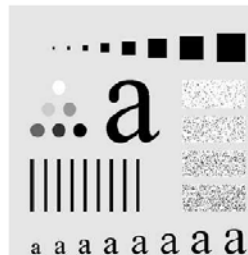
FIGURE 4.45 (a) Original image. (b)–(f) Results of filtering using BLPFs of order 2, with cutoff frequencies at the radii shown in Fig. 4.41. Compare with Fig. 4.42.

## فیلترهای پایین‌گذر با تروُرت

(مثال  $n = 2$ )

### BUTTERWORTH LOWPASS FILTERS (BLPFs) WITH ORDER $n = 2$

(۱)  
تصویر اصلی



(۲)  
حاصل فیلتر کردن با  
BPLF با فرکانس قطع  
در شعاع .۳۰



(۳)  
حاصل فیلتر کردن با  
BPLF با فرکانس قطع  
در شعاع .۶۰



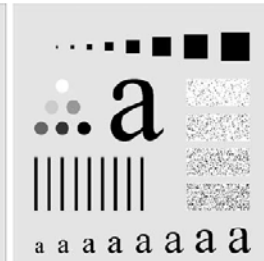
(۴)  
حاصل فیلتر کردن با  
BPLF با فرکانس قطع  
در شعاع .۱۰

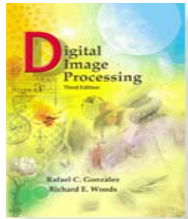


(۵)  
حاصل فیلتر کردن با  
BPLF با فرکانس قطع  
در شعاع .۱۶۰



(۶)  
حاصل فیلتر کردن با  
BPLF با فرکانس قطع  
در شعاع .۴۶۰





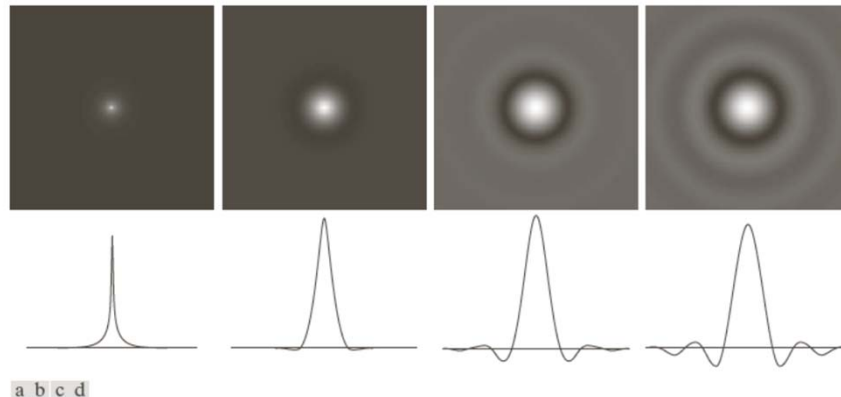
# Digital Image Processing, 3rd ed.

Gonzalez & Woods

[www.ImageProcessingPlace.com](http://www.ImageProcessingPlace.com)

## Chapter 4

### Filtering in the Frequency Domain

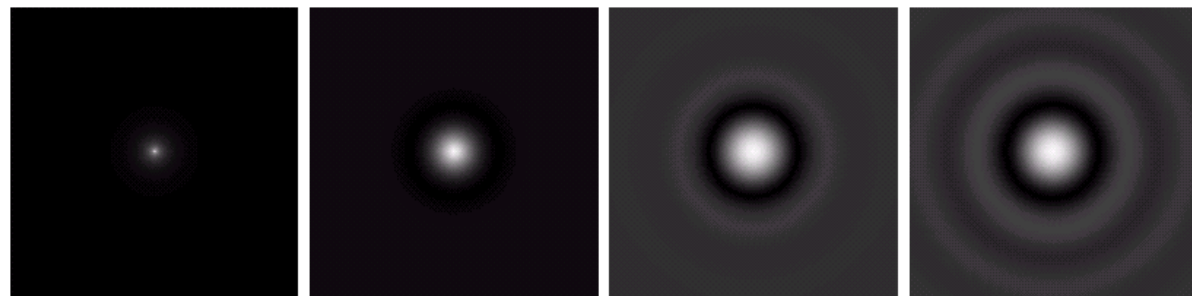


**FIGURE 4.46** (a)–(d) Spatial representation of BLPFs of order 1, 2, 5, and 20, and corresponding intensity profiles through the center of the filters (the size in all cases is  $1000 \times 1000$  and the cutoff frequency is 5). Observe how ringing increases as a function of filter order.

## فیلترهای پایین‌گذر با ترورث

بازنمایی مکانی

### BUTTERWORTH LOWPASS FILTERS (BLPFs): SPATIAL REPRESENTATION

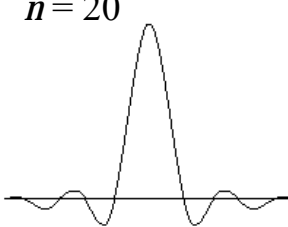
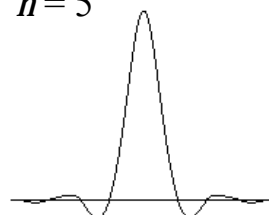
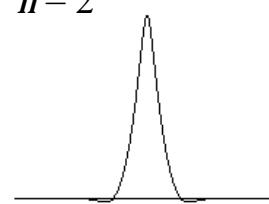


$n = 1$

$n = 2$

$n = 5$

$n = 20$



$$D_0 = 5$$

با افزایش  $n$  (مرتبه‌ی فیلتر) تموج بیشتر می‌شود.

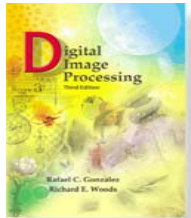
## فیلترهای پایین‌گذر گاوی

GAUSSIAN LOWPASS FILTERS (GLPFs)

فیلتر پایین‌گذر گاوی

*Gaussian Lowpass Filter*

$$H(u, v) = e^{-D^2(u, v)/2D_0^2}$$



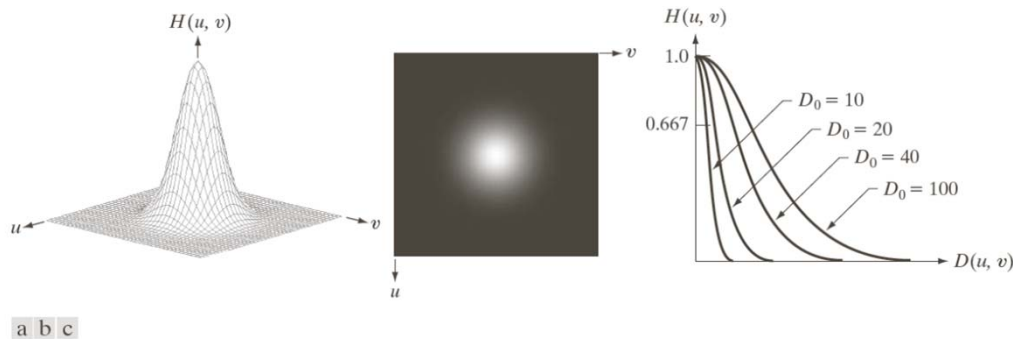
# Digital Image Processing, 3rd ed.

Gonzalez & Woods

[www.ImageProcessingPlace.com](http://www.ImageProcessingPlace.com)

## Chapter 4

### Filtering in the Frequency Domain

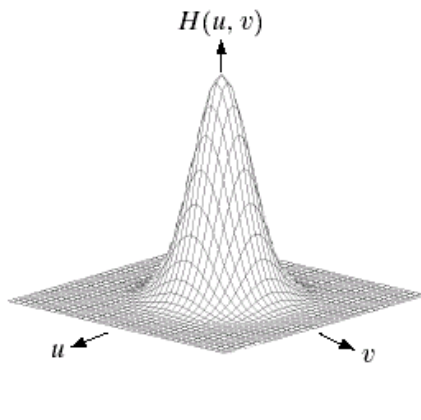


**FIGURE 4.47** (a) Perspective plot of a GLPF transfer function. (b) Filter displayed as an image. (c) Filter radial cross sections for various values of  $D_0$ .

## فیلترهای پایین‌گذر گاوسی

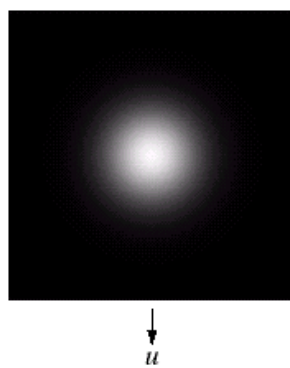
### GAUSSIAN LOWPASS FILTERS (GLPFs)

$$H(u, v) = e^{-D^2(u, v)/2D_0^2}$$



(۱)

نمودار سه‌بعدی تابع انتقال  
فیلتر پایین‌گذر گاوسی

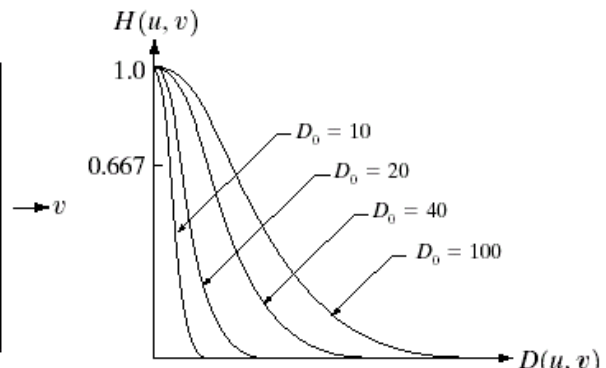


→ v

↓ u

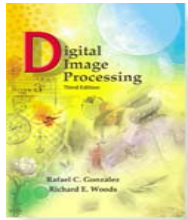
(۲)

فیلتر ترسیم شده  
به صورت یک تصویر



(۳)

سطح مقطع شعاعی فیلتر  
 $D_0 = 10, 20, 40, 100$



# Digital Image Processing, 3rd ed.

Gonzalez & Woods

[www.ImageProcessingPlace.com](http://www.ImageProcessingPlace.com)

## Chapter 4

### Filtering in the Frequency Domain

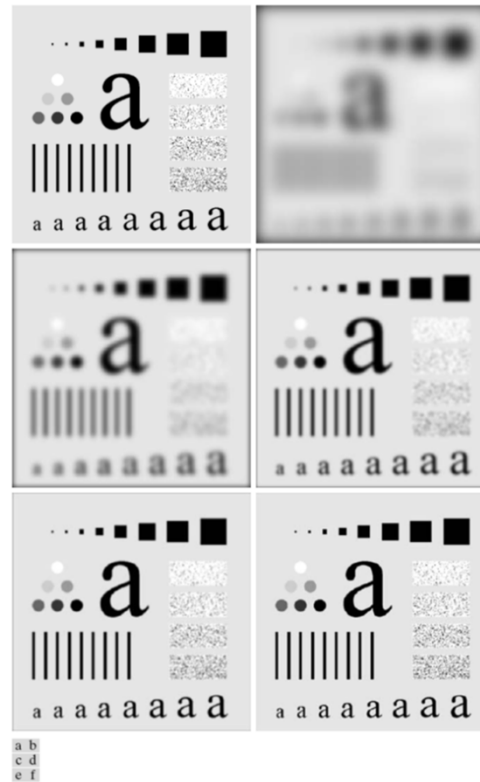
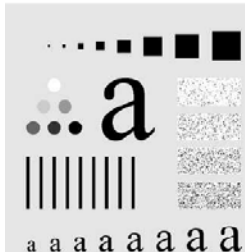


FIGURE 4.48 (a) Original image. (b)–(f) Results of filtering using GLPFs with cutoff frequencies at the radii shown in Fig. 4.41. Compare with Figs. 4.42 and 4.45.

## فیلتر های پایین گذار گاوی

### GAUSSIAN LOWPASS FILTERS (GLPFs)

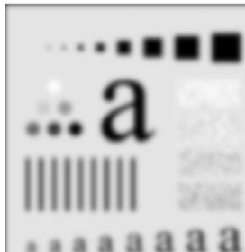
(۱)  
تصویر اصلی



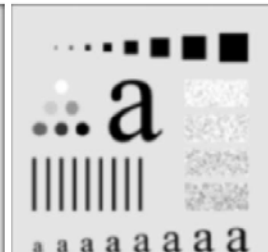
(۲)  
حاصل فیلتر کردن با  
GPLF با فرکانس قطع  
در شعاع .۱۰



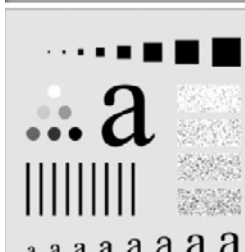
(۳)  
حاصل فیلتر کردن با  
GPLF با فرکانس قطع  
در شعاع .۳۰



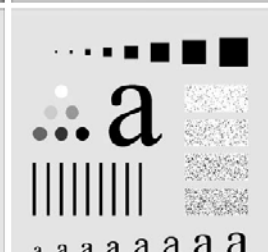
(۴)  
حاصل فیلتر کردن با  
GPLF با فرکانس قطع  
در شعاع .۶۰

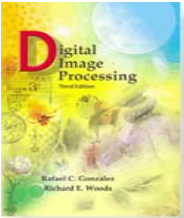


(۵)  
حاصل فیلتر کردن با  
GPLF با فرکانس قطع  
در شعاع .۱۶۰



(۶)  
حاصل فیلتر کردن با  
GPLF با فرکانس قطع  
در شعاع .۴۶۰





# Digital Image Processing, 3rd ed.

Gonzalez & Woods

[www.ImageProcessingPlace.com](http://www.ImageProcessingPlace.com)

## Chapter 4

### Filtering in the Frequency Domain

Historically, certain computer programs were written using only two digits rather than four to define the applicable year. Accordingly, the company's software may recognize a date using "00" as 1900 rather than the year 2000.



Historically, certain computer programs were written using only two digits rather than four to define the applicable year. Accordingly, the company's software may recognize a date using "00" as 1900 rather than the year 2000.



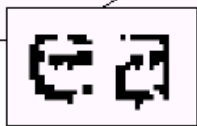
a b

**FIGURE 4.49**  
(a) Sample text of low resolution (note broken characters in magnified view).  
(b) Result of filtering with a GLPF (broken character segments were joined).

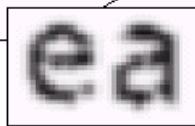
## فیلتر کردن پایین‌گذر

مثال

Historically, certain computer programs were written using only two digits rather than four to define the applicable year. Accordingly, the company's software may recognize a date using "00" as 1900 rather than the year 2000.



Historically, certain computer programs were written using only two digits rather than four to define the applicable year. Accordingly, the company's software may recognize a date using "00" as 1900 rather than the year 2000.

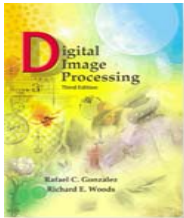


(۱)

نمونه متن با رزولوشن پایین  
(به کاراکترهای شکسته شده  
در نمای بزرگ شده دقت کنید).

(۲)

حاصل فیلتر کردن با GPLF  
(بخش‌های کاراکترهای شکسته شده  
به هم متصل شده‌اند).



# Digital Image Processing, 3rd ed.

Gonzalez & Woods

[www.ImageProcessingPlace.com](http://www.ImageProcessingPlace.com)

## Chapter 4

### Filtering in the Frequency Domain



a | b | c

**FIGURE 4.50** (a) Original image ( $784 \times 732$  pixels). (b) Result of filtering using a GLPF with  $D_0 = 100$ . (c) Result of filtering using a GLPF with  $D_0 = 80$ . Note the reduction in fine skin lines in the magnified sections in (b) and (c).

## فیلتر کردن پایین‌گذر

مثال



(۱)  
تصویر اصلی  
۷۸۴×۷۳۲ پیکسل



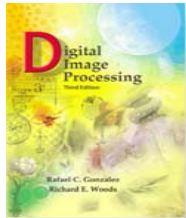
(۲)  
حاصل فیلتر کردن با استفاده از  
یک فیلتر پایین‌گذر گاوی  
 $D_0 = 100$  با

کاهش خطوط چهره در اثر فیلتر پایین‌گذر



(۳)  
حاصل فیلتر کردن با استفاده از  
یک فیلتر پایین‌گذر گاوی  
 $D_0 = 80$  با





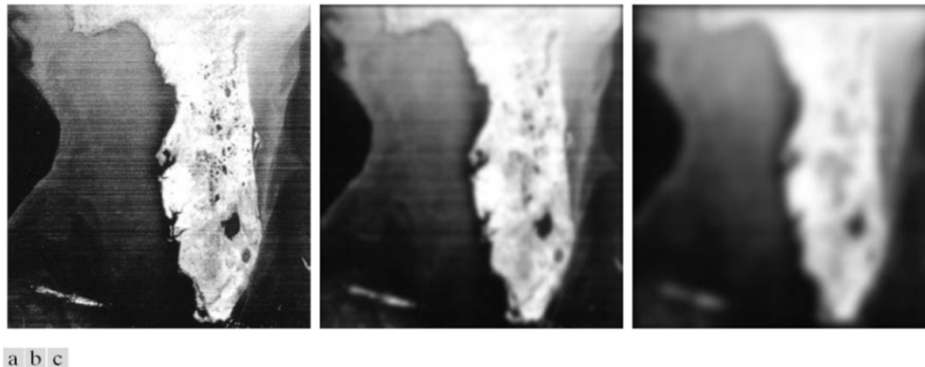
# Digital Image Processing, 3rd ed.

Gonzalez & Woods

[www.ImageProcessingPlace.com](http://www.ImageProcessingPlace.com)

## Chapter 4

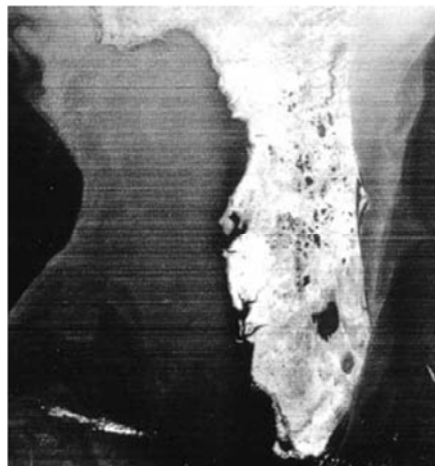
### Filtering in the Frequency Domain



**FIGURE 4.51** (a) Image showing prominent horizontal scan lines. (b) Result of filtering using a GLPF with  $D_0 = 50$ . (c) Result of using a GLPF with  $D_0 = 20$ . (Original image courtesy of NOAA.)

## فیلتر کردن پایین‌گذر

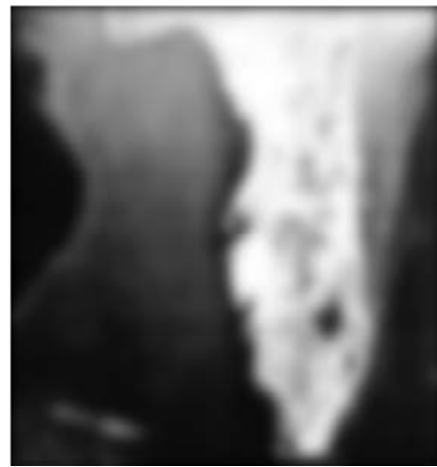
مثال



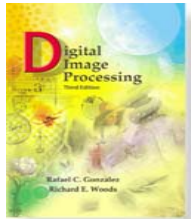
(۱)  
تصویر دارای  
خطوط اسکن افقی بر جسته



(۲)  
حاصل فیلتر کردن با استفاده از  
یک فیلتر پایین‌گذر گاوسی  
 $D_0 = 50$



(۳)  
حاصل فیلتر کردن با استفاده از  
یک فیلتر پایین‌گذر گاوسی  
 $D_0 = 20$



# Digital Image Processing, 3rd ed.

Gonzalez & Woods

[www.ImageProcessingPlace.com](http://www.ImageProcessingPlace.com)

## Chapter 4

### Filtering in the Frequency Domain

**TABLE 4.4**

Lowpass filters.  $D_0$  is the cutoff frequency and  $n$  is the order of the Butterworth filter.

Ideal	Butterworth	Gaussian
$H(u, v) = \begin{cases} 1 & \text{if } D(u, v) \leq D_0 \\ 0 & \text{if } D(u, v) > D_0 \end{cases}$	$H(u, v) = \frac{1}{1 + [D(u, v)/D_0]^{2n}}$	$H(u, v) = e^{-D^2(u,v)/2D_0^2}$

## فیلترهای پایین‌گذار

### LOWPASS FILTERS (LPFs)

Lowpass filters.  $D_0$  is the cutoff frequency and  $n$  is the order of the Butterworth filter.

Ideal	Butterworth	Gaussian
$H(u, v) = \begin{cases} 1 & \text{if } D(u, v) \leq D_0 \\ 0 & \text{if } D(u, v) > D_0 \end{cases}$	$H(u, v) = \frac{1}{1 + [D(u, v)/D_0]^{2n}}$	$H(u, v) = e^{-D^2(u,v)/2D_0^2}$

فیلتر کردن در حوزه‌ی فرکانس

۹

# تیزسازی تصویر با استفاده از فیلترهای حوزه‌ی فرکانس

## فیلترهای تیزکنندهٔ حوزهٔ فرکانس

### SHARPENING FREQUENCY DOMAIN FILTER

مدل پایه‌ی فیلتر کردن در حوزهٔ فرکانس

$$G(u, v) = H(u, v)F(u, v)$$

تابع انتقال فیلتر

تبديل فوريهٔ تصوير  
(که باید تیز شود)

تیزسازی، اساساً یک عملیات فیلتر کردن بالاگذر در حوزهٔ فرکانس است.

فیلتر بالاگذر ایده‌آل

*Ideal Highpass Filter*

فیلتر بالاگذر باتروُرث

*Butterworth Highpass Filter*

فیلتر بالاگذر گاووسی

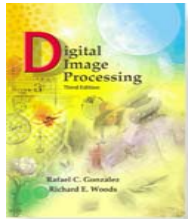
*Gaussian Highpass Filter*

فیلترهای بالاگذر

(فرم‌های استاندارد)

*Highpass Filters*

**HPF**



# Digital Image Processing, 3rd ed.

Gonzalez & Woods

[www.ImageProcessingPlace.com](http://www.ImageProcessingPlace.com)

## Chapter 4

### Filtering in the Frequency Domain

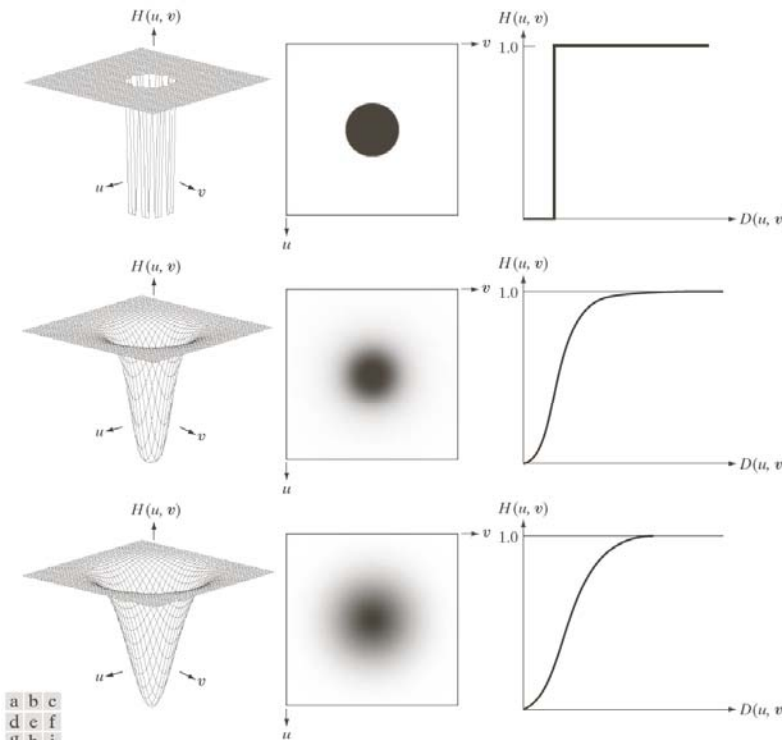


FIGURE 4.52 Top row: Perspective plot, image representation, and cross section of a typical ideal highpass filter. Middle and bottom rows: The same sequence for typical Butterworth and Gaussian highpass filters.

## فیلترهای تیزکنندهٔ حوزهٔ فرکانس

### SHARPENING FREQUENCY DOMAIN FILTER

$$H_{hp}(u, v) = 1 - H_{lp}(u, v)$$

فیلتر بالاگذر ایده‌آل  
Ideal Highpass Filter

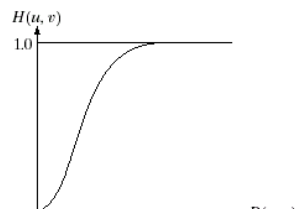
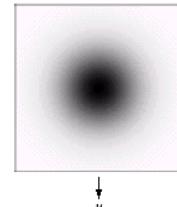
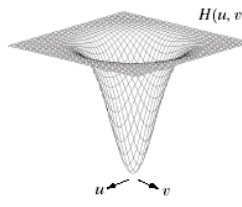
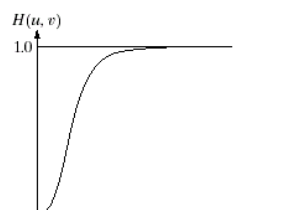
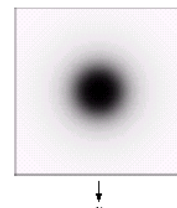
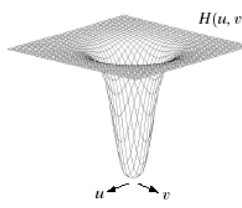
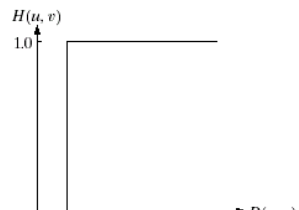
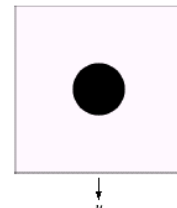
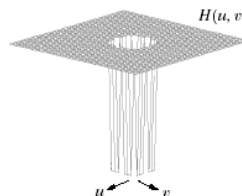
$$H(u, v) = \begin{cases} 0 & \text{if } D(u, v) \leq D_0 \\ 1 & \text{if } D(u, v) > D_0 \end{cases}$$

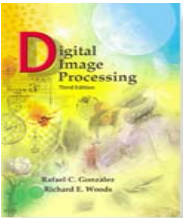
فیلتر بالاگذر باترورث  
Butterworth Highpass Filter

$$H(u, v) = \frac{1}{1 + [D_0 / D(u, v)]^{2n}}$$

فیلتر بالاگذر گاوی  
Gaussian Highpass Filter

$$H(u, v) = 1 - e^{-D^2(u, v) / 2D_0^2}$$





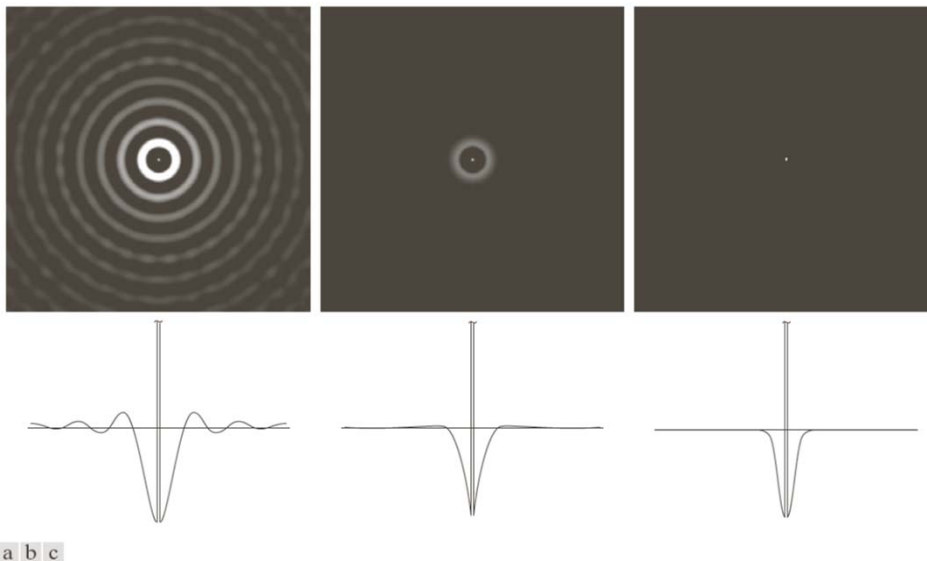
# Digital Image Processing, 3rd ed.

Gonzalez & Woods

[www.ImageProcessingPlace.com](http://www.ImageProcessingPlace.com)

## Chapter 4

### Filtering in the Frequency Domain



a b c

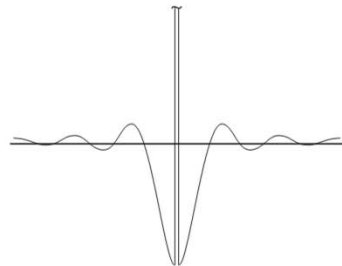
**FIGURE 4.53** Spatial representation of typical (a) ideal, (b) Butterworth, and (c) Gaussian frequency domain highpass filters, and corresponding intensity profiles through their centers.

## فیلتر های بالاگذر

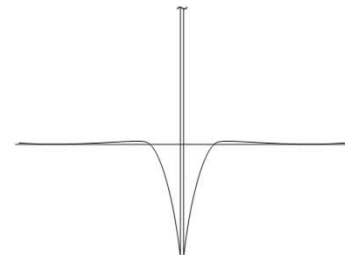
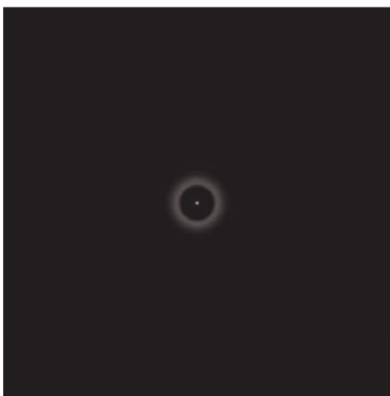
بازنمایی مکانی

HIGHPASS FILTERS: SPATIAL REPRESENTATIONS

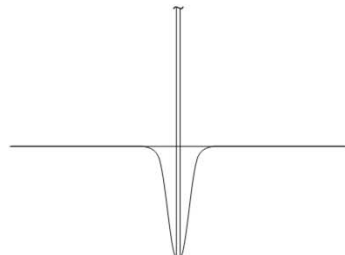
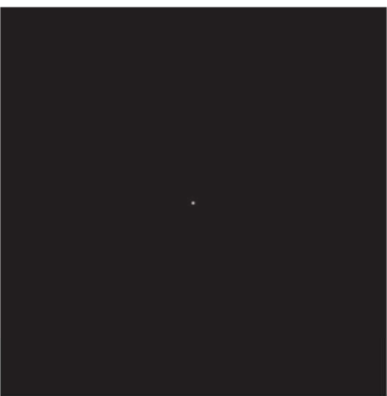
فیلتر بالاگذر ایده‌آل  
Ideal Highpass Filter

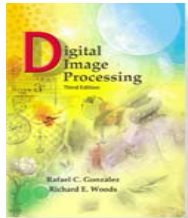


فیلتر بالاگذر باترورث  
Butterworth Highpass Filter



فیلتر بالاگذر گاووسی  
Gaussian Highpass Filter





# Digital Image Processing, 3rd ed.

Gonzalez & Woods

[www.ImageProcessingPlace.com](http://www.ImageProcessingPlace.com)

## Chapter 4

### Filtering in the Frequency Domain



a b c

**FIGURE 4.54** Results of highpass filtering the image in Fig. 4.41(a) using an IHPF with  $D_0 = 30, 60,$  and  $160.$

## فیلتر های بالاگذر ایده‌آل

IDEAL HIGHPASS FILTERS

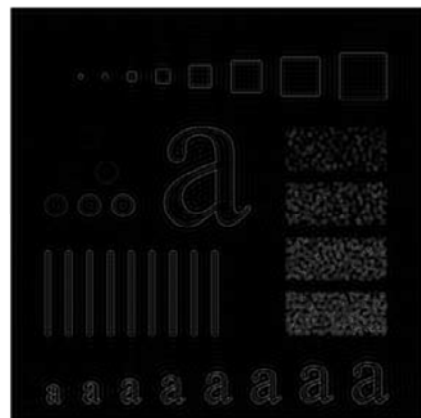
$$H(u, v) = \begin{cases} 0 & \text{if } D(u, v) \leq D_0 \\ 1 & \text{if } D(u, v) > D_0 \end{cases}$$



$$D_0 = 30$$

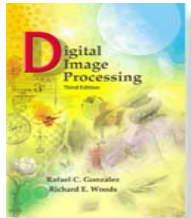


$$D_0 = 60$$



$$D_0 = 160$$

مشکل تموج برای فرکانس‌های قطع کوچک‌تر بیشتر دیده می‌شود.



# Digital Image Processing, 3rd ed.

Gonzalez & Woods

[www.ImageProcessingPlace.com](http://www.ImageProcessingPlace.com)

## Chapter 4

### Filtering in the Frequency Domain



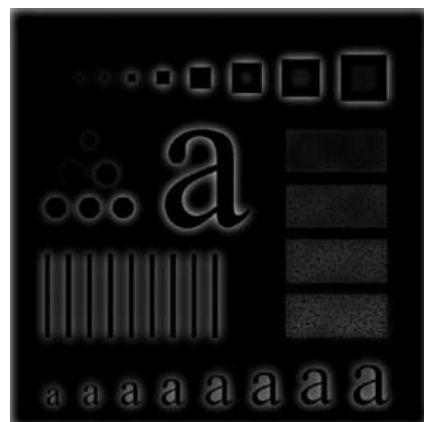
a b c

**FIGURE 4.55** Results of highpass filtering the image in Fig. 4.41(a) using a BHPF of order 2 with  $D_0 = 30, 60$ , and  $160$ , corresponding to the circles in Fig. 4.41(b). These results are much smoother than those obtained with an IHPF.

## فیلترهای بالاگذر با ترورث

### BUTTERWORTH HIGHPASS FILTERS

$$H(u, v) = \frac{1}{1 + [D_0 / D(u, v)]^{2n}}$$



$$D_0 = 30$$

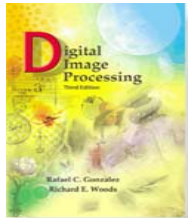


$$D_0 = 60$$



$$D_0 = 160$$

حاصل نسبت به خروجی فیلتر ایدهآل بالاگذر، هموار تر است.



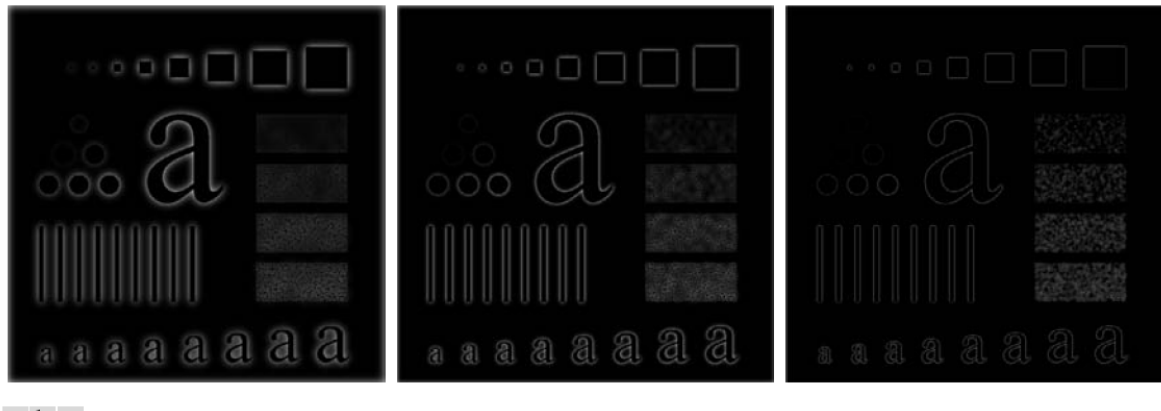
# Digital Image Processing, 3rd ed.

Gonzalez & Woods

[www.ImageProcessingPlace.com](http://www.ImageProcessingPlace.com)

## Chapter 4

### Filtering in the Frequency Domain

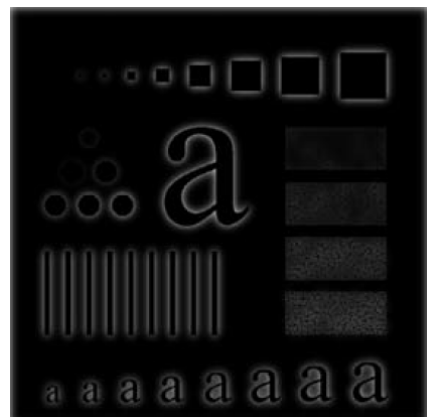


**FIGURE 4.56** Results of highpass filtering the image in Fig. 4.41(a) using a GHPF with  $D_0 = 30, 60$ , and  $160$ , corresponding to the circles in Fig. 4.41(b). Compare with Figs. 4.54 and 4.55.

## فیلترهای بالاگذر گاووسی

### GAUSSIAN HIGHPASS FILTERS

$$H(u, v) = 1 - e^{-D^2(u, v)/2 D_0^2}$$



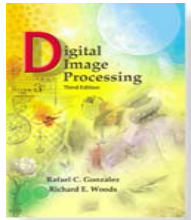
$$D_0 = 30$$



$$D_0 = 60$$



$$D_0 = 160$$



# Digital Image Processing, 3rd ed.

Gonzalez & Woods

[www.ImageProcessingPlace.com](http://www.ImageProcessingPlace.com)

---

## Chapter 4

### Filtering in the Frequency Domain

---

**TABLE 4.5**

Highpass filters.  $D_0$  is the cutoff frequency and  $n$  is the order of the Butterworth filter.

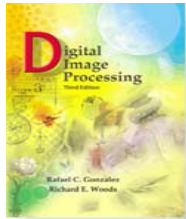
Ideal	Butterworth	Gaussian
$H(u, v) = \begin{cases} 1 & \text{if } D(u, v) \leq D_0 \\ 0 & \text{if } D(u, v) > D_0 \end{cases}$	$H(u, v) = \frac{1}{1 + [D_0/D(u, v)]^{2n}}$	$H(u, v) = 1 - e^{-D^2(u,v)/2D_0^2}$

## فیلتر های بالاگذر

### HIGHPASS FILTERS

Highpass filters.  $D_0$  is the cutoff frequency and  $n$  is the order of the Butterworth filter.

<b>Ideal</b>	<b>Butterworth</b>	<b>Gaussian</b>
$H(u, v) = \begin{cases} 1 & \text{if } D(u, v) \leq D_0 \\ 0 & \text{if } D(u, v) > D_0 \end{cases}$	$H(u, v) = \frac{1}{1 + [D_0/D(u, v)]^{2n}}$	$H(u, v) = 1 - e^{-D^2(u,v)/2D_0^2}$



# Digital Image Processing, 3rd ed.

Gonzalez & Woods

[www.ImageProcessingPlace.com](http://www.ImageProcessingPlace.com)

## Chapter 4

### Filtering in the Frequency Domain



a b c

**FIGURE 4.57** (a) Thumb print. (b) Result of highpass filtering (a). (c) Result of thresholding (b). (Original image courtesy of the U.S. National Institute of Standards and Technology.)

## فیلتر های بالاگذر

مثال

HIGHPASS FILTERS(۱)  
اثر انگشت(۲)  
حاصل فیلتر کردن بالاگذر(۳)  
حاصل آستانه‌گیری

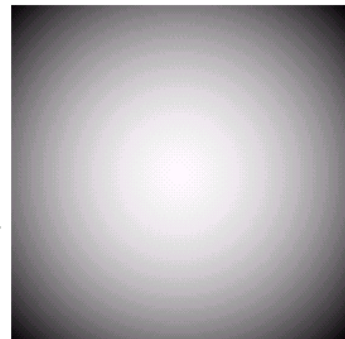
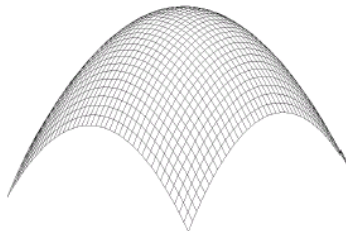
## لابلاسین در حوزه فرکانس

### THE LAPLACIAN IN THE FREQUENCY DOMAIN

فیلتر حوزه فرکانس لابلاسین

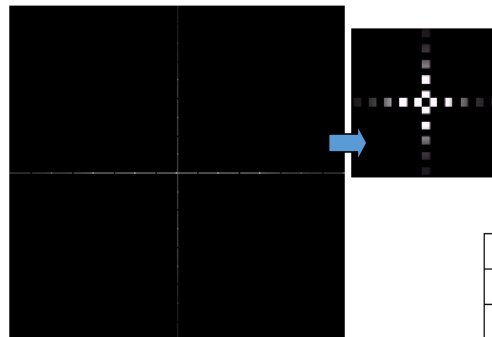
$$H(u, v) = -4\pi^2(u^2 + v^2)$$

Frequency  
domain



فیلتر حوزه فرکانس لابلاسین با شیفت به مرکز

$$\begin{aligned} H(u, v) &= -4\pi^2 \left[ \left( u - \frac{P}{2} \right)^2 + \left( v - \frac{Q}{2} \right)^2 \right] \\ &= -4\pi^2 D^2(u, v) \end{aligned}$$



0	1	0
1	-4	1
0	1	0

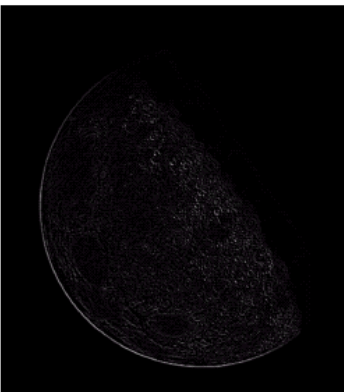
Spatial domain



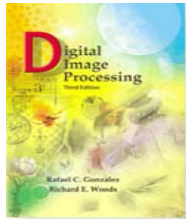
## لاپلاسین در حوزهٔ فرکانس

مثال

## THE LAPLACIAN IN THE FREQUENCY DOMAIN

(۱)  
تصویر اصلی(۲)  
تصویر فیلترشده با  
لاپلاسین(۳)  
تصویر لاپلاسین  
مقیاس‌بندی شده(۴)  
تصویر به‌سازی شده

$$g(x, y) = f(x, y) - \nabla^2 f(x, y)$$



# Digital Image Processing, 3rd ed.

Gonzalez & Woods

[www.ImageProcessingPlace.com](http://www.ImageProcessingPlace.com)

## Chapter 4

### Filtering in the Frequency Domain



a b

**FIGURE 4.58**  
(a) Original,  
blurry image.  
(b) Image  
enhanced using  
the Laplacian in  
the frequency  
domain. Compare  
with Fig. 3.38(e).

## لاپلاسین در حوزهٔ فرکانس

مثال

THE LAPLACIAN IN THE FREQUENCY DOMAIN(۱)  
تصویر اصلی  
دارای پلار(۲)  
تصویر فیلترشده با  
لاپلاسین  
در حوزهٔ فرکانس

## فیلتر (ماسک‌گذاری) غیر تیزکننده

UNSHARP MASKING

$$g_{\text{mask}}(x, y) = f(x, y) - f_{\text{LP}}(x, y)$$

$$f_{\text{LP}}(x, y) = \mathfrak{J}^{-1}[H_{\text{LP}}(u, v)F(u, v)]$$

$$g(x, y) = f(x, y) + k * g_{\text{mask}}(x, y)$$

$$k = 1$$

$$g(x, y) = \mathfrak{J}^{-1}\left\{\left[1 + k * [1 - H_{\text{LP}}(u, v)]\right]F(u, v)\right\}$$

$$g(x, y) = \mathfrak{J}^{-1}\left\{[1 + k * H_{\text{HP}}(u, v)]F(u, v)\right\}$$

## فیلتر کردن های بوست

HIGHBOOST FILTERING

$$g_{\text{mask}}(x, y) = f(x, y) - f_{\text{LP}}(x, y)$$

$$f_{\text{LP}}(x, y) = \mathfrak{J}^{-1}[H_{\text{LP}}(u, v)F(u, v)]$$

$$g(x, y) = f(x, y) + k * g_{\text{mask}}(x, y)$$

$$g(x, y) = \mathfrak{J}^{-1}\left\{\left[1 + k * [1 - H_{\text{LP}}(u, v)]\right]F(u, v)\right\}$$

$$g(x, y) = \mathfrak{J}^{-1}\left\{\left[1 + k * H_{\text{HP}}(u, v)\right]F(u, v)\right\}$$

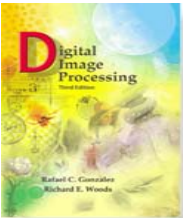
## فیلتر کردن تأکید بر فرکانس بالا

HIGH-FREQUENCY-EMPHASIS FILTERING

$$g(x, y) = \mathcal{F}^{-1}\left\{ [k_1 + k_2 * H_{HP}(u, v)] F(u, v) \right\}$$

$k_1 \geq 0$  gives controls of the offset from the origin

$k_2 \geq 0$  controls the contribution of high frequencies



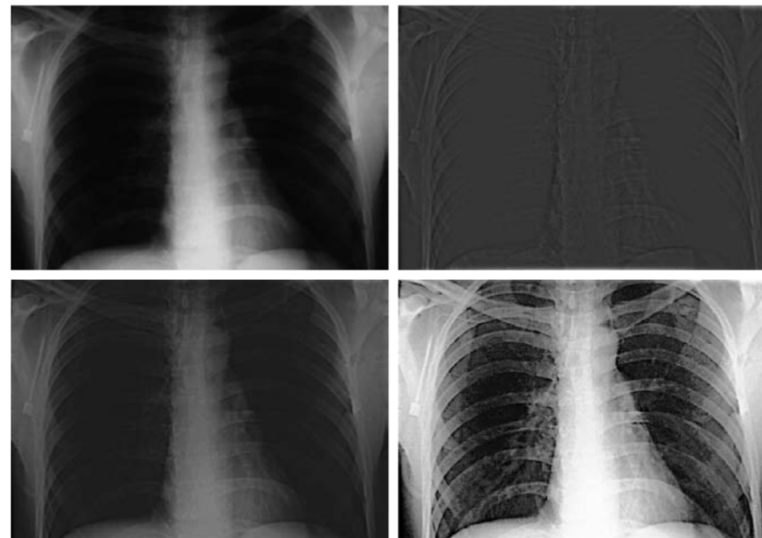
# Digital Image Processing, 3rd ed.

Gonzalez & Woods

[www.ImageProcessingPlace.com](http://www.ImageProcessingPlace.com)

## Chapter 4

### Filtering in the Frequency Domain



a b  
c d

**FIGURE 4.59** (a) A chest X-ray image. (b) Result of highpass filtering with a Gaussian filter. (c) Result of high-frequency-emphasis filtering using the same filter. (d) Result of performing histogram equalization on (c). (Original image courtesy of Dr. Thomas R. Gest, Division of Anatomical Sciences, University of Michigan Medical School.)

## فیلتر کردن تأکید بر فرکانس بالا

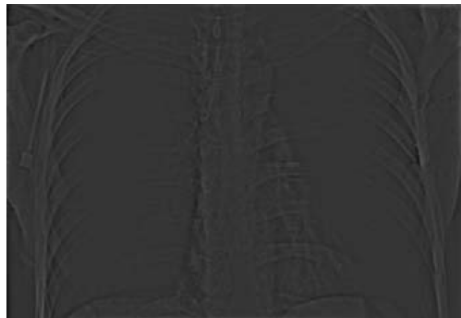
مثال

### HIGH-FREQUENCY-EMPHASIS FILTERING

(۱)  
تصویر اشعه ایکس  
از قفسه سینه



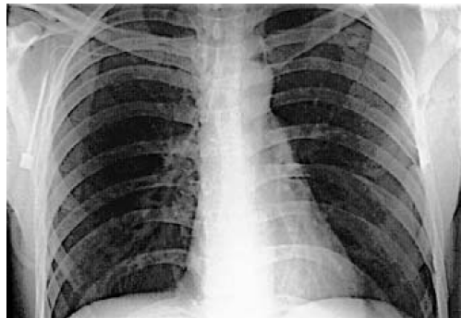
(۲)  
حاصل فیلتر بالاگذر  
با فیلتر گاوی



(۳)  
حاصل فیلتر تأکید بر  
فرکانس بالا با  
استفاده از همان  
فیلتر گاوی



(۴)  
نتیجه‌ی حاصل از  
تعديل هیستوگرام  
(روی (۳))



$$g(x, y) = \mathcal{F}^{-1} \left\{ [k_1 + k_2 * H_{HP}(u, v)] F(u, v) \right\} \quad k_1 = 0.5, \quad k_2 = 0.75$$

## فیلتر کردن هم ریخت

۱ از ۳

### HOMOMORPHIC FILTERING

هر تصویر را می‌توان به صورت حاصل ضرب مؤلفه‌های نور پردازی در بارتابش نوشت:

$$f(x, y) = i(x, y)r(x, y)$$

اما با این معادله نمی‌توان مستقیم در حوزه‌ی فرکانس کار کرد، زیرا:

$$\Im[f(x, y)] \neq \Im[i(x, y)]\Im[r(x, y)]$$

اما می‌توان با استفاده از لگاریتم، تعریف کنیم:

$$\begin{aligned} z(x, y) &= \ln f(x, y) \\ &= \ln i(x, y) + \ln r(x, y) \end{aligned}$$

در این صورت:

$$\begin{aligned} \Im\{z(x, y)\} &= \Im\{\ln f(x, y)\} \\ &= \Im\{\ln i(x, y)\} + \Im\{\ln r(x, y)\} \end{aligned}$$

با به صورت خلاصه:

$$Z(u, v) = F_i(u, v) + F_r(u, v)$$

## فیلتر کردن هم ریخت

۳ از ۲

### HOMOMORPHIC FILTERING

حال  $Z(u, v)$  را با استفاده از  $H(u, v)$  فیلتر می‌کنیم:

$$\begin{aligned} S(u, v) &= H(u, v)Z(u, v) \\ &= H(u, v)F_i(u, v) + H(u, v)F_r(u, v) \end{aligned}$$

تصویر فیلتر شده در حوزه مکان می‌شود:

$$\begin{aligned} s(x, y) &= \mathfrak{J}^{-1}\{S(u, v)\} \\ &= \mathfrak{J}^{-1}\{H(u, v)F_i(u, v)\} + \mathfrak{J}^{-1}\{H(u, v)F_r(u, v)\} \end{aligned}$$

تعریف می‌کنیم:

$$i'(x, y) = \mathfrak{J}^{-1}\{H(u, v)F_i(u, v)\}$$

و

$$r'(x, y) = \mathfrak{J}^{-1}\{H(u, v)F_r(u, v)\}$$

## فیلتر کردن هم ریخت

از ۲

### HOMOMORPHIC FILTERING

پس خواهیم داشت:

$$s(x, y) = i'(x, y) + r'(x, y)$$

برای یافتن تصویر فیلتر شده، از تابع معکوس لگاریتم (تابع نمایی) استفاده می‌کنیم:

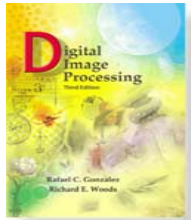
$$\begin{aligned} g(x, y) &= e^{s(x, y)} \\ &= e^{i'(x, y)} e^{r'(x, y)} \\ &= i_0(x, y) r_0(x, y) \end{aligned}$$

که در آن:

$$i_0(x, y) = e^{i'(x, y)}$$

و

$$r_0(x, y) = e^{r'(x, y)}$$



# Digital Image Processing, 3rd ed.

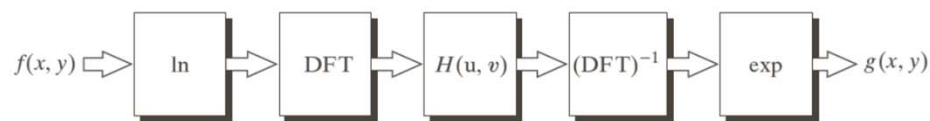
Gonzalez & Woods

[www.ImageProcessingPlace.com](http://www.ImageProcessingPlace.com)

## Chapter 4

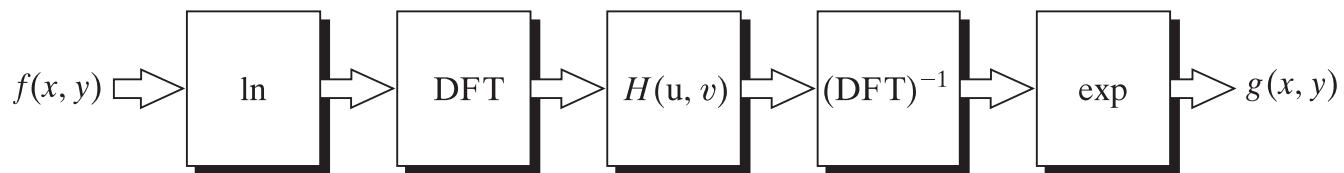
### Filtering in the Frequency Domain

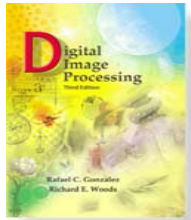
**FIGURE 4.60**  
Summary of steps  
in homomorphic  
filtering.



## فیلتر کردن هم ریخت

نمودار

HOMOMORPHIC FILTERING



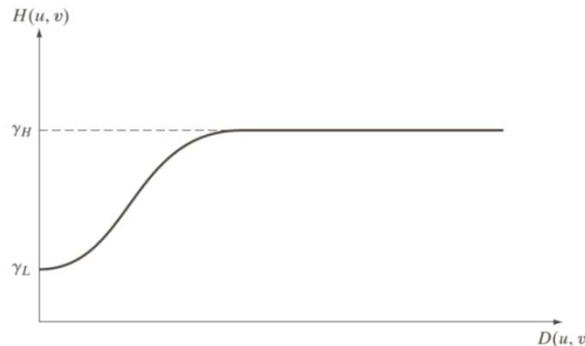
# Digital Image Processing, 3rd ed.

Gonzalez & Woods

[www.ImageProcessingPlace.com](http://www.ImageProcessingPlace.com)

## Chapter 4

### Filtering in the Frequency Domain



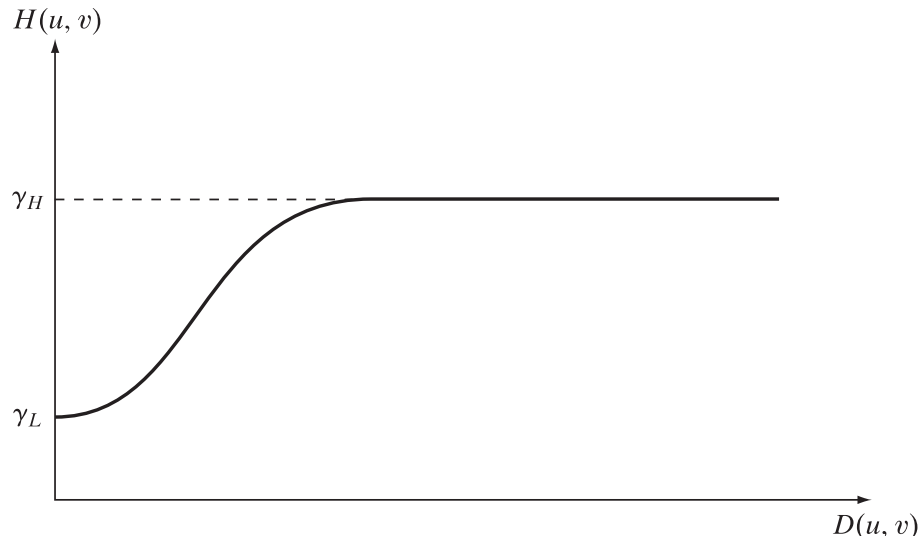
**FIGURE 4.61**  
Radial cross  
section of a  
circularly  
symmetric  
homomorphic  
filter function.  
The vertical axis is  
at the center of  
the frequency  
rectangle and  
 $D(u, v)$  is the  
distance from the  
center.

## فیلتر کردن هم ریخت

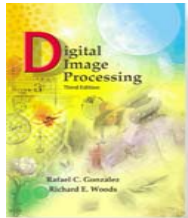
تابع فیلتر هم ریخت

HOMOMORPHIC FILTER FUNCTION

$$H(u, v) = (\gamma_H - \gamma_L) \left[ 1 - e^{-c[D^2(u, v)/D_0^2]} \right] + \gamma_L$$



سطح مقطع شعاعی یک تابع فیلتر هم ریخت متقارن دایره‌ای.  
محور عمودی، در مرکز مستطیل فرکانسی است.



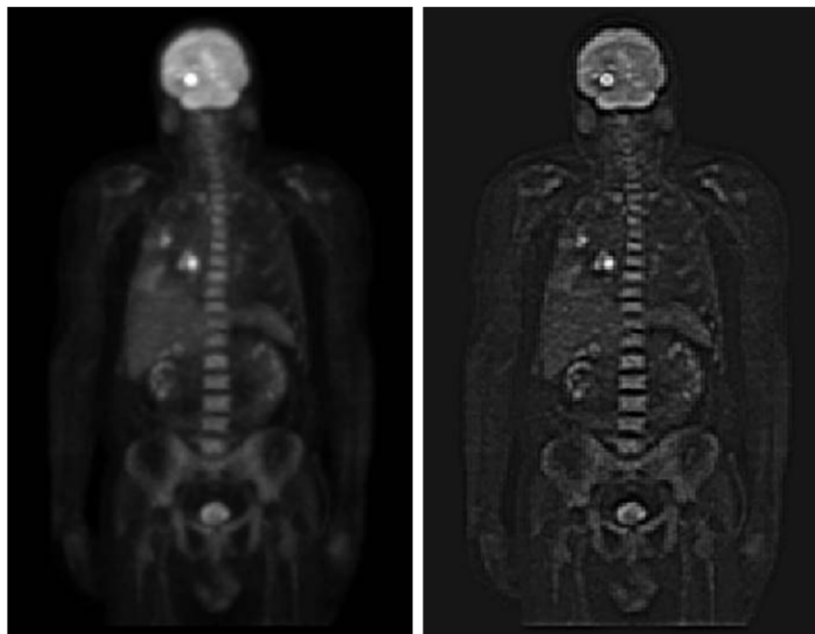
# Digital Image Processing, 3rd ed.

Gonzalez & Woods

[www.ImageProcessingPlace.com](http://www.ImageProcessingPlace.com)

## Chapter 4

### Filtering in the Frequency Domain



a b

**FIGURE 4.62**  
(a) Full body PET scan. (b) Image enhanced using homomorphic filtering. (Original image courtesy of Dr. Michael E. Casey, CTI PET Systems.)

## فیلتر کردن هم ریخت

مثال

HOMOMORPHIC FILTERING(۱)  
تصویر PET  
از کل بدن(۲)  
تصویر به سازی شده  
با استفاده از  
فیلتر کردن هم ریخت

فیلتر کردن در حوزه‌ی فرکانس

۱۰

# فیلترهای انتخاب‌گر (فرکانس‌گزین)

## فیلتر های انتخاب گر (فرکانس گزین)

### SELECTIVE FILTERING

#### فیلتر رد باند *Bandreject Filter*

یک باند مشخص از فرکانس ها را رد می کند.

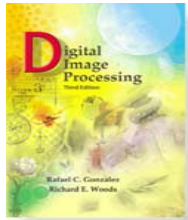
$$H_{BP}(u, v) = 1 - H_{BR}(u, v)$$

#### فیلتر گذر باند *Bandpass Filter*

یک باند مشخص از فرکانس ها را عبور می دهد.

#### فیلتر سوار خننده *Notch Filter*

فرکانس هایی را در یک همسایگی از پیش تعریف شده حول مرکز مستطیل فرکانسی رد می کند (یا عبور می دهد).



# Digital Image Processing, 3rd ed.

Gonzalez & Woods

[www.ImageProcessingPlace.com](http://www.ImageProcessingPlace.com)

## Chapter 4

### Filtering in the Frequency Domain

**TABLE 4.6**

Bandreject filters.  $W$  is the width of the band,  $D$  is the distance  $D(u, v)$  from the center of the filter,  $D_0$  is the cutoff frequency, and  $n$  is the order of the Butterworth filter. We show  $D$  instead of  $D(u, v)$  to simplify the notation in the table.

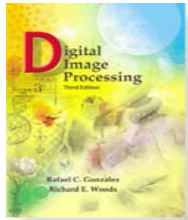
Ideal	Butterworth	Gaussian
$H(u, v) = \begin{cases} 0 & \text{if } D_0 - \frac{W}{2} \leq D \leq D_0 + \frac{W}{2} \\ 1 & \text{otherwise} \end{cases}$	$H(u, v) = \frac{1}{1 + \left[ \frac{DW}{D^2 - D_0^2} \right]^{2n}}$	$H(u, v) = 1 - e^{-\left[ \frac{D^2 - D_0^2}{DW} \right]^2}$

## فیلترهای رد باند

### BANDREJECT FILTERS

Bandreject filters.  $W$  is the width of the band,  $D$  is the distance  $D(u, v)$  from the center of the filter,  $D_0$  is the cutoff frequency, and  $n$  is the order of the Butterworth filter. We show  $D$  instead of  $D(u, v)$  to simplify the notation in the table.

<b>Ideal</b>	<b>Butterworth</b>	<b>Gaussian</b>
$H(u, v) = \begin{cases} 0 & \text{if } D_0 - \frac{W}{2} \leq D \leq D_0 + \frac{W}{2} \\ 1 & \text{otherwise} \end{cases}$	$H(u, v) = \frac{1}{1 + \left[ \frac{DW}{D^2 - D_0^2} \right]^{2n}}$	$H(u, v) = 1 - e^{-\left[ \frac{D^2 - D_0^2}{DW} \right]^2}$



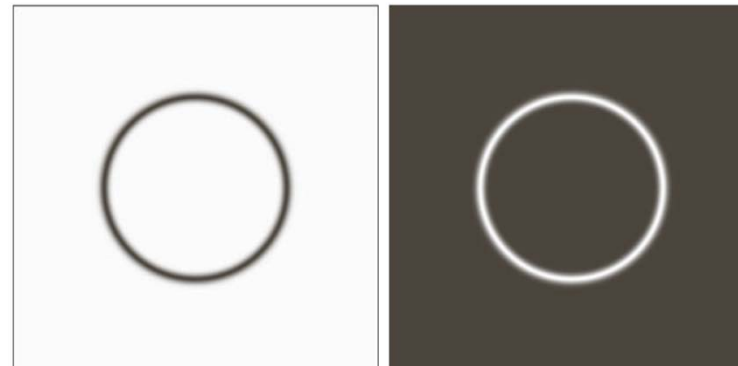
# Digital Image Processing, 3rd ed.

Gonzalez & Woods

[www.ImageProcessingPlace.com](http://www.ImageProcessingPlace.com)

## Chapter 4

### Filtering in the Frequency Domain



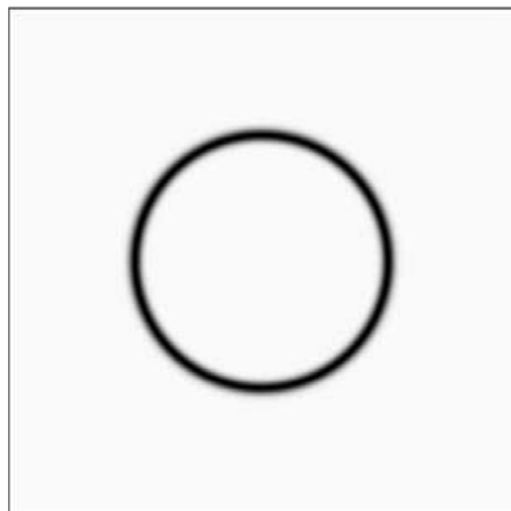
a b

**FIGURE 4.63**

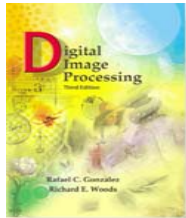
(a) Bandreject Gaussian filter.  
(b) Corresponding bandpass filter.  
The thin black border in (a) was added for clarity; it is not part of the data.

## فیلترهای فرکانس‌گزین

مثال

SELECTIVE FILTERS(۱)  
فیلتر گاوسی رد باند(۲)  
فیلتر گاوسی گذر باند

$$H_{\text{BP}}(u, v) = 1 - H_{\text{BR}}(u, v)$$



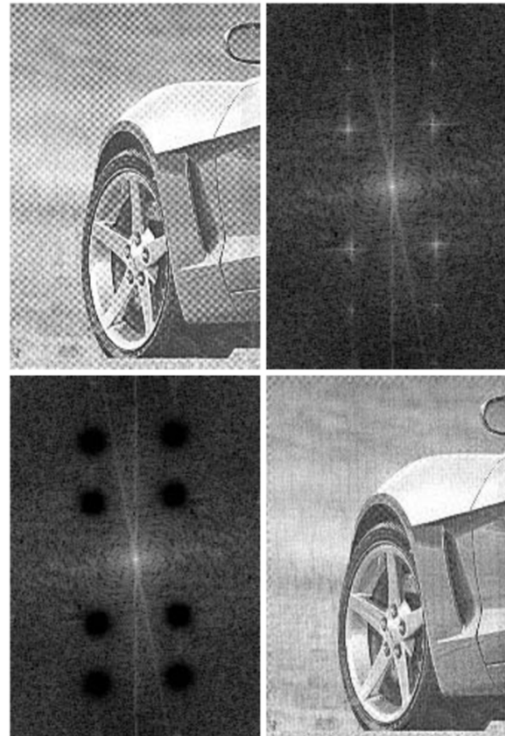
# Digital Image Processing, 3rd ed.

Gonzalez & Woods

[www.ImageProcessingPlace.com](http://www.ImageProcessingPlace.com)

## Chapter 4

### Filtering in the Frequency Domain



a b  
c d

**FIGURE 4.64**  
(a) Sampled newspaper image showing a moiré pattern.  
(b) Spectrum.  
(c) Butterworth notch reject filter multiplied by the Fourier transform.  
(d) Filtered image.

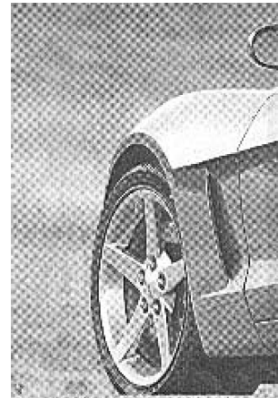
## فیلتر های فرکانس گزین

مثال: کاهش الگوهای مویره به کمک فیلتر ناج

### SELECTIVE FILTERS

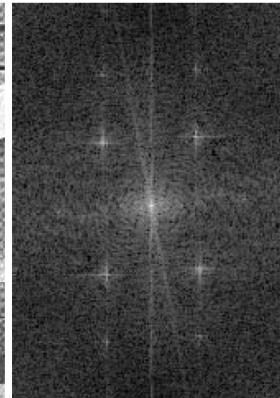
(۱)

تصویر روزنامه  
نمونه برداری شده  
حاوی الگوی مویره



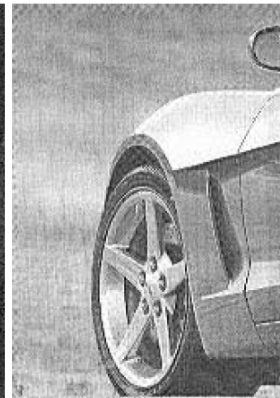
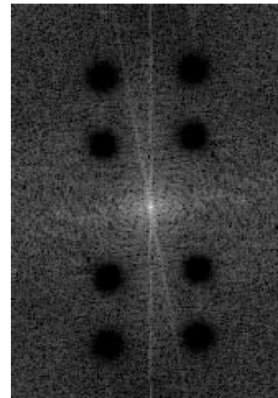
(۲)

طیف  
تبدیل فوریه  
(۱) تصویر (۱)



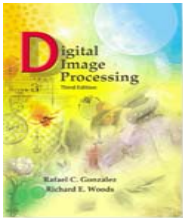
(۳)

فیلتر رد ناج با ترورث  
ضرب شده در تبدیل فوریه (۲)



(۴)

تصویر فیلتر شده  
که الگوهای مویره در آن  
کاهش یافته است.



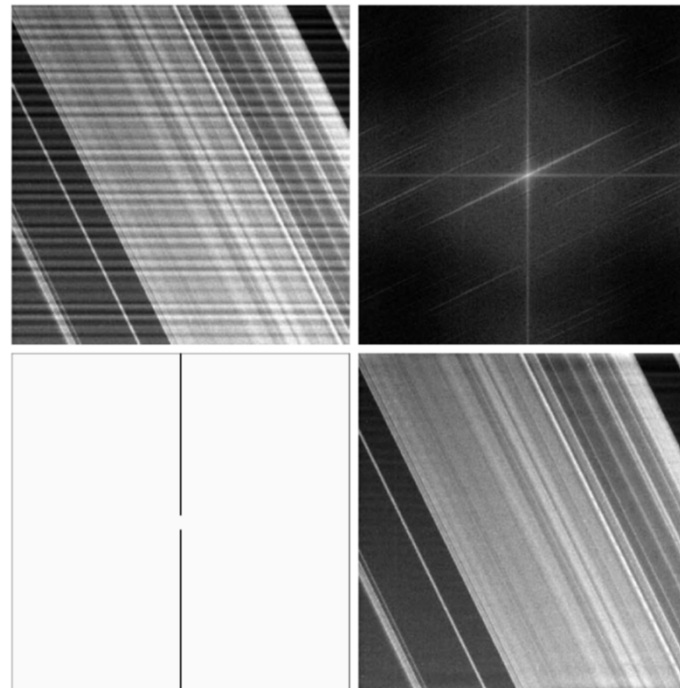
# Digital Image Processing, 3rd ed.

Gonzalez & Woods

[www.ImageProcessingPlace.com](http://www.ImageProcessingPlace.com)

## Chapter 4

### Filtering in the Frequency Domain



a  
b  
c  
d

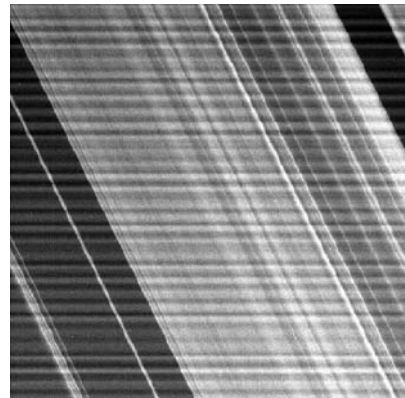
**FIGURE 4.65**  
(a)  $674 \times 674$  image of the Saturn rings showing nearly periodic interference.  
(b) Spectrum: The bursts of energy in the vertical axis near the origin correspond to the interference pattern.  
(c) A vertical notch reject filter.  
(d) Result of filtering. The thin black border in (c) was added for clarity; it is not part of the data.  
(Original image courtesy of Dr. Robert A. West, NASA/JPL.)

## فیلتر های فرکانس گزین

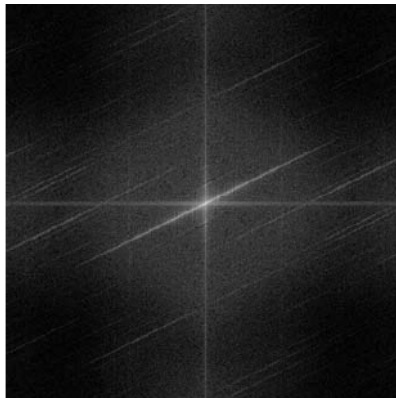
مثال: به سازی تصویر تخریب شده به کمک فیلتر ناج

### SELECTIVE FILTERS

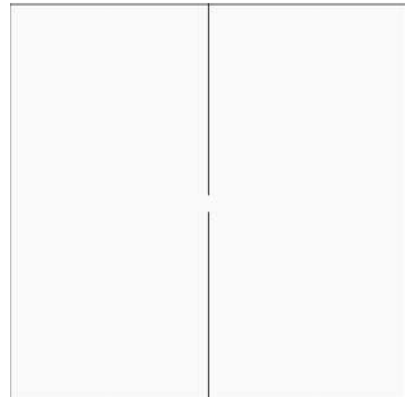
(۱)  
تصویر  $674 \times 674$   
از حلقهای زحل  
دارای تداخلهای  
تقریباً متناوب



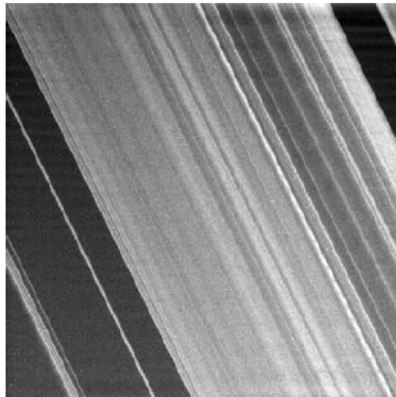
(۲)  
طیف فوریه:  
شلیکهای انرژی در  
محور عمودی نزدیک  
به مبدأ متناظر با  
الگوی تداخل هاست.

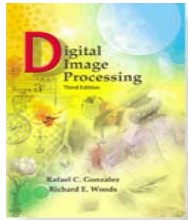


(۳)  
یک فیلتر  
رد ناج عمودی



(۴)  
حاصل فیلتر کردن





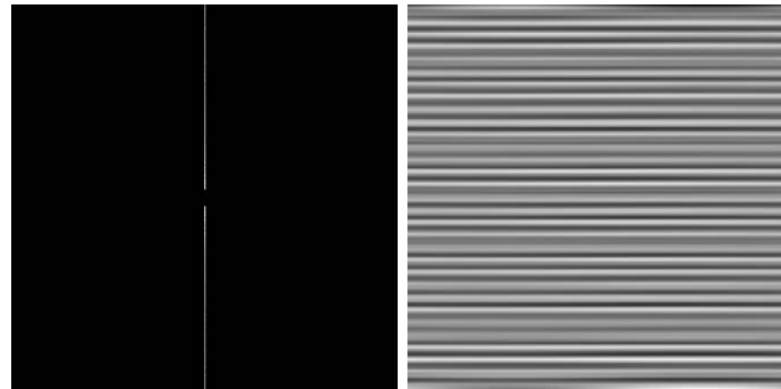
# Digital Image Processing, 3rd ed.

Gonzalez & Woods

[www.ImageProcessingPlace.com](http://www.ImageProcessingPlace.com)

## Chapter 4

### Filtering in the Frequency Domain



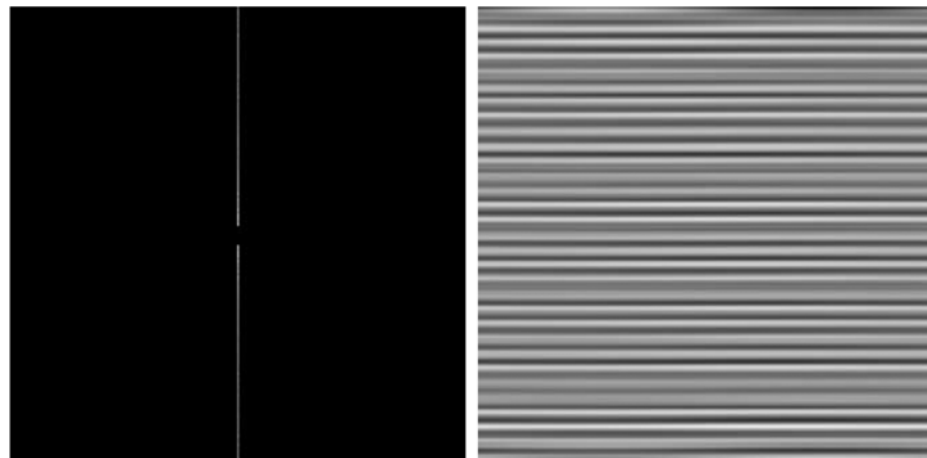
a b

**FIGURE 4.66**  
(a) Result  
(spectrum) of  
applying a notch  
pass filter to  
the DFT of  
Fig. 4.65(a).  
(b) Spatial  
pattern obtained  
by computing the  
IDFT of (a).

## فیلترهای فرکانس‌گزین

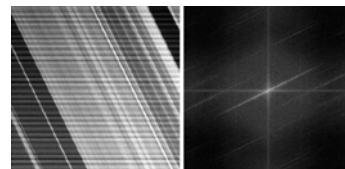
مثال: به‌سازی تصویر تخریب شده به کمک فیلتر ناج

### SELECTIVE FILTERS



(۱)

حاصل اعمال یک فیلتر گذر ناج به تبدیل فوریه‌ی گستته‌ی شکل زیر:



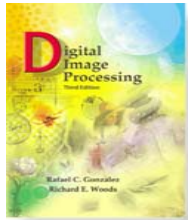
(۲)

الگوی مکانی حاصل از محاسبه‌ی تبدیل فوریه‌ی گستته‌ی معکوس (۱)

فیلتر کردن در حوزه‌ی فرکانس

۱۱

## پیاده‌سازی



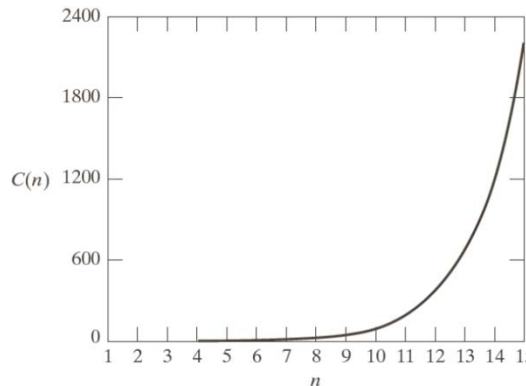
# Digital Image Processing, 3rd ed.

Gonzalez & Woods

[www.ImageProcessingPlace.com](http://www.ImageProcessingPlace.com)

## Chapter 4

### Filtering in the Frequency Domain



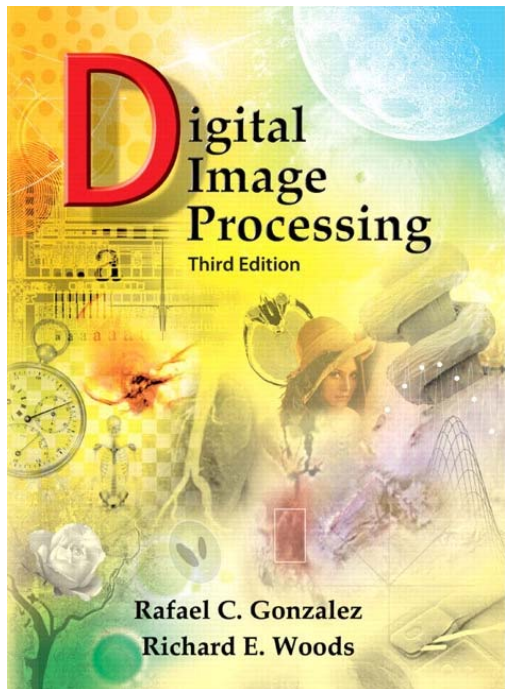
**FIGURE 4.67**  
Computational  
advantage of the  
FFT over a direct  
implementation  
of the 1-D DFT.  
Note that the  
advantage  
increases rapidly  
as a function of  $n$ .

فیلتر کردن در حوزه‌ی فرکانس

۱۲

## منابع

## منبع اصلی



Rafael C. Gonzalez, Richard E. Woods,  
**Digital Image Processing**,  
Third Edition, Pearson Prentice Hall, 2008.  
**Chapter 4**